

С НЕМЕЧАЛЬ СЕРИЕС

784-5  
1985

ISSN—0132- 5071

საქართველოს სსრ მეცნიერებათა აკადემიის მაცნე  
ИЗВЕСТИЯ АКАДЕМИИ НАУК ГРУЗИНСКОЙ ССР  
PROCEEDINGS OF THE ACADEMY OF SCIENCES  
OF THE GEORGIAN SSR

ЭПАПЛЬ  
СЕРИЯ  
ХИМИЧЕСКАЯ

1985 N4

თბილისი - Тбилиси - ТОМ  
TBILISI VOL.

11

Изв. АН ГССР, сер. химич., 1985, т. 11, № 4, 241—320

საქართველოს სსრ მეცნიერებათა აკადემიის გაცე  
ИЗВЕСТИЯ АКАДЕМИИ НАУК ГРУЗИНСКОЙ ССР



# გვ. 11 № 4 СЕРИЯ ХИМИЧЕСКАЯ

მომ. 11, № 4  
Том

ურნალი დაარსდა 1975 წელს  
Журнал основан в 1975 году

გამაცველობა „მეცნიერება“ თაბილისი  
ИЗДАТЕЛЬСТВО «МЕЦНИЕРЕБА» ТБИЛИСИ 1985



Известия АН ГССР  
© Серия химическая, 1985

## სარჩევაზოი პოლიგია

რ. აგლაძე, ა. ავალიანი, თ. ანდრონიკაშვილი (რედაქტორის მთაღებილი), ფ. ბროუჩეკი (სწავლული მდივანი), ფ. თავაძე, ლ. მელიქეაძე, ნ. ფირცხალავა, ე. ჭეშდრტელიძე, გ. ცოცოშვილი (რედაქტორი), ბ. ციცარიშვილი, ქ. ჯაფარიძე (რედაქტორის მთაღებილი)

პასუხისმგებელი მდივანი ვ. შუბლაძე

## РЕДАКЦИОННАЯ КОЛЛЕГИЯ

Р. И. Агладзе, А. Ш. Авалиани, Т. Г. Андronikashvili (зам. редактора),  
Ф. И. Броучек (ученый секретарь), К. Г. Джапаридзе (зам. редакто-  
ра), Э. П. Кемертелидзе, Л. Д. Меликадзе, Н. И. Пирцхалава, Ф. Н. Та-  
вадзе, Г. В. Цицишвили (редактор), П. Д. Цискаришвили.

Ответственный секретарь В. В. Шубладзе

## EDITORIAL BOARD

R. I. Agladze, A. Sh. Avaliani, T. G. Andronikashvili (Associate Editor),  
F. I. Brouchek (Scientific Secretary), K. G. Japaridze (Associate Editor),  
E. P. Kemertelidze, L. D. Melikadze, N. I. Pirtskhalava, F. N. Tavadze,  
G. V. Tsitsishvili (Editor), P. D. Tsiskarishvili.

Executive Secretary V. V. Shubladze.

ქურნალი გამოდის 3 თვეში ერთხელ  
Журнал выходит раз в 3 месяца

၂၀၁၁၁၆၆၀

პრაორგანული და ანალიზური შიმშა

ორგანიზაცია შიმდე

ଓଡ଼ିଆ କୋର୍ପ୍ସ ଅଧିକାରୀ

ପ୍ରାଚୀକରଣ କାର୍ଯ୍ୟ	ପ୍ରାଚୀକରଣ କାର୍ଯ୍ୟ	ପ୍ରାଚୀକରଣ କାର୍ଯ୍ୟ
ପ୍ରାଚୀକରଣ କାର୍ଯ୍ୟ	ପ୍ରାଚୀକରଣ କାର୍ଯ୍ୟ	ପ୍ରାଚୀକରଣ କାର୍ଯ୍ୟ
ପ୍ରାଚୀକରଣ କାର୍ଯ୍ୟ	ପ୍ରାଚୀକରଣ କାର୍ଯ୍ୟ	ପ୍ରାଚୀକରଣ କାର୍ଯ୍ୟ
ପ୍ରାଚୀକରଣ କାର୍ଯ୍ୟ	ପ୍ରାଚୀକରଣ କାର୍ଯ୍ୟ	ପ୍ରାଚୀକରଣ କାର୍ଯ୍ୟ
ପ୍ରାଚୀକରଣ କାର୍ଯ୍ୟ	ପ୍ରାଚୀକରଣ କାର୍ଯ୍ୟ	ପ୍ରାଚୀକରଣ କାର୍ଯ୍ୟ

ଶ୍ରୀମଦ୍ଭଗବତ

გვა ას ალია ლ., გვარე ელია ნ. ნახშირბაძის ოქსიდის (II) დაკანგვის პროცესის  
ოპტიმიზაცია დაცვილი ტიპის სპილენდ-ქრომ-მანგანუმიან კატალიზტორშე 292  
ბულგართვი ვ., გვე ლურაშვილი ა., ხანანიშვილი ლ. მეორეული პო-  
ლიეტოლენის გადამუშავება ქიმიური მოდიფიკაციის მეთოდით 297

ମୁଦ୍ରଣ କାରୋଲିନା

ପାତ୍ରାଦୟ ର., ଶ୍ରୀକନ୍ତପୁରି ର., ଗ୍ରେଟିଲିଂ ର., ସାଲିଙ୍ଗ ନିଃଶ୍ଵରି ର. ମ୍ହାର୍ବ- ଭ୍ରାତାଙ୍କ ଗ୍ରାମରେଣ୍ଟ ମନ୍ଦିରଙ୍କରେ ପାରନ୍ତେଳି	301
ନିଶ୍ଚାନ୍ଦ୍ର ର., ମନ୍ତର ହିଲ୍‌ଅର୍ଡ ର., ଡଲିଂଡ୍ର ର. C—13 ସ୍ଟ୍ରାବିଲ୍‌ରି ଇନ୍ଦ୍ରପିତ ନି- ଶ୍ଚାନ୍ଦ୍ର ରେ ମେତାଙ୍କିଳି ଶ୍ରୀଗୋପରାଠି ପାଲଙ୍ଗବ୍ରଦ୍ଵାରାମନ୍ଦିରରୁଲି ସିନ୍ଦ୍ରି ରେ ଏନ୍‌ଦିଲିଂ	305
ଶାନ୍ତିପ୍ରଭାଲୀ ମେତାଙ୍କିଳି ଶ୍ରୀଗୋପରାଠି ପାଲଙ୍ଗବ୍ରଦ୍ଵାରାମନ୍ଦିରରୁଲି ସିନ୍ଦ୍ରି ରେ ଏନ୍‌ଦିଲିଂ	305
ଦାକ୍ତିରାଦ୍ର ର., ଲାଟ୍‌ଫ୍ରାନ୍‌ଶ୍ଵରି ର., ଗାଲାମିଲି ଫୁଲସ୍ଫୁଲିଲି ଦାକ୍ତିରାଦ୍ର ରେ ଦେଖିଲି ମନ୍ଦିରରେ ଉଦ୍‌ଦେଶ୍ୟରେ ମେତାଙ୍କିଳି	307
ସାରକୁଣ୍ଡାଳି ଶ୍ଵରି ର., କର୍ଣ୍ଣାଶ୍ରୀ ର., କର୍ଣ୍ଣାଶ୍ରୀ ରାଜମନ୍ଦିର ର., କର୍ଣ୍ଣାଶ୍ରୀ ରାଜମନ୍ଦିର ରେ କର୍ଣ୍ଣାଶ୍ରୀ ରାଜମନ୍ଦିର ରେ ମନ୍ଦିରରେ ଦାକ୍ତିରାଦ୍ର ରେ ଏନ୍‌ଦିଲିଂ	311
ଶିର୍ଜିଯିନ୍‌ଟାର୍ମିନ୍	311
କାନ୍ଦାରୁ ରାଜନି ର., ସାକ୍ଷେଲାଶ୍ଵରି ର., ମେରାଦାଶ୍ଵରି ର. କୁଳଶ୍ଵରି ରେ କାନ୍ଦାରୁ ରାଜନି ରେ ମନ୍ଦିରରେ ଦାକ୍ତିରାଦ୍ର ରେ ଏନ୍‌ଦିଲିଂ	314

## СОДЕРЖАНИЕ

### НЕОРГАНИЧЕСКАЯ И АНАЛИТИЧЕСКАЯ ХИМИЯ

Гасвиани Н. А., Курладзе Ш. М., Супаташвили Д. Г., Харашвили Р. Л., Потенциометрическое изучение реакции образования ванадатов в хлоридных расплавах . . . . .	247
Модебадзе М. Е., Давиташвили Е. Г. О составе и термическом изучении совместно осажденных оксалатов европия и меди . . . . .	252
Аспанидзе Л. Г., Бородина Г. В., Джиджеишвили Ш. И., Морчиладзе З. Н., Цхварадзе А. А., Цквитая В. А. Изучение процесса термического разложения ацетата гадолиния . . . . .	257

### ОРГАНИЧЕСКАЯ ХИМИЯ

Чивадзе Г. О., Чхейдзе Л. З., Балахишвили Л. И., Хахнелидзе В. В., Наскидашвили Ц. И. Алкилирование анилина метиоловым спиртом в присутствии модифицированных алюмосиликатов . . . . .	262
--	-----

### ФИЗИЧЕСКАЯ ХИМИЯ

Цицишвили Г. В., Андроникашвили Т. Г., Гамисония М. К., Гочелашивили З. А., Русадзе А. В. Влияние цеолита на фиксационную способность атмосферного азота почвой . . . . .	267
Миндин В. Ю. Простой метод определения координат понвариантных и моновариантных точек при расчете химических равновесий в гетерогенных системах . . . . .	271
Гогишвили Н. Ш., Агладзе Р. И. Физико-химическое изучение осадков электролитической двуокиси марганца (ЭДМ) . . . . .	278
Мдивнишвили О. М., Махардзе Л. В., Хучуа Е. А. Рентгенографическое и физико-химическое исследование силикофосфатного адсорбента . . . . .	284

### ТЕХНОЛОГИЯ

Гвасалия Л. И., Джварелия Н. А. Оптимизация процесса окисления оксида (II) углерода на нанесенном медьхроммарганцевом катализаторе . . . . .	288
Булгаков В. Я., Гелуташвили А. А., Хананашвили Л. М. Переработка вторичного полиэтилена методом химической модификации . . . . .	294

### КРАТКИЕ СООБЩЕНИЯ

Агладзе Р. И., Шавошвили И. Г., Гвалия И. Г., Садунишвили О. С. Влияние щавелевой кислоты на процесс марганцевания . . . . .	299
Чхайдзе М. Б., Морчиладзе З. Н., Долидзе М. С. Синтез и анализ некоторых галоидопроизводных метана, меченные стабильным изотопом углерод-13 . . . . .	302
Бахтадзе М. В., Лаперашвили Т. А. Электрохимический метод создания диодов Шоттки на основе GaP . . . . .	306
Саруханишвили А. В., Квазерели-Копадзе И. А. Применение метода планирования эксперимента для синтеза эмали на основе отходов горнохимического производства . . . . .	309
Хачатурян К. К., Сабелашвили Ш. Д., Мерабишвили М. С. Исследование сорбционных свойств клиноптиловитов Чугуевского месторождения . . . . .	313
Хроника . . . . .	316
Авторский указатель . . . . .	318

## CONTENTS

### INORGANIC AND ANALYTICAL CHEMISTRY

Gasviani N. A., Kurdadze SH. M., Supatashvili D. G. Kharashvili R. L. Potentiometric studies of vandates formation in chloride melts	251
Modebadze M. E., Davitashvili E. G. On composition and thermal study of coprecipitated europium and copper oxalates . . . . .	256
Aspanidze L. G., Borodina G. V., Jijeishvili SH. I. Morchiladze Z. N. Tskhvavadze A. A., Tskvitaya V. A. Studies of thermal decomposition of gadolinium acetate . . . . .	261

### ORGANIC CHEMISTRY

Chivadze G. O., Chkheidze L. Z., Balakhishvili L. I., Khakhnelidze V. V., Naskidashvili Ts. I. Aniline alkylation by methyl alcohol on the modified aluminosilicate . . . . .	266
---	-----

### PHYSICAL CHEMISTRY

Tsitsishvili G. V., Andronikashvili T. G., Gamisoniya M. K., Gochelashvili Z. A., Rusadze A. V. Effect of zeolite on the soil ability of atmospheric nitrogen fixation . . . . .	269
Mindin V. Yu. A simple method of determination of nonvariant and monovariant points in calculations of chemical equilibria in heterogeneous systems	276
Gogishvili N. SH., Agladze R. I. Physico-chemical studies of precipitates of electrolytic manganese dioxide (EMD) . . . . .	283
Mdivnishvili O. M., Makharadze L. V., Khuchua E. A. Radiographic and physico-chemical studies of silicophosphate adsorbent . . . . .	287

### TECHNOLOGY

Gvasaliya L. I., Jvarelia N. A. Optimization of the process of carbon monoxide oxidation on the copper-chromium-manganese catalyst . . . . .	292
Bulgakov V. YA., Gelutashvili A. A., Khananashvili L. M. Reprocessing of secondary polyethylene by chemical modification method . . . . .	289

### SHORT COMMUNICATIONS

Agladze R. I., Shavoshvili I. G., Gvalia I. G., Sadunishvili O. S. The influence of oxalic acid on the process of manganisation . . . . .	301
Chkhaidze M. B., Morchiladze Z. N., Dolidze M. S. Synthesis and analysis of some halogen derivative of methane, labelled with stable isotope carbon-13 . . . . .	305
Bakhtadze M. V., Laperašvili T. A. The electrochemical method of Schottky diod creation on the base of GaP . . . . .	307
Sarukhanishvili A. V., Kvezereli-Kopadze I. A. The use of experiment planning method for the synthesis of enamel on the base of mine production waste . . . . .	312
Khachaturyan K. K., Sabelashvili Sh. D., Merabishvili M. S., Investigation of sorbing properties of clinoptilolites from Chuguevo deposit	315

## НЕОРГАНИЧЕСКАЯ И АНАЛИТИЧЕСКАЯ ХИМИЯ

УДК 541.135.3

Н. А. ГАСВИАНИ, Ш. М. КУРДАДЗЕ, Д. Г. СУПАТАШВИЛИ, Р. Л. ХАРАШВИЛИ

### ПОТЕНЦИОМЕТРИЧЕСКОЕ ИЗУЧЕНИЕ РЕАКЦИИ ОБРАЗОВАНИЯ ВАНАДАТОВ В ХЛОРИДНЫХ РАСПЛАВАХ

Целью исследования являлось изучение кислотных свойств  $V_2O_5$  по отношению к иону кислорода в расплаве  $KCl-NaCl-BaCl_2$ .

Возможность потенциометрического изучения кислотно-основных (к. о.) взаимодействий подобного рода в расплаве  $KCl-NaCl$  с помощью платиново-кислородного электрода  $(Pt)O_2$  показана в работах [1—3]. Из этих работ явствует, что изучение к. о. взаимодействий в расплавах имеет важное практическое значение, открывая новые возможности в управлении химическими и электрохимическими процессами с участием иона кислорода.

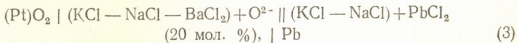
Для осуществления потенциометрического изучения донорно-акцепторного перехода иона кислорода предварительно была исследована электрохимическая природа электрода  $(Pt)O_2$  в расплаве  $KCl-NaCl-BaCl_2$ ; донорами кислородных ионов служили  $KOH$  и  $K_2CO_3$ .

При построении калибровочных кривых  $\varphi, Ig[O^{2-}]$  допускалось, что концентрация  $O^{2-}$  в расплаве эквивалентна количеству введенной щелочи или карбоната, т. е принималось, что равновесия



полностью смещены вправо.

Опыты проводились при температуре  $973 \pm 5$  К в корундовой ячейке. Реактивы квалификации «ос. ч.» тщательно высушивались. В качестве индикаторного электрода применяли платиновую проволоку, омываемую осущенным кислородом, а электродом сравнения служил свинцовый электрод. В целом ячейку схематически можно изобразить так:



Особенностью данного исследования является то, что потенциал электрода после внесения очередной добавки устанавливался очень медленно — в течение 10—12 часов (рис. 1). Потенциал считался установленным, если его значение за час изменялось не более, чем  $\pm 5$  мВ.

Наклон экспериментально полученной зависимости  $\varphi, Ig[O^{2-}]$  для случая, когда донорами  $O^{2-}$  служили  $KOH$  и  $K_2CO_3$ , соответственно составил 0,190 и 0,185 (рис. 2, а, б), что в два раза превышает теоретическое значение по Нернсту. Это можно объяснить тем, что экспериментальный предлогарифмический фактор в уравнении Нернста соответствует двухэлектронному переходу, который определяется равновесием между адсорбированными на поверхности платины перекисными частицами и ионами кислорода, находящимися в расплаве [3]. В этом случае

$$\varphi = \varphi_0 + 0,190 \lg \frac{[O_2^{\cdot-}]}{[O^{2-}]} = \varphi' + 0,190 \lg [O^{2-}] \quad (4)$$

При добавлении  $V_2O_5$  в расплав, содержащий определенные концентрации ионов кислорода, получаются нейтрализационные зависимости, представленные на рис. 3 (2, 3). Судя по максимальному гра-

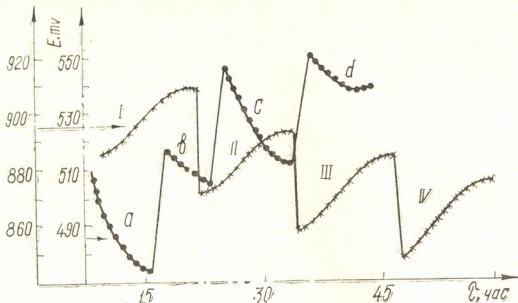


Рис. 1. Установление потенциала электрода  $(Pt)O_2$  во времени при титровании:  $x - V_2O_5$  (0, 257 моль %) с KOH (концентрация  $O^{2-}$ : I—0,345; II—0,435; III—0,480; IV—0,530 моль %); . — KOH ( $[O^{2-}] = 0,130$  моль %) с  $V_2O_5$  (а—0,100; в—0,146; с—0,198; д—0,257 моль %). Фон — KCl—NaCl—BaCl<sub>2</sub>, T=973 K.

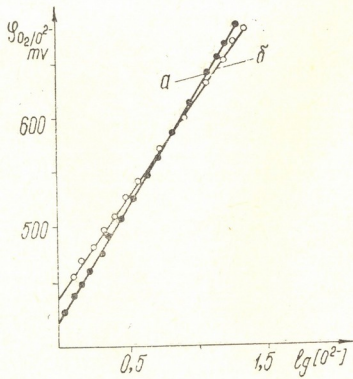
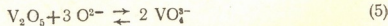


Рис. 2. Полулогарифмическая зависимость потенциала электрода  $(Pt)O_2$  от концентрации кислородных ионов в расплаве KCl—NaCl—BaCl<sub>2</sub>, T=975K, а — KOH, б —  $K_2CO_3$ .

диенту потенциала,  $V_2O_5$ , очевидно, реагирует с ионом кислорода в соотношении 1 : 3 по следующей схеме:



При титровании карбонат-иона (который представляет собой потенциальное основание) с  $V_2O_5$  была получена титровальная зависимость, представленная на рис. 3(4). В данном случае скачок потенциала наблюдается также при соотношении концентраций исходных веществ 1:3, которое указывает на донорно-акцепторное взаимодействие

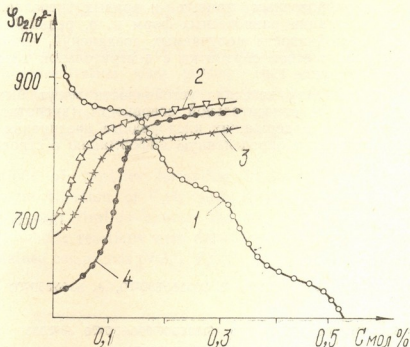
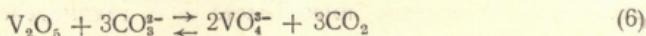


Рис. 3. Кривые титрования пятиокиси ванадия: 1 —  $C^{\circ}V_2O_5 = 0,260$  моль % со щелочью; 2 —  $C^{\circ}O_2-(KOH) = 0,130$  моль %; 3 —  $C^{\circ}O_2-(KOH) = 0,225$  моль %; 4 —  $C^{\circ}O_2-(K_2CO_3) = 0,225$  моль %.  
Фон —  $KCl-NaCl-BaCl_2$ ,  $T = 973$  К.

Таблица 1

Константы устойчивости продуктов реакции нейтрализации  $V_2O_5$  с  $O^{2-}$  на фоне расплава  $KCl - NaCl_2 - BaCl_2$ ,  $T = 973$  К.

Кислотно-основная реакция	Константа устой- чивости $K \pm \Delta K$	Размерность
$V_2O_5 + O^{2-} \rightleftharpoons 2 VO_3^-$	$(1,08 \pm 0,34) \cdot 10^2$	б/п
$2V_2O_5 + 3O^{2-} \rightleftharpoons V_4O_{13}^{6-}$	$(1,912 \pm 1,59) \cdot 10^5$	$1/(моль \%)^4$
$V_4O_{13}^{6-} + O^{2-} \rightleftharpoons 2V_2O_7^{4-}$	$(0,179 \pm 0,02) \cdot 10^2$	$1/(моль \%)^2$
$(V_2O_5 + 2O^{2-} \rightleftharpoons V_2O_7^{4-})$		
$V_2O_5 + 3O^{2-} \rightleftharpoons 2VO_4^{3-}$	$(8,2 \pm 3,3) \cdot 10^4$	$1/(моль \%)^2$

При обратном титровании от  $V_2O_5$  к щелочи (рис. 3.1) наблюдаются три перегиба. Судя по первому, максимальный градиент потенциала указывает на к. о. равновесие



Второй перегиб наблюдается при соотношении концентраций  $V_2O_5 : O^{2-} = 1 : 1.5$ . Максимальный градиент потенциала в этом случае указывает на к. о. равновесие



Третий перегиб соответствует отношению  $V_2O_5 : O^{2-} = 1 : 2$ . В этом случае, вероятно, имеет место к. о. взаимодействие



Исходя из калибровочных кривых и кривых титрования, были определены концентрации равновесных форм к. о. реакций и рассчитаны константы устойчивости получаемых соединений, значения которых, после статистической обработки с доверительной вероятностью 0,95, приведены в таблице I.

Полученные значения констант устойчивости могут быть весьма полезными при оценке относительной основности (кислотности) расплавленных хлоридов, содержащих кислородные соединения ванадия, наряду с этим, они несут определенную информацию о строении указанных систем.

## Институт неорганической химии и электрохимии АН ГССР

Поступило 15.11.1983

၆. ဘုဒ္ဓဝါရီ၊ ၇. ပြေလဇန်၊ ၈. ဖြေအောင်၊ ၉. နေဂျာအောင်

**କୁଣ୍ଡଳାରୀଙ୍କ ପାଦମାଲାରେ ଅନ୍ତର୍ମିଳିତ ପାଦମାଲାରେ ଆଶୀର୍ବାଦ ଦିଲ୍ଲିରେ**

၁၇၈၀၂၃

აეგებულია საკალიბრო მრუდები, სადაც მოცემულია პლატინა-უანგბადის ელექტროდის პოტენციალის დამოკიდებულება ლლობილში არსებული უანგბად-იონთა კონცენტრაციისაგან. ცდების შედეგად მიღებული დამოკიდებულების ფ,  $Ig[O^{2-}]$  დახრა ორჯერ აღემატება ნერნსტის განტოლებიდან გამომდინარე თეორიულ დახრას, რაც აისახება პლატინა-უანგბადის ჟედაპირზე აღსორბირებულ პეროქსიდ-ნაწილაკებსა და ლლობილში არსებული ჟანგბად-იონებს შორის დამყარებული წონასწორობით.

ამავე ლობილში ჩატარებულია  $V_2O_5$ -ის პირენციომეტრიული ტიტრაცია  $KOH$  და  $K_2CO_3$ -ით, რის შედეგად შესწავლილია ვანალატების წარმოქმნის რეაქციათა მექანიზმი.

მიღებული საკალიბრო და ტიტრივის მრავდების შეხედვით განსაზღვრულია ფუძე-მეავური რეაქციების შესაბამისი წონასწორული კონკრეტრაციები, რომელთა საფუძველზე გათვლილია წარმოქმნილი ვანალატების  $\text{VO}_5^-$ ,  $\text{V}_4\text{O}_{18}^+$ ,  $\text{V}_2\text{O}_7^{4-}$ ,  $\text{VO}_4^{3-}$  ელემენტების კონსტანტები.

## POTENTIOMETRIC STUDIES OF VANDATES FORMATION IN CHLORIDE MELTS

### Summary

For potentiometric studies of donor-acceptor transition of an oxygen ion, previously the electrochemical nature of platinum-oxygen electrode in  $KCl-NaCl-BaCl_2$  melt had been studied at 973K;  $KOH$  and  $K_2CO_3$  were donors of oxygen ions.

The calibration dependences of the platinum-oxygen electrode potential on oxygen ion concentration were plotted. The slope of experimentally obtained dependence in the  $\varphi, \log [O^{2-}]$  coordinates is twice as high as the Nernst theoretical value. This is probably explained by the equilibrium between peroxide particles adsorbed on the platinum surface and oxygen ions in the melt.

The reactions of vandates formation in the same melt were studied by potentiometric titration of  $V_2O_5$  with  $KOH$  and  $K_2CO_3$ . Proceeding from calibration and titration curves, the concentrations of equilibrium forms of acidic—basic reactions were determined and the constants of stability of the obtained compounds ( $VO_3^-$ ,  $V_4O_{13}^{5-}$ ,  $V_2O_7^{4-}$ ,  $VO_4^{3-}$ ) were calculated.

### ლიტერატურა — REFERENCES

1. Laitinen H. A., Bhatia B. B., J. Electrochem. Soc., 1960, 107, 105.
2. Шаповал В. И., Авалиани А. Ш., Гасвиани Н. А., Сообщения АН ГССР, 1973, 72, № 1, 105.
3. Делимарский Ю. К., Шаповал В. И., Циклаури О. Г., Василенко В. А., 1974, Укр. хим. б., 40, 8.

УДК 546.661.56:547.461.2

М. Е. МОДЕБАДЗЕ, Е. Г. ДАВИТАШВИЛИ

## О СОСТАВЕ И ТЕРМИЧЕСКОМ ИЗУЧЕНИИ СОВМЕСТНО ОСАЖДЕННЫХ ОКСАЛАТОВ ЕВРОПИЯ И МЕДИ

С целью установления возможности разделения европия и меди, а также выявления природы образующихся твердых фаз изучено взаимодействие между компонентами в системах  $[Eu(NO_3)_3 + Cu(NO_3)_2] - M_2C_2O_4 - H_2O$  ( $M = H^+, K^+, NH_4^+$ ) при  $25^\circ$  в водных растворах.

Необходимые исходные вещества  $Eu(NO_3)_3$ ,  $Cu(NO_3)_2$ ,  $K_2C_2O_4$ ,  $H_2C_2O_4$  и  $(NH_4)_2C_2O_4$  использовались в виде растворов с точно установленным титром.

При всех опытах в колбы емкостью 150 мл вводилось постоянное количество (по 0,01 моль/л)  $Eu(NO_3)_3$  и  $Cu(NO_3)_2$  и переменное количество  $M_2C_2O_4$ . Молекулярное отношение оксалата к сумме нитратов европия и меди в исходных смесях (п) изменялось от 0,5 до 10. Общий объем смесей доводили водой до 100 мл.

Опыты проводили по известной методике, подробно описанной в работе [1].

Таблица 1

Результаты определения остаточных концентраций в системе

$Eu(NO_3)_3 - Cu(NO_3)_2 - H_2C_2O_4 - H_2O$  при  $25^\circ$

(постоянное содержание  $Eu^{3+} = Cu^{2+} = 0,01$  моль/л)

В исходной смеси	$H_2C_2O_4$ $Eu(NO_3)_3 + Cu(NO_3)_2$ (п)	$C_2O_4^{2-}$ моль/л $\times 100$	В растворе над осадком, моль/л $\times 100$			Выпало в осадок, моль/л $\times 100$			Состав твердой фазы
			$Eu^{3+}$	$Cu^{2+}$	$C_2O_4^{2-}$	$Eu^{3+}$	$Cu^{2+}$	$C_2O_4^{2-}$	
0,25		0,50	0,70	1,00	0,04	0,30	нет	0,46	$Eu_2(C_2O_4)_3$
0,50		1,00	0,38	1,00	0,06	0,62	"	0,94	" "
0,75		1,50	0,07	1,00	0,10	0,93	"	1,40	
1,00		2,00	0,02	0,80	0,30	0,98	0,20	1,70	$Eu_2(C_2O_4)_3 + mCuC_2O_4$ $m < 1$
1,25		2,50	не обн.	0,16	0,16	1,00	0,84	2,34	" "
1,50		3,00	"	0,15	0,61	1,00	0,85	2,39	" "
1,75		3,50	"	0,13	1,10	1,00	0,87	2,40	" "
2,00		4,00	"	0,12	1,59	1,00	0,88	2,41	" "
2,50		5,00	"	0,11	2,60	1,00	0,89	2,40	" "
4,00		8,00	"	0,02	5,50	1,00	0,98	2,50	" "
10,00		20,00	"	не обн.	17,50	1,00	1,00	2,50	$Eu_2(C_2O_4)_3 + CuC_2O_4$

Выделенные из систем твердые фазы подвергались химическому, термографическому и термогравиметрическому анализам.

Термограммы и термогравиограммы записывались на дериватографе системы Ф. Паулик, И. Паулик, Л. Эрдей на воздухе со скоростью нагрева 10 град/мин.

Для определения европия и меди при их совместном присутствии была отработана следующая методика: аликовотную часть равновесного раствора выпаривали досуха с серной кислотой. Сухой остаток растворяли в воде, подогревали, добавляли избыток аммиака и фильтровали. На фильтре остается европий в виде гидроокиси (с незначительной примесью меди), а основное количество меди проходит в раствор в виде комплексного аммиаката. Для отделения примеси меди осадок гидроокиси европия переосаждали аммиаком и определение европия заканчивали оксалатным методом. Фильтраты соединяли, выпаривали до объема 50—75 мл и использовали для определения меди иодометрическим методом [2].

Результаты, полученные при исследовании систем методом остаточных концентраций, представлены в табл. 1—3.

Как показывают экспериментальные данные, при действии окса-

Таблица 2

Результаты определения остаточных концентраций в системе

$\text{Eu}(\text{NO}_3)_3 - \text{Cu}(\text{NO}_3)_2 - \text{K}_2\text{C}_2\text{O}_4 - \text{H}_2\text{O}$  при 25°

(постоянное содержание  $\text{Eu}^{3+} = \text{Cu}^{2+} = 0,01$  моль/л)

В исходной смеси		В растворе над осадком, моль/л $\times 100$			Выпало осадок, моль/л $\times 100$			Состав твердой фазы
$\text{K}_2\text{C}_2\text{O}_4$	$\text{C}_2\text{O}_4^{2-}$ , моль/л $\times 100$	$\text{Eu}^{3+}$	$\text{Cu}^{2+}$	$\text{C}_2\text{O}_4^{2-}$	$\text{Eu}^{3+}$	$\text{Cu}^{2+}$	$\text{C}_2\text{O}_4^{2-}$	
$\text{Eu}(\text{NO}_3)_3$								
$\text{Cu}(\text{NO}_3)_2$								
(n)								
0,50	1,00	0,36	1,00	0,06	0,64	нет	0,94	$\text{Eu}_2(\text{C}_2\text{O}_4)_3$
0,75	1,50	0,07	1,00	0,08	0,93	"	1,42	$\text{Eu}_2(\text{C}_2\text{O}_4)_3 + m \text{ CuC}_2\text{O}_4$
1,00	2,00	0,02	0,50	0,08	0,98	5,50	1,92	$m < 1$
1,25	2,50	не обн.	не обн.	не обн.	1,00	1,00	2,50	$\text{Eu}_2(\text{C}_2\text{O}_4)_3 + \text{CuC}_2\text{O}_4$
1,50	3,00	"	"	0,10	1,00	1,00	2,90	$\text{K}[\text{Eu}(\text{C}_2\text{O}_4)_2] + \text{CuC}_2\text{O}_4$
1,75	3,50	"	0,45	1,00	1,00	0,55	2,50	$\text{K}[\text{Eu}(\text{C}_2\text{O}_4)_2] + m \text{ CuC}_2\text{O}_4$
2,50	5,00	"	1,00	3,00	1,00	нет	2,00	$m < 1$
4,00	8,00	"	1,00	6,00	1,00	"	2,00	$\text{K}[\text{Eu}(\text{C}_2\text{O}_4)_2]$
10,00	20,00	"	1,00	18,00	1,00	"	2,00	"

лата-осадителя на смесь нитратов европия и меди при малых значениях  $n \leq 0,75$  осаждается преимущественно европий в виде среднего оксалата —  $\text{Eu}_2(\text{C}_2\text{O}_4)_3 \cdot x\text{H}_2\text{O}$ , в то время, как медь количественно остается в растворе.

В дальнейшем, по мере увеличения  $n > 0,75$  наряду с европием начинает осаждаться и медь, вследствие чего количество осадка увеличивается, и отношение  $\text{Eu} : \text{Cu}$  в твердой фазе в системах с  $\text{K}_2\text{C}_2\text{O}_4$  и  $(\text{NH}_4)_2\text{C}_2\text{O}_4$  при  $n = 1,5$ , а в системе с  $\text{H}_2\text{C}_2\text{O}_4$  при  $n > 4,0$  равняется 1.

Таблица 3  
ЗАМЕРЫ  
ЗАВИСИМОСТИ

Результаты определения остаточных концентраций в системе

$\text{Eu}(\text{NO}_3)_3 - \text{Cu}(\text{NO}_3)_2 - (\text{NH}_4)_2\text{C}_2\text{O}_4 - \text{H}_2\text{O}$ , при  $25^\circ$

(постоянное содержание  $\text{Eu}^{3+} = \text{Cu}^{2+} = 0,01$  моль/л)

В исходной смеси		В растворе над осадком, моль/л $\times 100$			Выпало в осадок, моль/л $\times 100$			Состав твердой фазы
$(\text{NH}_4)_2\text{C}_2\text{O}_4$	$\text{C}_2\text{O}_4^{2-}$	$\text{Eu}^{3+}$	$\text{Cu}^{2+}$	$\text{C}_2\text{O}_4^{2-}$	$\text{Eu}^{3+}$	$\text{Cu}^{2+}$	$\text{C}_2\text{O}_4^{2-}$	
$\text{Eu}(\text{NO}_3)_3$	$\text{C}_2\text{O}_4^{2-}$	$\text{Eu}^{3+}$	$\text{Cu}^{2+}$	$\text{C}_2\text{O}_4^{2-}$	$\text{Eu}^{3+}$	$\text{Cu}^{2+}$	$\text{C}_2\text{O}_4^{2-}$	
$\text{Cu}(\text{NO}_3)_2$ (n)	моль/л $\times 100$							
0,50	1,00	0,35	1,00	0,06	0,65	нет	0,94	$\text{Eu}_2(\text{C}_2\text{O}_4)_3$
0,75	1,50	0,07	1,00	0,10	0,93	"	1,40	$\text{Eu}_2(\text{C}_2\text{O}_4)_3 + m\text{CuC}_2\text{O}_4$
1,00	2,00	не обн.	0,64	0,10	1,00	0,36	1,90	$m < 1$
1,25	2,50	"	не обн.	0,03	1,00	1,00	2,47	$\text{Eu}_2(\text{C}_2\text{O}_4)_3 + \text{CuC}_2\text{O}_4$
1,50	3,00	"	0,24	0,26	1,00	0,76	2,74	$\text{NH}_4[\text{Eu}(\text{C}_2\text{O}_4)_2] + m\text{CuC}_2\text{O}_4 m < 1$
1,75	3,50	"	0,56	1,18	1,00	0,44	2,42	$\text{NH}_4[\text{Eu}(\text{C}_2\text{O}_4)_2]$
2,50	5,00	"	1,00	2,96	1,00	нет	2,04	"
4,00	8,00	"	1,00	5,92	1,00	"	2,08	"
10,00	20,00	"	1,00	18,00	1,00	"	2,00	"

Анализ воздушносухих осадков, выделенных из систем с  $\text{K}_2\text{C}_2\text{O}_4$ ,  $(\text{NH}_4)_2\text{C}_2\text{O}_4$  (при  $n = 1,5$ ) и  $\text{H}_2\text{C}_2\text{O}_4$  ( $n = 4$ ), показал следующий состав. Найдено, %:  $\text{Eu}^{3+} = 18,13$ ;  $\text{Cu}^{2+} = 11,71$ ;  $\text{C}_2\text{O}_4^{2-} = 40,69$ ;  $\text{H}_2\text{O} = 19,29$ . По данным химического анализа, изученное соединение отвечает бруттоформуле  $\text{EuCu}(\text{C}_2\text{O}_4)_{2,5} \cdot 6\text{H}_2\text{O}$ , для которого

вычислено, %:  $\text{Eu}^{3+} = 27,96$ ;  $\text{Cu}^{2+} = 11,69$ ;  $\text{C}_2\text{O}_4^{2-} = 40,48$ ;  $\text{H}_2\text{O} = 18,87$ .

Найдено, %:  $\text{Eu}^{3+} = 25,15$ ;  $\text{Cu}^{2+} = 10,48$ ;  $\text{K}^+ = 6,31$ ;  $\text{C}_2\text{O}_4^{2-} = 43,26$ ;  $\text{H}_2\text{O} = 14,60$ . Для  $\text{KCuEu}(\text{C}_2\text{O}_4)_3 \cdot 5\text{H}_2\text{O}$

вычислено, %:  $\text{Eu}^{3+} = 24,98$ ;  $\text{Cu}^{2+} = 10,43$ ;  $\text{K}^+ = 6,42$ ;  $\text{C}_2\text{O}_4^{2-} = 43,38$ ;  $\text{H}_2\text{O} = 14,79$ .

Найдено, %:  $\text{Eu}^{3+} = 25,69$ ;  $\text{Cu}^{2+} = 10,73$ ;  $\text{NH}_4^+ = 3,27$ ;  $\text{C}_2\text{O}_4^{2-} = 45,05$ ;  $\text{H}_2\text{O} = 15,12$ .

Для  $\text{NH}_4\text{CuE}_4(\text{C}_2\text{O}_4)_3 \cdot 5\text{H}_2\text{O}$

вычислено, %:  $\text{Eu}^{3+} = 25,88$ ;  $\text{Cu}^{2+} = 10,81$ ;  $\text{NH}_4^+ = 3,06$ ;  $\text{C}_2\text{O}_4^{2-} = 44,93$ ;  $\text{H}_2\text{O} = 15,32$ .

При дальнейшем увеличении концентрации  $\text{K}_2\text{C}_2\text{O}_4$  и  $(\text{NH}_4)_2\text{C}_2\text{O}_4$  в исходном растворе ( $n = 2,5 - 10$ ), в твердой фазе наблюдается еще одно превращение, в результате которого происходит полное растворение оксалата меди в виде  $\text{M}_2[\text{Cu}(\text{C}_2\text{O}_4)_2]$  и оставшаяся твердая фаза представляет собой  $\text{K}(\text{NH}_4)[\text{Eu}(\text{C}_2\text{O}_4)_2]$ . В системе с  $\text{H}_2\text{C}_2\text{O}_4$  осаждение меди заканчивается при  $n = 10$ , после чего продуктом реакции является  $\text{CuEu}(\text{C}_2\text{O}_4)_{2,5}$ .

Термографические исследования  $\text{CuEu}(\text{C}_2\text{O}_4)_{2,5} \cdot 6\text{H}_2\text{O}$  (рис. 1 а) показали, что при нагревании образца в интервале температур  $50 - 240^\circ$  наблюдается отщепление шести молекул воды. На кривой ТГ этому процессу отвечает потеря 19% массы, а на кривой ДТА — эндотермический эффект с максимумом при  $140^\circ$ . Резкое падение кривой ТГ (потеря 21% массы) в интервале температур  $240 - 290^\circ$  вызвано

Конечным продуктом разложения является CuEuO<sub>2,5</sub>. По ТГ остаток составляет 46,47%, а теоретически для CuEuO<sub>2,5</sub> рассчитано 47,01%.

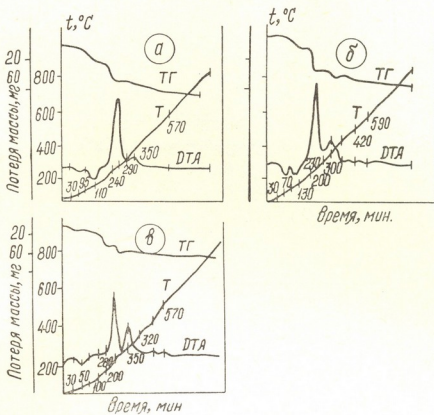


Рис. 1. Дериватограммы CuEu(C<sub>2</sub>O<sub>4</sub>)<sub>2,5</sub>·6 H<sub>2</sub>O (а), KCuEu(C<sub>2</sub>O<sub>4</sub>)<sub>3</sub>·5H<sub>2</sub>O (б), NH<sub>4</sub>CuEu(C<sub>2</sub>O<sub>4</sub>)<sub>3</sub>·5H<sub>2</sub>O (в)

Характер термического поведения смешанного оксалата европия и меди KCuEu(C<sub>2</sub>O<sub>4</sub>)<sub>3</sub>·5H<sub>2</sub>O иллюстрируется дериватограммой, приведенной на рис. 1б.

На кривой ДТА имеются два эндотермических и два экзотермических эффекта с экстремальными значениями температур 70, 130, 280 и 360°. Эндоэффекты при 70 и 130° отражают процесс обезвоживания соединения, который полностью заканчивается около 230°. По ТГ первому и второму эндоэффектам соответствуют потери по 2,5 H<sub>2</sub>O. Экзоэффекты с максимумами при 280 и 360°, сопровождающиеся резким изменением массы образца на кривой ТГ, связаны с разложением оксалата и образованием смешанного окисла — KCuEuO<sub>3</sub>. При 340° остаток составляет 50%, а теоретически для KCuEuO<sub>3</sub> рассчитано 50,52%.

Термолиз NH<sub>4</sub>CuEu(C<sub>2</sub>O<sub>4</sub>)<sub>3</sub>·5H<sub>2</sub>O (рис. 1в) протекает аналогично предыдущему соединению. Обезвоживание соли происходит ступенчато в интервале температур 30—100° (3H<sub>2</sub>O) и 100—240° (2H<sub>2</sub>O). Разложение сопровождается экзотермическими эффектами в интервале температур 240—300 и 340—380°. Конечным продуктом термического разложения NH<sub>4</sub>CuEu(C<sub>2</sub>O<sub>4</sub>)<sub>3</sub>·5H<sub>2</sub>O является CuEuO<sub>2,5</sub>. Остаток по ТГ составляет 43,78%, а для CuEuO<sub>2,5</sub> рассчитано 44,24%.

На основании полученных данных выявлена возможность отделения европия и меди с помощью оксалатов калия и аммония.

ევროპიულისა და სილიკონის ერთდროულად დალექტილი რესალატების  
უფაფენილობისა და თერმული ზესრულის შესახებ

## რეზიუმე

ნარჩენ კონცენტრაციათა მეთოდით და მყარი ფაზის ქიმიური ანალიზის მეთოდებით შესწავლილია კომპონენტთა ურთიერთშემეფება ( $25^\circ$ ) წყალსნართა სისტემებში:  $\text{Eu}(\text{NO}_3)_3 - \text{Cu}(\text{NO}_3)_2 - M_2\text{C}_2\text{O}_4 - \text{H}_2\text{O}$  ( $M = \text{H}^+$ ,  $\text{K}^+$ ,  $\text{NH}_4^+$ )

დადგენილია, რომ გამოსვალ ნივთიერებათა განსაზღვრული თანაფარ-დობისას ხდება ევროპიუმისა და სპილენძის ერთდროული დალექტა, ნალექის შედგენილობა გამოისახება ბრუტო-ფორმულით:  $\text{MCuEu}(\text{C}_2\text{O}_4)_3 \cdot 5\text{H}_2\text{O}$  ( $M = \text{K}^+$ ,  $\text{NH}_4^+$ ) და  $\text{CuEu}(\text{C}_2\text{O}_4)_{2,5} \cdot 6\text{H}_2\text{O}$ .

დამლექავი ოქსალატის ჭარბი რაოდენობის შემთხვევაში  $\text{MCuEu}(\text{C}_2\text{O}_4)_3 \cdot 5\text{H}_2\text{O}$  იშლება  $M[\text{Eu}(\text{C}_2\text{O}_4)_2] \cdot x\text{H}_2\text{O}$  (ნალექში) და  $M_2[\text{Cu}(\text{C}_2\text{O}_4)_2]$  (სინარში).

მიღებული მონაცემების საფუძველზე შესაძლებელია ევროპიუმისა და სპილენძის დაცილება კალიუმისა და ამონიუმის ოქსალატებით.

ჩატარებულია  $\text{MCuEu}(\text{C}_2\text{O}_4)_3 \cdot 5\text{H}_2\text{O}$  და  $\text{CuEu}(\text{C}_2\text{O}_4)_{2,5} \cdot 6\text{H}_2\text{O}$  თერმული კვლევა.

M. E. MODEBADZE, E. G. DAVITASHVILI

## ON COMPOSITION AND THERMAL STUDY OF COPRECIPITATED EUROPIUM AND COPPER OXALATES

## Summary

The method of residual concentrations and chemical analysis of solid phases were used for studies of the interaction of the components in the systems  $\text{Eu}(\text{NO}_3)_3 - \text{Cu}(\text{NO}_3)_2 - M_2\text{C}_2\text{O}_4 - \text{H}_2\text{O}$  (where  $M = \text{H}^+$ ,  $\text{K}^+$ ,  $\text{NH}_4^+$ ) in aqueous solutions at  $25^\circ$ .

It has been found that at the certain ratios of the starting substances, the coprecipitation of europium and copper oxalates occurs, corresponding to empirical formulas  $\text{MCuEu}(\text{C}_2\text{O}_4)_3 \cdot 5\text{H}_2\text{O}$  (where  $M = \text{K}^+$ ,  $\text{NH}_4^+$ ) and  $\text{CuEu}(\text{C}_2\text{O}_4)_{2,5} \cdot 6\text{H}_2\text{O}$ .

At an excess of the precipitator oxalate a decomposition of  $\text{MCuEu}(\text{C}_2\text{O}_4)_3 \cdot 5\text{H}_2\text{O}$  is observed in  $M[\text{Eu}(\text{C}_2\text{O}_4)_2] \cdot x\text{H}_2\text{O}$  (in the precipitate) and  $M_2[\text{Cu}(\text{C}_2\text{O}_4)_2]$  (in the solution).

Thus on the basis of the obtained data a possible separation of europium and copper by potassium and ammonium oxalates is found.

The thermal studies of  $\text{MCuEu}(\text{C}_2\text{O}_4)_3 \cdot 5\text{H}_2\text{O}$  and  $\text{CuEu}(\text{C}_2\text{O}_4)_{2,5} \cdot 6\text{H}_2\text{O}$  have been carried out.

## ლიტერატურა — REFERENCES

1. Модебадзе М. Е., Давиташвили Е. Г. Сообщения АН ГССР, 1978, 90, № 2, 361—366.
2. Колтгоф И. М., Сендел Е. Б. Количественный анализ, 1941, с. 562.



УДК 546.654/59 + 547.464 + 620.181 + 154.84

Л. Г. АСПАНИДЗЕ, Г. В. БОРОДИНА, Ш. И. ДЖИДЖЕИШВИЛИ  
З. Н. МОРЧИЛАДЗЕ, А. А. ЦХВАРАДЗЕ, В. А. ЦКВИТАЯ

## ИЗУЧЕНИЕ ПРОЦЕССА ТЕРМИЧЕСКОГО РАЗЛОЖЕНИЯ АЦЕТАТА ГАДОЛИНИЯ

За последнее время появились сообщения о перспективности применения органических соединений гадолиния в качестве компенсационных материалов для высокотемпературных гелиевых реакторов. Рассматриваются различные возможности использования поглощающих систем на основе ацетата гадолиния, циклопентадиенила гадолиния, изопропоксида гадолиния, как в основном, так и в резервном варианте. Для обоснования целесообразности создания указанных систем и понимания процессов, происходящих при введении регулирующего компонента, стало необходимым изучение механизмов термического распада в условиях, приближенных к реакторным. С этой целью проведены исследования по установлению возможных путей термолиза ацетата гадолиния, как одного из перспективных соединений.

Согласно экспериментальным данным, разложение ацетатов различных металлов может проходить по двум механизмам [1—6]. Один путь — это термическое разложение с образованием ацетона и карбоната металла в виде конечных продуктов, второй — термолиз через образование в качестве основных продуктов уксусной кислоты и металла. Однако имеющиеся в литературе сведения недостаточны для того, чтобы подтвердить тот или иной механизм процесса разложения ацетата гадолиния.

Исследования термического разложения ацетата гадолиния проводили методом модельных экспериментов, имитировавших возможные ситуации, возникающие в условиях применения водного раствора ацетата гадолиния в реакторах с шариковыми засыпками из графита.

Термогравиметрическое исследование модельных образцов проводили на дериватографе фирмы «МОМ» системы Паулик, Паулик, Эрдей (BHP). Образцы нагревались до 1000° со скоростью 10°/мин. Испытывались модельные образцы двух составов: первый, состоящий только из ацетата гадолиния, и второй — смесь ацетата гадолиния с углеродом в соотношении 1:5. Снятые дериватограммы позволили сделать выводы о динамике термических эффектов и идентичности процесса для всех модельных образцов. Во всех случаях на кривых ДТА и ДТГ первые точки термоэффекта зафиксированы при 100, 150, 200°. По кривым TG определена суммарная потеря веса при 200°. Она соответствует массе трех молей воды в кристаллогидрате ацетата гадолиния. Эти данные позволяют утверждать, что дегидратация происходит ступенчато в интервале 100—200°. При повышении температуры от 200° до 340° не происходит фазовых изменений, что подтверждено рентгенографическим анализом в последующих экспериментах.

Выше 340° происходит разложение безводного ацетата гадолиния и включительно до 1000° на кривых TG нет горизонтальных площадок, что указывает, в свою очередь, на непрерывное уменьшение веса.

На основании снятых дериватограмм было исследовано термическое разложение ацетата гадолиния при температурах, явно выраженных.

ных термоэффектами. Дериватограммы приведены на рис. 1, 2. На-  
гревание образцов проводили до 200, 340, 400, 600, 700 и 1000°Ср. На-  
рис. 3 изображена схема прибора для изучения термического разло-  
жения ацетата гадолиния.

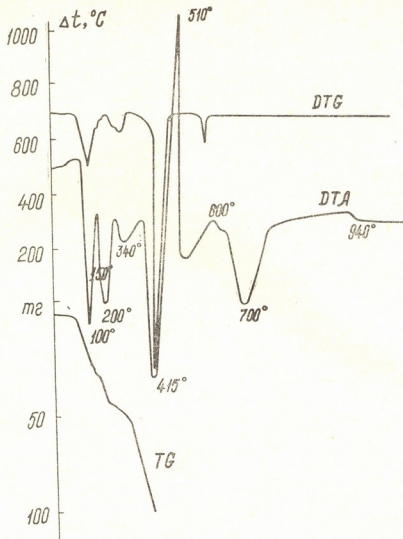


Рис. 1. Дериватограмма разложения ацетата гадолиния (навеска 346,5 мг, потеря веса 181 мг, скорость нагревания 10°/мин)

Все газообразные продукты разложения идентифицировались хроматографически, а также методом ИК-спектрометрии. Состав твердой фазы определялся рентгенографическим и химическими методами

Таблица 1

Состав газовой фазы в точках термоэффектов

Состав образца	415°			600°			700°			900°		
	CO <sub>2</sub>	CH <sub>4</sub>	CO	CO <sub>2</sub>	CH <sub>4</sub>	CO	CO <sub>2</sub>	CH <sub>4</sub>	CO	CO <sub>2</sub>	CH <sub>4</sub>	CO
Gd(CH <sub>3</sub> COO) <sub>3</sub> ·3H <sub>2</sub> O	71, -6	28,44	—	37,12	6,87	55,01	6,67	—	99,33	4,85	—	95,15
"	69,73	30,27	—	41,75	5,90	52,35	7,97	—	92,03	3,63	—	96,37
Gd(CH <sub>3</sub> COO) <sub>3</sub> ·3H <sub>2</sub> O + + графит	95,05	4,85	сл.	30,52	0,70	68,79	5,87	сл.	94,10	0,40	—	99,60
"	97,27	1,13	1,62	39,59	1,50	59,27	33,3	—	66,69	2,45	—	97,55

анализа. Результаты анализа состава газовых продуктов разложения приведены в таблице 1.

Как видно из приведенной таблицы, основными газообразными продуктами разложения являются двуокись углерода, метан, окись углерода. При сравнительно низких температурах преобладающим является содержание двуокиси углерода, тогда как при  $700^{\circ}$  ее содержание падает до минимума с одновременно резким увеличением количества окиси углерода. Образование указанных продуктов термо-

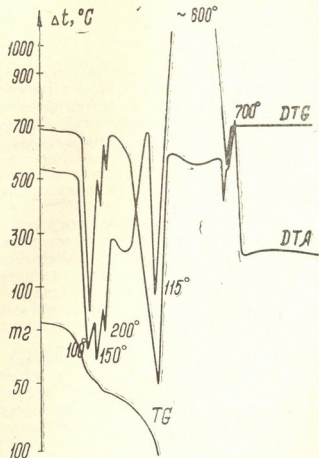


Рис. 2. Дериватограмма разложения смеси ацетата гадолиния с графитом (навеска 272 мг, потеря веса 154 мг, скорость нагревания  $10^{\circ}/\text{мин}$ )

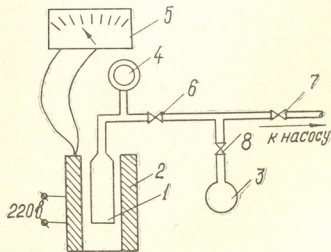


Рис. 3. Схема установки для изучения термического разложения ацетата гадолиния: 1—ампула; 2 — электропечь; 3 — пробоотборник; 4 — манометр; 5 — потенциометр; 6, 7, 8 — краны.

Խաչի մեջ յ. Յանձնական  
խօս. Երև. Հայաց. հանձնական  
ՀՀ պատճենահանձնություն

лиза и их сравнительное соотношение можно истолковать как результат реакции с образованием ацетона в качестве первичного продукта с дальнейшим его разложением по мере повышения температуры по схеме:



Как известно, термический распад ацетона — гомогенная реакция первого порядка с энергией активации 285,6 кДж/моль. Наличие атомов и свободных радикалов доказано различными способами [5]. Обрыв может осуществляться рекомбинацией по  $\beta$ - и  $\mu$ -типам.

В пользу предполагаемой выше схемы распада ацетата гадолиния могут служить идентификация наличия ацетона в жидкой фазе при 340° и данные о каталитических свойствах соединений редкоземельных элементов, в значительной степени понижающих температуру разложения ацетона.

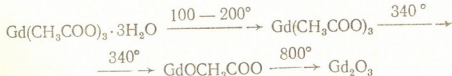
Для изучения возможности образования окиси углерода путем восстановления двуокиси углерода был смоделирован процесс реакции  $\text{CO}_2 + \text{C}$  с применением изотопного элементарного углерода-13. Снятие масс-спектров образующейся окиси углерода указало на возможность протекания указанного процесса наряду с реакциями (4, 6).

Следует отметить, что данные хроматографического анализа газового состава продуктов разложения были подтверждены также и методом ИК-спектрометрии.

Параллельно с исследованием газового состава изучался процесс фазовых превращений ацетата гадолиния в интервале температур 300—1000° с использованием рентгеновского дифрактометра Дрон — 0,5. Регистрация интенсивностей дифракционных максимумов производилась на диаграммной ленте электронно-автоматического потенциометра. Расчет полученных дифрактограмм проводили по формуле Вульфа-Брэгга.

Проведенный рентгенографический анализ показал, что в интервале температур 300—700° наблюдаются интерференционные максимумы отдельных кристаллических фаз модельных смесей. Идентификация максимумов на окись гадолиния, тидроокись гадолиния дала отрицательный результат. Однако при температуре выше 700° начинается образование фазы окись гадолиния, формируемой в кубическую симметрию. Дальнейшее увеличение температуры приводит к совершенствованию структуры окиси гадолиния, при температуре 1000° ее формирование завершается. При температуре 1050° дифракционная картина не меняется. Следует отметить также, что во всех температурных интервалах не наблюдалось взаимодействие углерода с продуктами разложения ацетата гадолиния.

Таким образом, результаты хроматографического и рентгенографического исследований продуктов термического разложения указывают на возможность следующей схемы разложения ацетата гадолиния:



გადოლინიუმის აცეტატის თერმოლიდი დაშლის პროცესის შესწავლა

### რეზიუმე

გადოლინიუმის აცეტატის თერმოლიზი შესწავლილია თერმოგრავიმეტრი-ცლი მეთოდის გამოყენებით ტემპერატურულ ინტერვალში 100—1000°.

კვლევის ფიზიკურ-ქიმიური მეთოდებით იდენტიფიცირებულია თერმული დაშლის პროცესები.

დაღგნილია, რომ გადოლინიუმის აცეტატის თერმოლიზის პროცესებს ჟარმოალგნს მეთანი, ნახშირის ოქსიდი და ლიოქსიდი, გადოლინიუმის ჟანგი დაღგნილია გადოლინიუმის აცეტატის თერმული დაშლის მექანიზმი.

L. G. ASPANIDZE, G. V. BORODINA, SH. I. JIJEISHVILI, Z. N. MORCHILADZE,  
A. A. TSKHVVARADZE, V. A. TSKVITAYA

### STUDIES OF THERMAL DECOMPOSITION OF GADOLINIUM ACETATE

#### Summary

The process of gadolinium acetate thermal decomposition has been studied under the conditions approximate to reactor ones.

It has been shown that the main components of the gas phase decomposition are methane, carbon monoxide, carbon dioxide, their ratios changed depending on the temperature of heating. The thermoeffects of chemical reactions occurring in the temperature range from 100° to 1000° were determined by thermogravimetric studies of model samples. The gaseous products of thermolysis were studied by chromatography and IR-spectroscopy. The composition of the solid phase was determined by X-ray diffraction and chemical methods of analysis.

The temperature range of formation of the final thermal decomposition product, i. e. gadolinium oxide was determined. On the basis of the experimental data the conclusions were drawn on the possible scheme of gadolinium acetate decomposition.

#### ლიტერატურა — REFERENCES

1. Бамдас Э. М., Шемякин М. М. Журнал органической химии, 1948, 18, 2, 324.
2. Рубенштейн А. М., Якерсон В. И. Журнал органической химии, 1960, 30, 9, 2495.
3. Дубровин А. В. Журнал неорганической химии, 1978, 22, 9, 2317.
4. Дубровин А. В. Журнал неорганической химии, 1977, 22, 6, 1625.
5. Лейблер К. Кинетика органических реакций, М., изд. «Мир», 1966.
6. Вдовина Л. М., Кузнецова Л. Л. Журнал неорганической химии, 1981, 26, 6, 1546.

## ОРГАНИЧЕСКАЯ ХИМИЯ

УДК 547.56 : 66.095.25

Г. О. ЧИВАДЗЕ, Л. З. ЧХЕИДЗЕ, Л. И. БАЛАХИШВИЛИ, В. В. ХАХНЕЛИДЗЕ,  
Ц. И. НАСКИДАШВИЛИАЛКИЛИРОВАНИЕ АНИЛИНА МЕТИЛОВЫМ СПИРТОМ В  
ПРИСУТСТВИИ МОДИФИЦИРОВАННЫХ АЛЮМОСИЛИКАТОВ

Для производства определенного типа красителей промежуточными продуктами являются производные анилина—метил- и диметиланилины, толуидины и ксилидины. Метиланилины применяются также для получения стабилизатора пироксилиновых порохов, а ксилидины — как ускорители вулканизации каучука и антиоксиданты [1].

Практика производства красителей показала, что получение промежуточных продуктов — алкиланилинов — является значительно более сложным и трудным процессом, чем получение на их базе красителей.

Каталитическое алкилирование аминов спиртами, давно привлекавшее внимание исследователей, в настоящее время получило большое промышленное значение. В качестве алкилирующих агентов для получения промежуточных продуктов в производстве азокрасителей применяются в основном метиловый и этиловый спирты и различные катализаторы.

Вопросу каталитического алкилирования анилина метиловым спиртом посвящено малое количество работ [2—4]. Поэтому изыскание эффективных и доступных катализаторов для этой реакции, по нашему мнению, представляет определенный интерес.

В данной работе в реакции алкилирования анилина метиловым спиртом в качестве катализаторов были исследованы природные и модифицированные алюмосиликаты Грузии — клиноптиолит (месторождение Хекордзула — КлХ) и гумбрин (месторождение Гумбри).

Модификация природного клиноптиолита (катализатор № 1) методом ионного обмена проводили раствором хлористого алюминия.

Для изучения влияния кратности обработки на каталитические свойства клиноптиолита проводили его однократную (катализатор № 2), двухкратную (катализатор № 3) и трехкратную (катализатор № 4) обработку 0,2 н раствором хлористого алюминия и каждую новую порцию катализатора испытывали в реакции алкилирования.

Наряду с трехкратной обработкой клиноптиолита 0,2 н раствором хлористого алюминия, проводили однократную обработку клиноптиолита 0,6 н раствором  $AlCl_3$  (катализатор № 5). При этом количество окиси алюминия в катализаторах № 4 и № 5 одинаковое (16,5 и 16,56%). В природном образце клиноптиолита количество окиси алюминия составляет 14,7%.

Реакцию алкилирования проводили также на природном (катализатор № 6), четырехкратно обработанном 0,15 н раствором хлористого алюминия (катализатор № 7) и обработанном 0,6 н раствором хлористого алюминия гумбрине (катализатор № 8).

Алкилирование анилина метанолом проводили в проточной системе в интервале температур 250—450°, соотношении анилини: метанол = 1 : 4 и объемной скорости подачи веществ 0,1 ч<sup>-1</sup>.

Полученные в результате реакции катализаторы анализированы на хроматографе ЛХМ-72. В качестве сорбента применяли целит 545 с нанесенным полиэтиленгликолем — 400 (25% от веса целита). Длина колонки — 1,5 м, диаметр — 4 мм. Температура колонки — 137°, скорость газа-носителя гелия — 50 мл/мин.

Результаты алкилирования анилина метанолом на клиноптилолите и гумбрине представлены в таблицах 1—3.

Как видно из таблицы 1, на катализаторе № 1 получаются метил-диметиланилины и толуидины.

Однократная обработка КлХ 0,2 и раствором  $\text{AlCl}_3$  (катализатор № 2) смешает его активность в сторону образования метиланилина, количества которого достигает 54,5% при 400°.

Таблица 1

Алкилирование анилина метиловым спиртом в присутствии природного и модифицированного клиноптилолита в проточной системе. Объемная скорость подачи смеси 0,1 ч<sup>-1</sup>, мольное отношение анилин:метанол = 1:4

Температура опыта, °С	Выход толуидинов, % от теоретического	Выход метиланилина, % от теоретического	Состав алкилата, вес. %							
			Анилин	Метанол	Метиланилин	Диметиланилин	о-Толуидин	п-Толуидин	М-Толуидин	Эфиры
Катализатор № 1										
350	25,5	16,1	7,2	6,2	8,5	1,8	8,8	4,7	—	1,25
400	33,0	18,0	6,5	2,6	9,7	3,0	8,5	6,5	2,4	1,8
Катализатор № 2										
350	—	32,0	66	2,8	16,7	3,5	6,0	4,2	—	1,6
400	—	54,5	43	3,4	28,0	6,6	8,4	7,6	—	3,0
Катализатор № 3										
300	—	24,0	73	1,9	13,0	3,3	6,7	3,2	—	1,0
350	—	17,8	82,8	2,7	9,3	2,8	1,08	0,96	—	0,87
400	—	23,0	72	2,3	12,3	2,5	5,6	3,8	—	0,7

Таблица 2

Алкилирование анилина метиловым спиртом в присутствии клиноптилолита в паровой фазе. Объемная скорость подачи смеси 0,1 ч<sup>-1</sup>, мольное отношение анилин:метанол = 1:4

Температура опыта, °С	Выход метиланилина, % от теоретич.	Состав алкилата, вес. %								
		Анилин	Метанол	Метиланилин	Диметиланилин	о-Толуидин	п-Толуидин	М-Толуидин	Ксилидин	Эфиры
Катализатор № 4										
300	32,5	43,2	9,6	19,3	15,2	4,4	—	8,3	—	—
350	31,5	25,3	3,1	29,0	23,7	7,6	—	11,0	—	—
400	32,4	34,0	6,0	22,6	14,7	6,8	4,0	14,7	—	—
Катализатор № 5										
300	40,6	76,0	3,2	6,2	2,0	8,0	—	1,4	—	3,2
350	43,7	49,8	4,4	13,0	2,9	16,0	—	8,6	0,5	3,0
400	64,6	50,3	2,8	8,3	0,8	17,5	10,0	8,6	0,8	0,4



Алкилирование анилина метиловым спиртом в присутствии природного и модифицированного гумбрин в проточной системе. Объемная скорость подачи смеси 0,1 ч<sup>-1</sup>, мольное отношение анилин : метанол = 1:4

Температура, °С	Выход толуидинов, % от теоретич.	Состав алкилата, вес. %									Ненасыщенные вещества
		Анилин	Метанол	Метиланилин	Диметиланилин	о—Толуидин	п—Толуидин	м—Толуидин	Ксилины	Эфиры	
Катализатор № 6											
250	70,0	28,6	4,1	14,9	5,8	20,4	16,5	4,5	1,4	3,8	—
350	82,8	27,2	2,6	10,7	5,2	22,3	17,0	6,4	5,5	3,1	—
Катализатор № 7											
300	66,7	22,1	3,1	21,8	10,0	12,7	11,9	11,2	1,6	3,5	2,1
350	70,1	23,7	4,6	17,8	11,4	13,1	15,5	9,3	2,8	0,8	0,9
400	89,5	21,3	4,0	14,4	10,7	17,8	16,1	11,5	3,3	—	0,9
Катализатор № 8											
300	90,1	24,3	5,5	3,8	1,0	27,5	11,7	16,6	6,8	2,8	—
350	92,3	23,6	5,2	2,4	0,2	28,6	12,3	17,7	7,3	2,7	—
400	94,5	20,4	4,6	1,7	0,8	28,1	14,6	19,8	9,1	1,5	—
450	97,7	20,4	4,0	1,2	1,1	28,0	15,2	20,1	9,7	0,3	—

На катализаторе № 3 выход метиланилина снижается до 17—24%.

По данным таблицы 2 на катализаторе № 4 количество метиланилина составляет 31,5%. Катализическая активность катализатора № 5 в отношении выхода метиланилина выше, чем № 4; с увеличением температуры от 300 до 400° выход метиланилина повышается и при 400° достигает 64,6%.

Очевидно, в катализаторе № 5 ионы алюминия располагаются в более доступной позиции, что и повышает его активность в реакции алкилирования.

Если на клиноптилолите реакция алкилирования анилина метиловым спиртом шла, в основном, с образованием метиланилина, то на природном и модифицированном гумбрине преимущественно образуются толуидины (таблица 3).

С повышением температуры на природном гумбрине (катализатор № 6) выход толуидинов увеличивается и при 350° достигает 82,8% от теоретического.

Четырехкратная обработка гумбрине (катализатор № 7) 0,15 н раствором  $AlCl_3$  незначительно повышает выход толуидинов, максимальный выход которых составляет 89,5%.

На гумбрине, обработанном 0,6 н раствором  $AlCl_3$  (катализатор № 8), выход толуидинов резко возрастает и достигает максимума при 450°—97,7% от теоретического.

Надо отметить, что количество окиси алюминия в природном образце гумбрине составляет 15%. При четырехкратной обработке 0,15 н раствором  $AlCl_3$  содержание окиси алюминия достигает 17%, а при обработке 0,6 н раствором  $AlCl_3$  — 18%.

Таким образом, в образцах клиноптилолита и гумбрине кратность обработки незначительно влияет на количество введенной окиси алюминия. Но образцы клиноптилолита и гумбрине, обработанные однократно 0,6 н раствором  $AlCl_3$ , проявляют значительную активность в реакции алкилирования анилина метиловым спиртом.



При обработке алюмосиликатов 0,6 н раствором хлористого алюминия возрастает гидролиз, и наряду с алюминиевой формой образуется также водородная форма, что, вероятно, способствует изменению характера реакции.

Проведенные исследования позволяют заключить, что при алкилировании анилина метанолом в присутствии модифицированного клиноптилолита реакция алкилирования преимущественно протекает с образованием метиланилина, а на модифицированном гумбрине в основном получаются толуидины (таблица 3).

На природном гумбрине (катализатор № 1), обладающем меньшей кислотностью по сравнению с его модифицированными формами ( $\text{pH} = 3,85$ ), в основном получаются о- и п-толуидины, т. к. аминогруппа анилина относится к ориентантам первого ряда, и в анилине легко замещаются атомы водорода, находящиеся в о- и п-положениях.

С увеличением кислотности катализатора ( $\text{pH}$  катализатора № 7 3,25, а № 8 — 2,75) в алкилате увеличивается количество м-толуидинов, достигая в сравнимых условиях опытов 17,7 %.

Что касается ксилидинов, то в алкилатах, полученных на клиноптилолите, они практически отсутствуют, а на модифицированных образцах гумбрине их содержание достигает 10 %.

Вероятно, различная активность катализаторов на основе клиноптилолита и гумбрина связана с тем, что критические диаметры молекул толуидинов и ксилидинов больше, а эффективный диаметр пор и первичная пористость клиноптилолита гораздо ниже, чем гумбрина. Молекулы превращаемого анилина не проникают во внутренние полости клиноптилолита, и его превращение происходит только на внешней поверхности катализатора, которая составляет незначительную часть всей его поверхности.

Институт физической и органической  
химии им. П. Г. Меликишвили АН ГССР

Поступило 13.02.1984

გ. ჩივაბი, ლ. ჩხიძე, ლ. გალაგოვილი, ვ. ხახიძე, ვ. ნაციფავილი

აღილის აღკილირება ეთილის საირით მოდიფიცირებულ  
კლინოპტილინიდან

რ ე ზ ი უ მ ე

წარმოდგენილ სამუშაოში შესწავლილია ანილინის ალკილირება მეთანოლით ზუნგბრივი და მოდიფიცირებული ალუმოსილიკატების — კლინოპტილოლითის და გუმბრინის თანაბიძისას. მოდიფიცირებას ვახდენდით 0,15; 0,2 და 0,6 ნორმალობის სამქლორიანი ალუმინის ხსნარებით.

რეაქციას ვატარებდით გამდინარე სისტემაში  $250\text{--}450^\circ$  ტემპერატურის ფარგლებში.

ნაჩენებია, რომ 0,6 ნორმალობის ალუმინის ქლორიდით მოდიფიცირებულ კლინოპტილოლითის თანაბიძისას მირითადად მიიღება დიმეთილონილინები, მაქსიმალური გამოსავლით 64,6 % თეორიულის მიმართ  $450^\circ$  ტემპერატურაზე.

მოდიფიცირებულ გუმბრინზე ძირითადად მიიღება ტოლუიდინები, რომელთა გამოსვლის მაქსიმუმი 97,7 % ღწევს თეორიულის მიმართ.

G. O. CHIVADZE, L. Z. CHKHEIDZE, L. I. BALAKHISHVILI,  
V. V. KHAKHNELIDZE, TS. I. NASKIDASHVILI

## ANILINE ALKYLATION BY METHYL ALCOHOL ON THE MODIFIED ALUMOSILICATE

### Summary

Aniline alkylation by methanol in the presence of natural and modified aluminosilicates—clinoptilolite and gumbrine has been studied.

It's shown that methyl- and dimethylanilines, the yield of which makes up 64,6% of the theoretic, are obtained mainly on clinoptilolite. Maximum of toluodines makes up 97,7% of the theoretic and is obtained on gumbrine.

### ლიტერატურა — ЛИТЕРАТУРА — REFERENCES

1. Краткая химическая энциклопедия, М., изд «Сов. энц.», 1963, 2, с. 879; 3, с. 179.
  2. Brown A. B., Reid E. ZBL., 1924, 2, 1681.
  3. Smolenski E., Smolenski K., ZBL., 1929, 3, 204.
  4. Киквидзе А. В., Арешидзе Х. И. ЖХХ, 1958, 23, вып. 4, с. 596.
-

## ФИЗИЧЕСКАЯ ХИМИЯ

УДК 631.461

Г. В. ЦИЦИШВИЛИ, Т. Г. АНДРОНИКАШВИЛИ, М. К. ГАМИСОНДЖА,  
З. А. ГОЧЕЛАШВИЛИ, А. В. РУСАДЗЕ

### ВЛИЯНИЕ ЦЕОЛИТА НА ФИКСАЦИОННУЮ СПОСОБНОСТЬ АТМОСФЕРНОГО АЗОТА ПОЧВОЙ

Интенсификация сельскохозяйственного производства влечет за собой резкое повышение потребности в азоте, что заставляет искать новые пути для покрытия его дефицита в почве. В связи с этим возрастающее внимание исследователей привлекает так называемый биологический азот, фиксация которого в почве происходит благодаря функционированию микроорганизмов. Повышенный интерес к нему обусловлен двумя причинами: во-первых, он несравненно дешевле технического азота, вносимого в виде минеральных удобрений, во-вторых, биологический азот не загрязняет окружающую среду. Более того, он способствует снижению токсичности почв, вызванной интенсивной химизацией сельского хозяйства [1].

Биологическая фиксация азота в основном происходит за счет микроорганизмов, населяющих почву [2]. Среди азотфиксирующих микроорганизмов особое место занимают азотобактер и сине-зеленые водоросли. Они активно размножаются лишь при наличии комплекса благоприятных условий, которые не всегда имеют место в почве. Эти азотфиксаторы весьма требовательны к реакции среды: они тяготеют к нейтральным почвам и плохо уживаются в кислой среде [3]. По сравнению с другими почвенными бактериями, азотобактер и сине-зеленые водоросли являются более влаголюбивыми. Под действием токсичных веществ они быстро погибают [4].

Как показали наши исследования, внесение природных адсорбентов — цеолитов, клиноптилоилитсодержащих туфов месторождения Дзегви ГССР в почву в количестве 10% приводит к увеличению pH почвы примерно на 2 единицы. При этом наблюдается увеличение влажности почвы.

Целью наших исследований являлось изучение влияния цеолита на фиксационную способность почвы.

Для улучшения сферы питания микроорганизмов вместе с цеолитом в почву вносился торф.

Эксперимент проводился следующим образом: вначале приготавливались смеси отдельных компонентов в соотношениях, указанных в табл. 1, и загружались в соответствующие сосуды.

Эти образцы выдерживали в сосудах в течение 30 дней. По истечении этого срока определяли изменение pH в каждом сосуде.

Микроскопические исследования показали, что при внесении цеолита в почве появляются сине-зеленые водоросли, способные фиксировать атмосферный азот.

Затем из сосудов отбирались пробы и определялась интенсивность фиксации азота ацетиленовым методом [5]. С этой целью брали 20 г



почвы, помещали в склянки, из которых был откачен воздух и впущена смесь газов: 10% ацетилена, 20% кислорода и 70% аргона. Плотно герметизированные склянки помещали в термостат при температуре 20° и после двухдневной инкубации производили фиксацию насыщенным раствором супеси с целью прекращения жизнедеятельности бактерий. Затем из склянки отбиралась проба смеси газа в количестве одного мл и производился ее хроматографический анализ [6]. Результаты опытов приведены в табл. 2.

Таблица 1

## Состав изученных смесей

Соотношение компонентов смеси (в кг)		
п о ч в а	ц е о л и т	т о р ф
5	—	—
—	5	—
—	—	5
—	2,5	2,5
4,5	0,5	—
4,5	—	0,5
4,5	0,25	0,25
4,25	0,75	—
4,25	—	0,75
4,25	0,375	0,375

Таблица 2

## Изменение фиксации атмосферного азота в почве при наличии цеолита и торфа

Соотношение компонентов в смеси	рН	Количество фиксируемого азота	
		мкг/кг почвы в сутки	кг/га почвы в вегетативный период (250 дней)
П о ч в а	4,2	7,2	9,0
Ц е о л и т	9,2	0	0
Т о р ф	4,3	0	0
Цеолит+торф (1:1)	5,75	0	0
Почва+цеолит (9:1)	5,80	29,4	36,7
Почва+торф (9:1)	4,25	1,52	1,9
Почва+цеолит+торф (8:1:1)	5,4	23,3	29,1
Почва+цеолит (8,5:1,5)	6,1	47,1	58,8
Почва+торф (8,5:1,5)	4,28	2,4	3,
Почва+цеолит+торф (8,5:0,75:0,75)	5,9	38	47,

Как видно из полученных данных, количество фиксируемого азота как в цеолите, так и в торфе равняется нулю. Незначительно фиксируется азот и при наличии торфа в почве (3 кг/га N<sub>2</sub> в вегетативном периоде). При внесении клиноптилолита в количествах 10% и 15% наблюдается резкое повышение фиксационной способности почвы (36,7 кг/га N<sub>2</sub> и 58,8 кг/га N<sub>2</sub>, т. е. увеличение происходит в 4—6 раз). Что касается системы почва—клиноптилолит—торф, то количество фиксируемого азота по сравнению с контролем увеличивается соответственно в 3—5 раз (29,1 кг/га N<sub>2</sub> и 47,5 кг/га N<sub>2</sub>).

Заниженные результаты в вышеуказанной системе по сравнению с образцом почва—цеолит компенсируются тем, что торф благоприятствует равномерному разложению органических веществ и постепенной отдаче их растениям.

Таким образом, внесение цеолита в почву создает комплекс благоприятных условий для размножения азотфикссирующих микроорганизмов, которое подтверждается увеличением фиксационной способности почвы.

Полученные данные свидетельствуют о том, что внесение клиноптилолита содержащего туфа в почву даже без минеральных удобрений пополняет азотный фонд почвы и тем самым повышает ее плодородие.

Институт физической и органической химии им. П. Г. Меликишвили АН ГССР  
Грузинский институт субтропического хозяйства

Поступило 28.12.1983

ქ. ცენტრალური, თ. აცდომისაზღვი, გ. ბათუმი, ზ. გოჩელაშვილი,  
ა. რუსაძე

ცენტრალური გავლენა აზომურული აზომის ნიადაგით ფიქსაციის უნარზე

რეზიუმე

განხილულია ბუნებრივი ადსორბენტის — ცეოლითის (კლინოპტილოლით-ჟემუველი ტუფების) გავლენა ნიადაგში აზომტფიქსატორების განვითარებასა და აზომტფიქსაციის უნარის გაზრდაზე.

ცნობილია, რომ აზომტაფიქსირებელი მიკროორგანიზმები — აზომბაქტერი და ლურჯმწვანე წყალმცენარეები ვითარდებიან განსაკუთრებულ პირობებში — ტენანტ და ნეიტრალური არის მეონე ნიადაგში. გარდა ამისა, ისინი ძლიერ მგრძნობიარენი არიან ტოქსიკური ნივთიერებების მიმართ და ამ ნივთიერებებით გაუჭირებულ ნიადაგში ადვილად იღუპებან.

ცეოლითისა და ტორფის შეტანით ნიადაგში იქმნება აზომტაფიქსირებელი ბაქტერიების გამრავლებისათვეს ხელსაყრელი ოპტიმალური პირობები. ამასთან ერთად იზრდება ნიადაგს აზომტაფიქსირებელი უნარი, კერძოდ, თუ სუფთა ნიადაგზე ვეგეტაციურ პერიოდში (250 დღე) 9 კგ/ჰა  $N_2$  ფიქსირდება, 15% ცეოლითის დამატებით ეს მაჩვენებელი 6,5-ჯერ იზრდება და აღწევს 58,8 კგ/ჰა. სისტემაში „ნიადაგი — ცეოლითი — ტორფი“ ფიქსირებული აზომტის რაოდენობა 47,5 კგ/ჰა-ს აღწევს, რაც საკონტროლოსთან შედარებით 5-ჯერ მეტია.

G. V. TSITSISHVILI, T. G. ANDRONIKASHVILI, M. K. GAMISONIYA,  
Z. A. GOCHELASHVILI, A. V. RUSADZE

## EFFECT OF ZEOLITE ON THE SOIL ABILITY OF ATMOSPHERIC NITROGEN FIXATION

### Summary

Biological fixation of nitrogen occurs mainly due to micro-organisms inhabiting the soil. Nitrogen-fixing bacteria reproduce themselves only when a complex of favourable conditions is present, but these conditions are not always found in the soil. These bacteria prefer neutral soils and they are more hydrophilous than other microorganisms.

When zeolite (tuff containing clinoptilolite) and peat are placed into the soil, the optimum conditions are created for reproduction of nitrogen fixing bacteria. In this way the soil ability of nitrogen fixation increases. Namely, if pure soil fixes 9 kg/ha of  $N_2$  during the vegetative period (250 days) when zeolite is present in the amount of 15% the fixed amount reaches 58,8 kg/ha and in the soil-zeolite-peat system the amount of fixed nitrogen is five times as high as in control (47,5 kg/ha of  $N_2$ ).

The lower results in the above system are compensated by peat promoting uniform decomposition of organic substances, and their gradual delivery very to plants.

#### ЛІТЕРАТУРА — REFERENCES

1. Мишустин Е. Н., Петербургский А. В. Сб. Биологический азот в сельском хозяйстве, М., изд. «Наука», 1967, 5—11.
  2. Мишустин Е. Н., Шильникова В. К. Биологическая фиксация атмосферного азота, М., изд. «Наука», 530, 1968.
  3. Наумова А. Н. Сб. трудов института микробиологии, 1961, вып. 2, 266—280.
  4. Музаров А. М. Труды института ботаники АН Уз.ССР, 1953, вып. 2, 3—11.
  5. Гочелашвили З. А. Микробиология, 1978, т. 47, вып. 5, 860.
-



УДК 541.123

В. Ю. МИНДИН

## ПРОСТОЙ МЕТОД ОПРЕДЕЛЕНИЯ КООРДИНАТ НОНВАРИАНТНЫХ И МОНОВАРИАНТНЫХ ТОЧЕК ПРИ РАСЧЕТЕ ХИМИЧЕСКИХ РАВНОВЕСИЙ В ГЕТЕРОГЕННЫХ СИСТЕМАХ

Одна из основных задач при расчете химических равновесий в гетерогенных системах заключается в определении координат нонвариантных точек и координат траекторий моновариантных точек в пространстве «Р—Т—Х» (давление — температура — состав). Не анализируя детально применяемые в настоящее время методы расчета химических равновесий в гетерогенных системах [1], можно отметить, что все они, по существу, направлены на решение другой задачи — расчет химического равновесия в произвольной точке пространства «Р—Т—Х». В рамках этих методов прямое определение координат нонвариантной точки невозможно, а определение координат траекторий моновариантных точек требует большого объема вычислений, так как необходимая точность расчета обеспечивается уменьшением шага по одной из координат (например, температуре) и последующей интерполяцией [2].

Ниже нами рассматриваются метод и простой «быстрый» алгоритм на основе этого метода для решения поставленной задачи. Идея, лежащая в основе метода, представляет развитие идей работы [3].

### Обоснование метода

Рассмотрим гетерогенную систему, находящуюся в равновесии. Пусть газообразная фаза содержит «*n*» компонентов, а конденсированная фаза содержит «*k*» компонентов. Для простоты положим, что компоненты конденсированной фазы нерастворимы друг в друге. Пусть в образовании гетерогенной системы участвовало «*m*» сортов атомов. Если газообразная фаза подчиняется законам идеальных газов, то для энергии Гиббса подобной системы справедливо выражение

$$G = \sum_{j=1}^n x_j \left( G_j^0 + R T \ln P \frac{x_j}{\sum_{j=1}^n x_j} \right) + \sum_{j=n+1}^{n+k} x_j G_j^0, \quad (1)$$

где  $G_j^0$  — стандартная энергия Гиббса *j*-го компонента,  $x_j$  — число молей *j*-го компонента в равновесной смеси, остальные обозначения — общепринятые.

По ряду соображений удобно обе части (1) разделить на  $RT$  и перейти к «приведенной» энергии Гиббса ( $C$ ).

$$C = \sum_{j=1}^n x_j \left( C_j + \ln P \frac{x_j}{\bar{x}} \right) + \sum_{j=n+1}^{n+k} x_j C_j ,$$

где

$$\bar{x} = \sum_{j=1}^n x_j$$

Следуя [4], используем понятие вклада в общую энергию Гиббса системы энергии Гиббса 1 моля  $i$ -го сорта атомов ( $\pi_i$ )\*. Тогда приведенную энергию Гиббса системы можно выразить и так

$$C = \sum_{i=1}^m \pi_i b_i , \quad (3)$$

где  $b_i$  — число молей  $i$ -го сорта атомов в системе.

Зададим отношение  $x_j/\bar{x}$  выражением

$$\frac{x_j}{\bar{x}} = \exp \left( \sum_{i=1}^m a_{ij} \pi_i - C_j - \ln P \right) , \quad (4)$$

где  $a_{ij}$  — число атомов сорта “ $i$ ” в  $j$ -ом компоненте.

Подставим (4) в (2):

$$C = \sum_{j=1}^n x_j \sum_{i=1}^m a_{ij} \pi_i + \sum_{j=n+1}^{n+k} x_j C_j , \quad (5)$$

Меняем местами знаки суммирования в первом слагаемом (5)

$$C = \sum_{i=1}^m \pi_i \sum_{j=1}^n a_{ij} x_j + \sum_{j=n+1}^{n+k} x_j C_j . \quad (6)$$

Выражение под вторым знаком суммы есть число молей атомов сорта  $i$  — “ $b_i^{\text{ГАЗ}}$ ” в газообразной фазе

$$C = \sum_{i=1}^m \pi_i b_i^{\text{ГАЗ}} + \sum_{j=n+1}^{n+k} x_j C_j . \quad (7)$$

Приравниваем (3) и (7)

$$\sum_{i=1}^m \pi_i b_i^{\text{ГАЗ}} + \sum_{j=n+1}^{n+k} x_j C_j = \sum_{i=1}^m \pi_i b_i . \quad (8)$$

Равенство (8) выполняется при выполнении условия

$$\sum_{j=n+1}^{n+k} x_j C_j = \sum_{i=1}^m \pi_i b_i^{\text{КОНД}} , \quad (9)$$

где  $b_i^{\text{КОНД}}$  — число молей атомов сорта “ $i$ ” в конденсированной фазе.

\* так как  $\pi_i = \frac{\partial C}{\partial b_i}$ , то  $\pi_i$  можно назвать «приведенным химическим потенциалом»  $i$ -го химического элемента (сорта атомов).

Определение  $\pi_i$  для системы, не содержащей конденсированные компоненты, представляет достаточно сложную задачу (см., например, [3, 4]), но в случае моновариантных точек задача существенно упрощается.

Исходя из очевидного равенства

$$b_i^{\text{конд}} = \sum_{j=n+1}^{n+k} a_{ij} x_j ,$$

записываем (9):

$$\sum_{j=n+1}^{n+k} x_j C_j = \sum_{j=n+1}^{n+k} x_j \sum_{i=1}^m a_{ij} \pi_i . \quad (10)$$

Для выполнения (10) необходимо, чтобы выполнялось условие

$$\sum_{i=1}^m a_{ij} \pi_i = C_j , \quad j = n+1, n+k . \quad (11)$$

В свою очередь для выполнения (11) необходимо, чтобы эта система линейных уравнений имела единственное решение. Это условие выполняется, когда число конденсированных компонентов равно числу атомных составляющих (моновариантная точка). В нашем случае в нонвариантной точке система не имеет решений, так как число уравнений превышает число неизвестных. Однако, ввиду того, что  $C_i = f(T)$  можно отыскать такую температуру, при которой система становится совместной. Существование такой температуры вытекает из самого определения нонвариантной точки как точки, в которой пересекаются траектории моновариантных точек.

Таким образом, результатом решения системы (11) является набор  $\pi_i$ . Используя полученные значения  $\pi_i$ , рассчитываем парциальные давления всех газообразных компонентов по преобразованному уравнению (4)

$$p_j = \frac{x_j}{x} \cdot P = \exp \left( \sum_{i=1}^m a_{ij} \pi_i - C_j \right) \quad (12)$$

и определяем общее давление газообразной фазы.

$$P = \sum_{j=1}^n p_j \quad (13)$$

### Алгоритм расчета

1. Задаемся набором конденсированных и газообразных компонентов. При проведении расчетов на ЭВМ учитываем все вещества, для которых известны термодинамические параметры.

2. Задаемся набором температур. Если внутри выбранного температурного интервала ни одно из конденсированных веществ, входящих в конденсированную фазу, не претерпевает превращений, и интервал невелик, то можно ограничиться двумя крайними точками и одной (проверочной) в середине, так как траектория моновариантной точки в координатах  $\ln P - 1/T$  практически линейна в пределах  $\Delta T \approx 50-100$  К.

3. Рассчитываем приведенную энергию Гиббса всех веществ для 18. Серия химическая, т. 11, № 4



всех исследуемых температур; если данные заимствованы из [5], пользуемся выражением

$$C_j = \frac{(\Delta_f H^\circ_0)_j}{RT} - \frac{(\Phi_r)_j}{R}, \quad (14)$$

где  $(\Delta_f H^\circ_0)_j$  — энталпия образования  $j$ -го компонента при 0 К,  $(\Phi_r)_j$  — приведенный термодинамический потенциал  $j$ -го компонента при  $T$ , К.

4. Рассчитываем для всех температур  $\pi_i$  по (11),  $p_j$  по (12),  $P$  по (13).

5. По полученным парам чисел  $P = T$  определяем методом наименьших квадратов коэффициенты уравнений свертки  $P = f(T)$  или  $T = \varphi(P)$ , либо строим графическую зависимость.

Пример

Для примера рассчитаем координаты одной из моновариантных точек в системе «двуокись кремния—углерод». Число элементов (сортов атомов) равно трем (кремний, кислород, углерод). По правилу фаз Гиббса число конденсированных фаз, образующих моновариантную точку, также равно трем. Проведем расчет для случая, когда конденсированными фазами выбраны кремнезем, углерод и карбид кремния. В работе [2] было показано, что при давлении в 1 атм эти фазы существуют при 1754 К. Уточним эту величину на основе новейших термодинамических данных.

В число газообразных компонентов включим CO, SiO, CO<sub>2</sub>, Si<sub>1</sub>, Si<sub>2</sub>.

Границами температурного интервала выберем 1740—1800 К. Рассчитаем по (14) приведенную энергию Гиббса всех компонентов для границ интервала и одной средней точки.

Таблица 1

Приведенная энергия Гиббса веществ\*

Вещество	Температура, К		
	1740	1770	1800
Si <sup>k</sup>	—2,41153	—2,44733	—2,48290
SiC <sup>k</sup>	—11,11452	—11,11357	—11,11442
SiO <sup>k</sup> <sub>2</sub>	—73,97402	—73,03613	—72,13182
CO	—34,49297	—34,42588	—34,36223
SiO	—35,46313	—35,41602	—35,37174
CO <sub>2</sub>	—57,46674	—57,10700	—56,76126
Si <sub>1</sub>	8,73414	8,16696	7,61794
Si <sub>2</sub>	—54,84419	—54,57799	—54,32274

\* Числа в таблице и тексте даны без округления, «<sup>k</sup>» — конденсированный компонент.

Рассчитаем для 1740 К  $\pi_{si}$ ,  $\pi_0$ ,  $\pi_c$ . Для этого запишем систему уравнений

$$1 \cdot \pi_{si} + 0 \cdot \pi_0 + 0 \cdot \pi_c = -2,41153$$

$$1 \cdot \pi_{si} + 0 \cdot \pi_0 + 1 \cdot \pi_c = -11,11452$$

$$1 \cdot \pi_{si} + 2 \cdot \pi_0 + 0 \cdot \pi_c = -73,97402$$

Решение этой системы любым из известных методов дает:

$$\pi_{\text{sl}} = -2,41153$$

$$\pi_c = -8,70299$$

$$\pi_0 = -32,6355$$

Аналогично находим для 1770 К и 1800 К:

$$\pi_{\text{sl}} = -2,44739, \pi_c = -8,66617, \pi_0 = -32,18497 \text{ и}$$

$$\pi_{\text{sf}} = -2,48290, \pi_c = -8,63151, \pi_0 = -31,75005$$

Рассчитываем парциальные давления газообразных компонентов и общее давление газовой фазы (табл. 2).

Таблица 2

Парциальные давления газообразных компонентов ( $p_j$ ) и общее давление Р газовой фазы

Вещество	lnP <sub>j</sub> при Т, К		
	1740	1770	1800
CO	-0,55406	-0,206490	0,12917
SiO	-5,87537	-5,435129	5,00992
CO <sub>2</sub>	-10,21582	-9,71035	9,22194
Si <sub>1</sub>	-11,14567	-10,61435	10,10085
Si <sub>2</sub>	-19,12983	-18,45813	17,80908
lnP	-0,54910	-0,20104	0,135143

Используем полученные данные для построения интерполяционного уравнения вида

$$\ln P = a + \frac{b}{T}.$$

Расчет коэффициентов по двум крайним точкам дает

$$\ln P = 19,97896 - 35718,8/T \quad (15)$$

Для Т=1770 К расчет по уравнению (15) дает lnP=-0,201153, что незначительно (менее 0,06 %) отличается от приведенного в табл. 2 (-0,20104).

Используя (15), определяем так называемую температуру начала взаимодействия в системе «двуокись кремния — углерод» при нормальном давлении. Эта величина оказывается равной 1787,8 К ≈ 1788 К, что заметно отличается от полученной ранее с использованием менее точных термодинамических данных величины [2].

В нонвариантной точке системы «кремнезем — углерод» должны сосуществовать кремнезем, карбид кремния, кремний и углерод. Соответствующая система линейных уравнений будет совместной только при выполнении условия

$$\pi_{\text{sic}} = \pi_{\text{sl}} + \pi_c \quad \text{или} \quad C_{\text{sic}} = C_{\text{sl}} + C_c \quad (16)$$

Несложный расчет с использованием уравнений свертки термодинамических данных из [5] позволил определить температуру, при которой условие (16) оказалось выполненным — 3312,4 К. Расчет по изложенному в этой работе алгоритму дал величину давления в нонвариантной точке в 6446,3 ат.

ჰერცოგიანულ ცისტებზე გიმიური რონაციონაზე გათვლისას  
 ცოცხარიანი და მონაციანი დარტილების განსაზღვრის გარჩივი გათვლი

### რეზიუმე

შემოთავაზებულია აირადი ფაზის „n“ კომპონენტების პარციალური წნევების ( $p_j$ ) და „k“ კონდენსირებული კომპონენტების შემცველი, „m“ ტიპის ატომებისაგან წარმოქმნილი ჰეტეროგენული სისტემის აირადი ფაზის საერთო წნევის ( $P$ ) განსაზღვრის მეთოდი, როცა  $K=m$  და  $K=m+1$  მეთოდი დაფუძნებულია სისტემის გიბსის საერთო ენერგიაში თითოეული ტიპის ატომების ( $\pi_i$ ,  $i=1, m$ ) პარციალური წილის ცნებაზე.  $\pi_i$  მნიშვნელობა მოიძებნება შემდეგი წრფივი სისტემის ამოქსნით:

$$\sum_{i=1}^m a_{ij} \pi_i = C_j, \quad j = \overline{n+1, n+k}$$

სადაც  $a_{ij} = \frac{1}{i}$  ტიპის ატომების რიცხვი „j“ კომპონენტში;

$C_j = \frac{(G_r^o)_j}{RT}$  ( $G_r^o$  არის  $j$  კომპონენტის გიბსის ენერგია სტანდარტულ მდგომარეობაში).

აირწარმოქმნელი კომპონენტების პარციალური წნევა და აირადი ფაზის საერთო წნევა გაიანგარიშება შემდეგი ფორმულების მიხედვით:

$$p_j = \exp \left( \sum_{i=1}^m a_{ij} \pi_i - C_j \right), \quad P = \sum_{j=1}^n p_j, \quad j = \overline{1, n}$$

შემოთავაზებული მეთოდის გამოყენებით დაზუსტებულია „სილიციუმ-ნახშირბადის“ სისტემის (როცა  $P=1$  ატმ.— $T=1788$  K) ურთიერთქმედების საწყისი ტემპერატურა და განსაზღვრულია ამავე სისტემაში (6446,3 ატ, 3312,4 K) ნონვარიანტული წერტილების კოორდინატები.

### V. YU. MINDIN

## A SIMPLE METHOD OF DETERMINATION OF COORDINATES OF NONVARIANT AND MONOVARIANT POINTS IN CALCULATIONS OF CHEMICAL EQUILIBRIA IN HETEROGENEOUS SYSTEMS

### Summary

A method for the determination of partial pressures ( $p_j$ ) of „n“ components of gas phase and the total pressure ( $P$ ) of the gas phase of the heterogeneous system formed by «m» species of atoms, containing „k“ condensed components is suggested for the cases  $K=m$  and  $K=m+1$ .

The method uses the concept of the partial contribution of each species of atoms ( $\pi_i$ ,  $i=\overline{1, m}$ ) to the total Gibbs' energy of the system. The values of  $\pi_i$  are found from the solution of a linear system:

$$\sum_{i=1}^m a_{ij} \pi_i = C_j, \quad j = \overline{n+1, n+k}$$



where  $a_{ij}$  is the number of atoms of species „i“ in the j-th component,  
 $C_i = \frac{(G_r^0)_j}{RT}$ , where  $G_r^0$  is the Gibbs' energy of the j-th component in  
the standard state. The partial pressures of gas components and the total  
pressure of the gas phase are calculated from the formulas:

$$p_j = \exp\left(\sum_{i=1}^m a_{ij} \pi_i - C_j\right), \quad P = \sum_{j=1}^n p_j, \quad j = \overline{1, n}$$

Using this method the temperature of the beginning of interaction in  
the „silica-carbon“ system was more accurately defined (at  $P=1$  at, it is  
1788K) and in the same system the coordinates of nonvariant point were  
determined (6446,3 at, 3312,4K).

#### ЛІТЕРАТУРА — REFERENCES

1. Алемасов В. Е., Дрегалин Д. Ф., Тишин А. П., Худяков В. А. Термодинамические и теплофизические свойства продуктов сгорания, М., изд. АН СССР, 1971.
2. Миндин В. Ю., Мазмишвили С. М. ЖПХ, 1983, № 5, 1204.
3. White W. B. J. of Chem. Phys., 1967, v. 46, № 11, 4171.
4. White W. B., Johnson S. M., Dantzig G. B. J. of Chem. Phys., 1958, v. 28, № 5, 751.
5. Гурвич Л. В., Вейц И. В., Медведев В. А. и др. Термодинамические свойства индивидуальных веществ, М., изд. «Наука», т. I—IV, 1978—1982.

УДК 661.871.16

Н. Ш. ГОГИШВИЛИ, Р. И. АГЛАДЗЕ

## ФИЗИКО-ХИМИЧЕСКОЕ ИЗУЧЕНИЕ ОСАДКОВ ЭЛЕКТРОЛИТИЧЕСКОЙ ДВУОКИСИ МАРГАНЦА (ЭДМ)

В работах [1, 2] нами было показано влияние иона  $\text{NH}_4^+$  на состав и качество ЭДМ, полученной из водных растворов сернокислых солей марганца и аммония при одновременном получении электролитического марганца и двуокиси марганца в одном электролизере.

Падение выхода по току, ухудшение качества ЭДМ, резкий рост анодного потенциала и заметное уменьшение величины предельного тока характеризуют процесс получения ЭДМ из марганцево-аммонийных электролитов, содержащих 100—150 г/л  $(\text{NH}_4)_2\text{SO}_4$ .

В настоящей работе предпринята попытка методами рентгенографического анализа идентифицировать изменения кристаллической решетки ЭДМ в зависимости от содержания иона  $\text{NH}_4^+$  в марганцевом электролите при высоких температурах анолита. Одновременно проведены химические и дериватографические исследования образцов, изучены их термоэлектрические свойства.

Электролиз проводился при температуре 95° и анодной плотности тока — 10 мА/см<sup>2</sup>. Анодами служили титано-марганцевые (образцы 1—5, табл. 1) и свинцово-серебряные сплавы (образцы 6, 7, табл. 1) [3].

В качестве катодов использовались пластинки из сплава ЭП—199 [4].

Электролит содержал сульфат марганца (120 г/л) и серную кислоту (20 г/л). Ионы  $\text{NH}_4^+$  вводились в раствор электролита в виде сульфата аммония в количестве от 20 до 150 г/л.

Из данных табл. 2 можно заключить, что присутствие в электролите  $(\text{NH}_4)_2\text{SO}_4$  до 50 г/л не вызывает заметных изменений в содержании  $\text{MnO}_2$  в осадках.

Известно, что  $\text{MnO}_2$  существует в разных аллотропных модификациях [5]. Наиболее эффективна  $\gamma$  —  $\text{MnC}_2$ , но получить гомогенную фазу  $\gamma$  —  $\text{MnO}_2$  очень трудно, так как примеси других фаз снижают ее реактивность.

Рентгенографические исследования полученных нами образцов были проведены на рентгеновском аппарате марки «Дрон—3» при медном излучении.

В табл. 1 приведены данные рентгенографического исследования для образцов ЭДМ, полученных из электролитов с различным соотношением  $\frac{(\text{NH}_4)_2\text{SO}_4}{\text{Mn}}$ .

Тесная связь между теоретической и найденной значениями  $d$ , Å указывает на то, что образцы 1,2 относятся к  $\gamma$  —  $\text{MnO}_2$  [6]. Изменение экспериментальной интенсивности рентгеновских рефлексов, приведенных в табл. 1, позволяет однозначно связывать увеличение относительной интенсивности линий  $\alpha$  —  $\text{MnO}_2$  с возрастанием в электролите содержания  $(\text{NH}_4)_2\text{SO}_4$ . Результаты рентгенографических исследований образцов 3,6 показывают, что они могут быть классифициро-

## Значения межплоскостных расстояний и относительной интенсивности рентгеновских рефлексов для ЭДМ

№№ н/п	образец 1		образец 2		образец 3		образец 4		образец 5		образец 6		образец 7	
	0 г/л, $(\text{NH}_4)_2\text{SO}_4$		20 г/л, $(\text{NH}_4)_2\text{SO}_4$		50 г/л, $(\text{NH}_4)_2\text{SO}_4$		100 г/л, $(\text{NH}_4)_2\text{SO}_4$		150 г/л, $(\text{NH}_4)_2\text{SO}_4$		50 г/л, $(\text{NH}_4)_2\text{SO}_4$		150 г/л, $(\text{NH}_4)_2\text{SO}_4$	
	I	d	I	d	I	d	I	d	I	d	I	d	I	d
1							30	6,94	38	6,96			34	6,92
2							30	4,91	25	4,91			37	4,90
3	29	4,11	42	3,99	45	3,92	35	3,96			45	3,96	24	3,99
4							15	3,53					50	3,11
5					12	3,08	43	3,09	38	3,11				
6							17	2,74						
7			30	2,60										
8	100	2,40	100	2,43	100	2,41					100	2,42	44	2,42
9					70	2,39	100	2,39	100	2,39			100	2,38
10			34	2,34									47	2,14
11							37	2,14	29	2,14				
12	50	2,11	73	2,12	62	2,11					55	2,11	44	2,12
13					17	2,05	19	2,05						
14							12	1,84	40	1,82	38	1,83	32	1,83
15	86	1,62	92	1,63			50	1,63	23	1,64	72	1,63	38	1,63
16			50	1,60	100	1,61								
17						12	1,55			31	1,51		32	1,54
18	19	1,42	27	1,43			30	1,43	31	1,43			25	1,42
19	23	1,36	30	1,36	26	1,36	35	1,36	14	1,36	23	1,36	24	1,35
			32	1,31					15	1,29	30	1,31	13	1,29

ваны как  $\gamma$  —  $MnO_2$  с примесью  $\alpha$  —  $MnO_2$ . Образцы ЭДМ (4, 5, 7) полученные из раствора марганцевого электролита, содержащего 100—150 г/л  $(NH_4)_2SO_4$ , относятся к  $\alpha$  —  $MnO_2$ . На дифрактограммах этих образцов проявляются новые дифракционные максимумы  $d$ , Å 6,96, 3,99, 3,11, характерные для соединений типа криптомелана [4, 5].

Таблица 2

Влияние концентрации иона  $NH_4^+$  в электролите на состав ЭДМ

№№ п/п	Концентрация $(NH_4)_2SO_4$ в электролите, г/л	Анод свинцово-серебряный				Анод титано-марганцевый			
		Мпобий	$MnO_2$ окислен.	$N_2$ , %	$SO_4^{2-}$ , %	Мпобий	$MnO_2$ окислен.	$N_2$ , %	$SO_4^{2-}$ , %
1	0	58,92	89,71	—	0,53	58,44	87,90	—	0,49
2	20	58,83	88,65	0,09	0,51	57,72	86,43	0,10	0,48
3	50	58,47	88,79	0,11	0,53	57,56	86,20	0,10	0,39
4	100	58,00	83,65	0,13	0,49	57,70	84,93	0,13	0,42
5	150	58,14	83,58	0,14	0,52	57,60	82,76	0,13	0,48

В результате изучения термоэлектрических свойств разных образцов ЭДМ с одинаковой степенью отмычки от  $SO_4^{2-}$ -ионов, в зависимости от состава электролита кривые температурной зависимости (рис. 1) показывают, что термо-ЭДС ( $E$ ) падает с ростом в электролите  $(NH_4)_2SO_4$ . Все исследованные образцы проявили электронную проводимость.

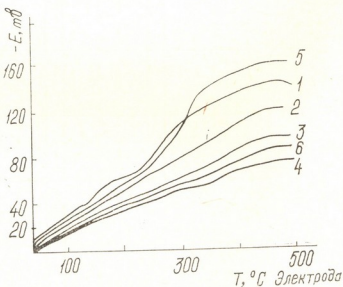


Рис. 1. Температурная зависимость интегральной термо-ЭДС для ЭДМ, полученных из электролитов: 1) 120 г/л  $MnSO_4+20$  г/л  $H_2SO_4$ ; 2) 120 г/л  $MnSO_4+20$  г/л  $H_2SO_4+50$  г/л  $(NH_4)_2SO_4$ ; 3) 120 г/л  $MnSO_4+20$  г/л  $H_2SO_4+100$  г/л  $(NH_4)_2SO_4$ ; 4) 120 г/л  $MnSO_4+20$  г/л  $H_2SO_4+150$  г/л  $(NH_4)_2SO_4$ ; 5) 120 г/л  $MnSO_4+20$  г/л  $H_2SO_4+20$  г/л  $(NH_4)_2SO_4$ ; 6) 120 г/л  $MnSO_4+20$  г/л  $H_2SO_4+150$  г/л  $(NH_4)_2SO_4$ .

Образцы 1—4 (рис. 1) получены на титано-марганцевых анодах, образцы 5, 6 (рис. 1) — на свинцово-серебряных анодах.

Термографическое исследование образцов ЭДМ проводили на дифференциальном термографе марки ОД-103 в интервале температур 0—1000° в воздушной среде. Стандартное сопротивление в цепи ДТА — 1/5, ДТГ — 1/5.

Как видно из рис. 3 и 4, процесс термолиза образцов ЭДМ, полученных из электролитов, содержащих 20—50 г/л  $(\text{NH}_4)_2\text{SO}_4$ , протекает практически аналогично и не отличается от исходной  $\gamma-\text{MnO}_2$  (рис. 2) [7]. Однако следует отметить, что на кривой ДТА (рис. 4) появля-

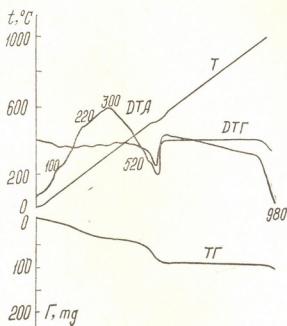


Рис. 2. Дериватограммы (ДТА, ДТГ и ТГ) ЭДМ из электролита; 120 г/л  $\text{MnSO}_4$  + 20 г/л  $\text{H}_2\text{SO}_4$ .

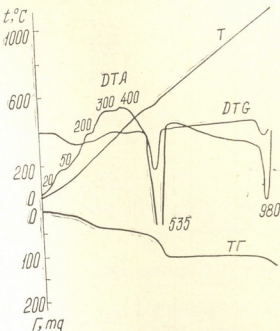


Рис. 3. Дериватограммы (ДТА, ДТГ и ТГ) ЭДМ из электролита; 120 г/л  $\text{MnSO}_4$  + 20 г/л  $\text{H}_2\text{SO}_4$  + 20 г/л  $(\text{NH}_4)_2\text{SO}_4$

ется перелом при 500°, который на последующих дериватограммах (рис. 5, 6) становится более отчетливым с экстремумом при 520° и 510°.

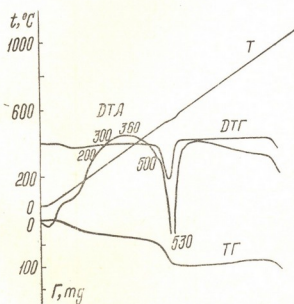


Рис. 4. Дериватограммы (ДТА, ДТГ и ТГ) ЭДМ из электролита: 120 г/л  $\text{MnSO}_4$  + 20 г/л  $\text{H}_2\text{SO}_4$  + 50 г/л  $(\text{NH}_4)_2\text{SO}_4$ .

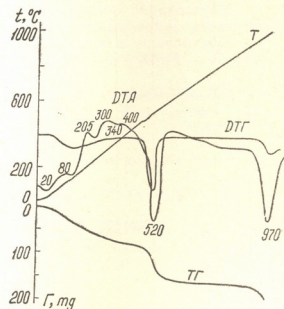


Рис. 5. Дериватограммы (ДТА, ДТГ и ТГ) ЭДМ из электролита: 120 г/л  $\text{MnSO}_4$  + 20 г/л  $\text{H}_2\text{SO}_4$  + 100 г/л  $(\text{NH}_4)_2\text{SO}_4$

По данным литературы [5] наличие этого эффекта объясняется примесью полиперманганата марганца. Появление в образцах этой фазы было зафиксировано рентгенографическим анализом в виде  $\alpha-\text{MnO}_2$  (табл. 1).

Сопоставление кривых рис. 2 и рис. 5, 6 указывает на резкое различие процесса термического превращения исходного образца ЭДМ и образцов ЭДМ, полученных из растворов сернокислых солей марганца и аммония с высоким содержанием  $(\text{NH}_4)_2\text{SO}_4$ . На кривых ДТА

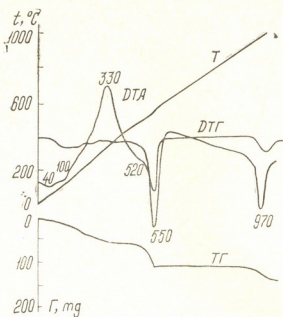


Рис. 6. Дериватограммы (ДТА, ДТГ и ТГ) ЭДМ из электролита: 120 г/л  $\text{MnSO}_4$  + 20 г/л  $\text{H}_2\text{SO}_4$  + 150 т/л  $(\text{NH}_4)_2\text{SO}_4$

(рис. 5, 6) наблюдаются резко выраженные экзотермические эффекты при 300—360°C, отвечающие окислению закиси марганца в адсорбционном комплексе  $\text{MnO}\cdot\text{MnO}_2$  кислородом воздуха [5].

Образование полипермanganита марганца можно объяснить присутствием ионов аммония в электролите для осаждения ЭДМ.

Чем больше в электролите  $(\text{NH}_4)_2\text{SO}_4$ , тем легче происходит переход  $\gamma - \text{MnO}_2$  в  $\alpha - \text{MnO}_2$ .

Институт неорганической  
химии и электрохимии  
АН ГССР

Поступило 19.05.1983

Б. Абдуллаев, Н. Абдуллаев

Институт неорганической химии и электрохимии  
АН ГССР

Рук. Т. С. М.

Абдуллаев Б. Абдуллаев Н. Абдуллаев  
Институт неорганической химии и электрохимии  
АН ГССР

Абдуллаев Б. Абдуллаев Н. Абдуллаев  
Институт неорганической химии и электрохимии  
АН ГССР

Абдуллаев Б. Абдуллаев Н. Абдуллаев  
Институт неорганической химии и электрохимии  
АН ГССР

$\gamma$ -MnO<sub>2</sub>; როდესაც ამონიუმსულფატის ქონცენტრაცია აღწევს 50 გ/ლ, მიიღება  $\gamma$ -MnO<sub>2</sub>; უფრო მაღალ კონცენტრაციებზე (100—150 გ/ლ) კი ფორმირდება  $\alpha$ -MnO<sub>2</sub> მანგანუმის პოლიპერმანგანიტის თანხლებით. მმ ნიმუშების დიფრაქტოგრამაზე შეიმჩნევა კრისტომელანის ტიპის ნაერთებისათვის დამახასიათებელი ახალი დიფრაქტოული მაქსიმუმები.

N. SH. GOGISHVILI, R. I. AGLADZE

## PHYSICO-CHEMICAL STUDIES OF PRECIPITATES OF ELECTROLYTIC MANGANESE DIOXIDE (EMD)

### Summary

The results of physico-chemical studies of electrolytic manganese dioxide precipitates obtained from manganese sulfate in the presence of NH<sub>4</sub><sup>+</sup> ions are presented.

Radiographic and derivatographic studies were carried out in the concentration range of ammonium sulfate 20—150 g/l.

It was found that the EMD modification changed with higher concentrations of (NH<sub>4</sub>)<sub>2</sub>SO<sub>4</sub> in the electrolyte. When (NH<sub>4</sub>)<sub>2</sub>SO<sub>4</sub> content in the solution was 20 g/l,  $\gamma$ -MnO<sub>2</sub> precipitated, when it was 50 g/l, ( $\gamma+\alpha$ )-MnO<sub>2</sub> was formed. At higher concentrations of (NH<sub>4</sub>)<sub>2</sub>SO<sub>4</sub> equal to 100—150 g/l,  $\alpha$ -MnO<sub>2</sub> with an admixture of manganese polypermanganite was formed. On diffractograms of these samples new diffraction maxima, characteristic of compounds of the cryptomelan type, appeared.

### ლიტერატურა — REFERENCES

1. Гогишвили Н. Ш. Сб. Электрохимия марганца, изд. «Мецниереба», Тбилиси, 5, 1975, 187.
2. Гогишвили Н. Ш. Сб. Электрохимия марганца, изд. «Мецниереба», Тбилиси, 7, 1978, 72.
3. Зауташвили Л. А., Агладзе Р. И., Ванидзе К. Ш. Сб. Электрохимия марганца, изд. «Мецниереба», Тбилиси, 6, 1976, 152.
4. Гогишвили Н. Ш., Унгнадзе Э. М. Сб. Электрохимия марганца, изд. «Мецниереба», Тбилиси, 5, 1975, 130.
5. Роде Е. А. Кислородные соединения марганца, изд. АН СССР, М., 1952.
6. Powder Diffraction File, ASTM, 1977.
7. Чагунаева Р. В., Отишвили Д. Г. Тезисы докладов второй республиканской конференции по электрохимии, изд. «Мецниереба», Тбилиси, 1982, 149.



УДК 541.183

О. М. МДИВНИШВИЛИ, Л. В. МАХАРАДЗЕ, Е. А. ХУЧУА

## РЕНТГЕНОГРАФИЧЕСКОЕ И ФИЗИКО-ХИМИЧЕСКОЕ ИССЛЕДОВАНИЕ СИЛИКОФОСФАТНОГО АДСОРБЕНТА

Как было показано в нашей работе [1], синтезированный на основе природного диатомита и фосфорного ангидрида силикофосфатный адсорбент характеризуется высокой ионообменной способностью, однако в определенных условиях силикофосфат гидролизуется, что может привести к частичному разрушению структуры. Поэтому целью наших дальнейших исследований было выяснение влияния pH среды, концентрации растворов и природы анионов различных натриевых солей на степень разрушения кристаллической решетки силикофосфата, синтезированного при различных температурах.

Опыты проводились на образцах силикофосфата, синтезированного при 700° (фаза  $\text{SiO}_2 \cdot \text{P}_2\text{O}_5$ ) и 1000° (фаза  $2\text{SiO}_2 \cdot \text{P}_2\text{O}_5$ ). Использовались растворы хлористого натрия, ацетата натрия, тартрата натрия, карбоната натрия и гидроокиси натрия в пределах концентраций от 0,01 до 1,0 н, а также растворы соляной кислоты различной концентрации, что позволяло изучить поведение силикофосфата в широком интервале pH, при различном составе анионов в растворе. Степень разрушения кристаллического каркаса оценивалась методом количественного рентгенографического анализа на рентгеновском дифрактометре ДРОН-1,5.

На рис. 1а и б показана степень разрушения кристаллической структуры различных фаз силикофосфата под действием растворов различной природы и концентрации. Для оценки степени разрушения структуры нами условно принят фактор кристалличности, представляющий собой изменение интенсивности рефлексов, принятой для исходного образца за 100%. Как видно на этих рисунках, разрушение кристаллической решетки обеих изученных кристаллических фаз усиливается с повышением концентрации растворов, однако характер этих изменений различен. Для более низкотемпературной фазы  $\text{SiO}_2 \cdot \text{P}_2\text{O}_5$  характерна большая устойчивость кристаллической решетки в интервале значений pH от 1,0 до 7,0 и затем резкое уменьшение стабильности структуры с ростом щелочности раствора. Более высокотемпературная фаза  $2\text{SiO}_2 \cdot \text{P}_2\text{O}_5$  характеризуется низкой стабильностью структуры в сильно кислой среде, затем устойчивость структуры возрастает в интервале pH от 2,0 до 5,0, после чего стабильность сильно уменьшается в интервале pH = 5,0—6,5, сохраняет полную устойчивость в узком интервале pH = 6,5—7,5 и резко уменьшается при значениях pH выше 7,5. Нами было высказано предположение, что уменьшение стабильности структуры силикофосфата в интервале pH = 5,0—6,5 является не столько следствием концентрации водородных ионов, сколько влиянием природы аниона соответствующей натриевой соли. Для проверки этого предположения были приготовлены растворы с различными значениями pH, но с использованием только двух веществ — соляной кислоты и едкого натра, когда в

БИОБРАЗОВАНИЕ  
ИЗДЕЛИЙ ПОД  
ВЛИЯНИЕМ

растворах имеются только анионы хлора и гидроксила. Как видно на рисунке 2, при такой обработке силикофосфата (в эксперименте использована менее устойчивая фаза  $2\text{SiO}_2 \cdot \text{P}_2\text{O}_5$ ) его структура подвержена разрушению только в сильно кислой ( $\text{pH} < 2,0$ ) и щелочной

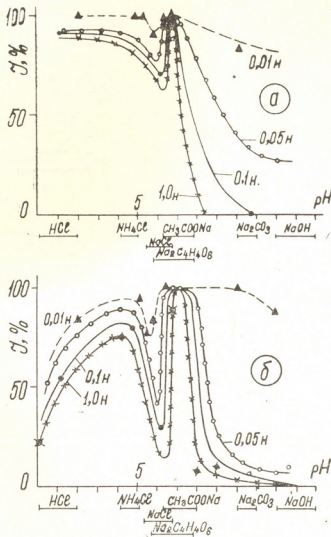


Рис. 1 Изменение содержания кристаллических фаз силикофосфатов состава  $\text{SiO}_2 \cdot \text{P}_2\text{O}_5$  (а) и  $2\text{SiO}_2 \cdot \text{P}_2\text{O}_5$  (б) в зависимости от концентраций и  $\text{pH}$  растворов различной природы.

( $\text{pH} > 9,0$ ) средах. Между этими значениями  $\text{pH}$  силикофосфат даже после трех часов кипячения в соответствующих растворах характеризуется достаточно высокой степенью стабильности (не менее 80%).

На основании полученных данных можно сделать вывод, что на уменьшение стабильности структуры силикофосфатного адсорбента помимо сильнокислотной и щелочной сред существенно влияют также растворы тартрата и ацетата натрия. Если учесть, что все эти факторы оказывают влияние на структуру силикофосфата только при условии кипячения в соответствующих средах, а обработка растворами комнатной температуры очень слабо влияет на уменьшение стабильности структуры (рис. 3), то, меняя температуру, состав и концентрацию обрабатывающих растворов, можно регулировать свойства силикофосфатных адсорбентов. Меняя условия обработки, можно обеспечить различную степень разрушения кристаллической структуры силикофосфата с образованием слабокислотных  $\text{Si}-\text{OH}$  и сильнокислотных  $\text{P}-\text{OH}$  активных центров различной концентрации. Для

оценки свойств силикофосфата, синтезированного при различных температурах, была изучена адсорбционная способность исходных синтезированных образцов, а также подвергнутых слабо щелочной обработке.

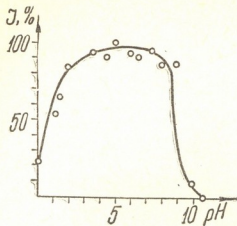


Рис. 2. Влияние кислотности среды на содержание кристаллической фазы силикофосфата  $2\text{SiO}_2 \cdot \text{P}_2\text{O}_5$

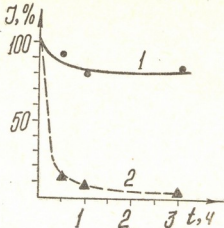


Рис. 3. Влияние времени и условий обработки силикофосфата состава  $2\text{SiO}_2 \cdot \text{P}_2\text{O}_5$  на степень его разрушения. 1 — при комнатной температуре; 2 — при кипячении

( $\text{CH}_3\text{COONa}$ ) обработке, по адсорбции молекул воды, н-гексана и аммиака из газовой фазы и ионов меди из раствора.

Полученные результаты приведены в таблице 1.

Таблица 1

Адсорбционная способность силикофосфата, синтезированного на основе диатомита и фосфорного ангидрида

Температура синтеза силикофосфата, °C	Количество адсорбированного вещества									
	$\text{H}_2\text{O}, \% \text{ P/P}_s 0,1$		$\text{H}_2\text{O}, \% \text{ P/P}_s 1,0$		$\text{n-C}_6\text{H}_{14}, \text{ммоль/г}$		$\text{NH}_3, \text{ммоль/г}$		$\text{C}_4^{2+}, \text{мг-экв/г}$	
	исх.	обраб.	исх.	обраб.	исх.	обраб.	исх.	обраб.	исх.	обраб.
300	1,33	—	20,47	—	1,84	—	17,23	—	1,7	4,0
700	4,25	—	24,15	—	2,07	—	10,19	—	—	8,8
1000	2,70	0,58	21,60	6,70	1,10	0,54	6,86	5,41	1,2	12,0

Как видно из этой таблицы, при адсорбции из газовой фазы молекул воды и н-гексана наиболее высокими показателями характеризуется образец силикофосфата, синтезированный при 700°, однако адсорбция молекул аммиака с увеличением температуры синтеза адсорбента уменьшается. Наоборот, адсорбция ионов меди из раствора сульфата меди с концентрацией 200 мг/л увеличивается с ростом температуры синтеза силикофосфата.

Необходимо отметить, что опыты по адсорбции ионов железа из раствора не дали положительных результатов. Это говорит о высокой селективности синтезированных сорбентов и возможности поглощения меди из растворов, содержащих медь и железо. Полученные данные представляют, по нашему мнению, интерес с точки зрения возможности получения на основе диатомита и окислов неметаллов новых по строению, составу и свойствам адсорбентов.

Кавказский институт минерального сырья  
(КИМС)

Поступило 28.10.1983

ცილიკოფოსფატური ადამიანურის რეაქციების გამოკვლევა  
და ფიზიკურ-კიბიური გამოკვლევა

### რეზიუმე

შესწავლილია pH-ის ფართო დიაპაზონის მომცველი სხვადასხვა კონცენტრაციის სხნარების გავლენა სინთეზირებული სილიკოფოსფატის  $\text{SiO}_2 \cdot \text{P}_2\text{O}_5$  და  $2\text{SiO}_2 \cdot \text{P}_2\text{O}_5$  შედგენილობის კრისტალური ფაზის სტრუქტურის სტაბილურობაზე.

დადგენილია, რომ pH 2-9 მნიშვნელობისას შეინიშნება  $2\text{SiO}_2 \cdot \text{P}_2\text{O}_5$  სტრუქტურული ფაზის ძლიერი დაშლა.  $\text{SiO}_2 \cdot \text{P}_2\text{O}_5$  ფაზისათვის იგივე პროცესი შეინიშნება მხოლოდ ტუტე არეში.

ნაჩვენებია, რომ სილიკოფოსფატზე ნატრიუმის ტარტრატისა და აცეტატის სხნარების ურთიერთქმედებისას შეინიშნება მისი ნაწილობრივი ჰიდროლიზი, განსაკუთრებით ინტენსიურად  $2\text{SiO}_2 \cdot \text{P}_2\text{O}_5$  ფაზის შემთხვევაში.

შესწავლილია სხვადასხვა ტემპერატურაზე სინთეზირებული საწყისი და დამუშავებული სილიკოფოსფატის აღსორბციული უნარი წყლის ორთქლის, მიაკიას, ნ-ჰექსანისა და სპილენდის ინების მიმართ.

O. M. MDIVNISHVILI, L. V. MAKHARADZE, E. A. KHUCHUA

### RADIOGRAPHIC AND PHYSICO-CHEMICAL STUDIES OF SILICOPHOSPHATE ADSORBENT

#### Summary

The effect of solutions of acids, salts and alkalis of various concentrations from 0,01N to 1,0 N, covering a wide range of pH, on the stability of the structure of crystalline phases of silicophosphate was studied. The compositions of silicophosphate were  $\text{SiO}_2 \cdot \text{P}_2\text{O}_5$  synthesized on the basis of diatomite and phosphoric anhydride, respectively, at 700°C and 1000°. It was found that at pH lower than 2,0 and higher than 9,0 a deep destruction of  $2\text{SiO}_2 \cdot \text{P}_2\text{O}_5$  phase structure was observed. The deep destruction of  $\text{SiO}_2 \cdot \text{P}_2\text{O}_5$  phase structure was observed only in an alkaline medium. It was shown that hydrolytic splitting of Si—O—P bonds in the pH range 5,0—6,5, especially intensive in the case of  $2\text{SiO}_2 \cdot \text{P}_2\text{O}_5$  phase, occurred under the action of sodium tartrate and acetate on silicophosphate. The adsorption ability of the initial and treated samples of silicophosphate, synthesized at various temperatures, on water vapours, ammonia, and n-hexane and also copper ions, was studied.

#### ლიტერატურა — ЛИТЕРАТУРА — REFERENCES

1. მდივნიშვილი Օ. მ., მახარაძე ლ. ვ., ხუჭა ე. ა. იზ. ა. ნ. ს. 1985, 11, 3, 204.

## ТЕХНОЛОГИЯ

УДК 66.097.3(088.8)

Л. И. ГВАСАЛИЯ, Н. А. ДЖВАРЕЛИЯ

### ОПТИМИЗАЦИЯ ПРОЦЕССА ОКИСЛЕНИЯ ОКСИДА(II)УГЛЕРОДА НА НАНЕСЕННОМ МЕДЬХРОММАРГАНЦЕВОМ КАТАЛИЗАТОРЕ

В настоящее время из разных способов очистки отработанных газов двигателей внутреннего сгорания наиболее эффективным является метод катализитического окисления. Для осуществления указанного процесса применимы множество катализаторов с различной вариацией носителей и активных компонентов. Большая часть катализаторов содержит дорогостоящие и дефицитные компоненты (Pt, Pd) [1, 2], чем и обусловлено их ограниченное применение. Поэтому большое значение имеет разработка активных катализаторов для безвредивания выхлопных газов промышленности (содержащих оксид (II) углерода) и двигателей внутреннего сгорания на базе более дешевых материалов.

С этой точки зрения определенный интерес представляет медьхроммарганцевый катализатор на шамотном носителе [3] следующего состава (вес. %): CuO — 1,4—3,5; MnO<sub>2</sub> — 10,1—11,6; Cr<sub>2</sub>O<sub>3</sub> — 1,3—2; носитель — остальное. Активность катализатора испытывалась на проточной лабораторной установке с использованием искусственной газовой смеси, исходный и конечный составы которой определялись на хроматографе ЛХМ—8Д. Активность образцов катализатора в реакции окисления оценивалась степенью превращения оксида (II) углерода и рассчитывалась по уравнению:

$$\alpha = \frac{100(V - d)}{V(100 + d)}, \quad (1)$$

где V и d — начальное и остаточное содержание оксида (II) углерода.

Для определения оптимальных параметров процесса окисления (температура, объемная скорость, соотношение O<sub>2</sub>:CO) было применено математическое планирование. На первом этапе для линейного описания степени окисления оксида (II) углерода был использован полный факторный эксперимент типа 2<sup>3</sup>. Условия и матрица планирований полного факторного эксперимента приведены соответственно в таблицах 1 и 2.

Таблица 1

Условия планирования эксперимента

Факторы	-1	0	+1	Интервал варьирования, Δр
T	200	300	400	100
V	20000	30000	40000	10000
n	0,5	1	1,5	0,5

За исходную точку исследования была принята точка с координатами:  $T_0 = 300^\circ$ ;  $V_0 = 30000 \text{ час}^{-1}$ ;  $n_0 = 1$ . Матрица планирования представляет собой таблицу действительных и кодированных значений варьируемых факторов и содержит всевозможные комбинации уровней варьирования факторов. Переход от натуральных переменных  $T$ ,  $V$ ,  $n$  к безразмерным кодированным  $X_1$ ,  $X_2$ ,  $X_3$  осуществлялся согласно условиям кодирования.

$$X_1 = \frac{T - 300}{100}; \quad X_2 = \frac{V - 30000}{10000}; \quad X_3 = \frac{n - 1}{0,5} \quad (2)$$

Опыты рандомизировались во времени. Результаты опытов приведены в таблице 2, столбец  $y^0$ .

Таблица 2

Матрица планирования в кодированных переменных

$z_1$	$z_2$	$z_3$	$x_0$	$x_1$	$x_2$	$x_3$	$y_0$
200	20000	0,5	+1	-1	-1	-1	63,1
400	20000	0,5	+1	+1	-1	-1	64,3
200	40000	0,5	+1	-1	+1	-1	59,7
400	40000	0,5	+1	+1	+1	-1	64,7
200	20000	1,5	+1	-1	-1	+1	76,5
400	20000	1,5	+1	+1	-1	+1	88,5
200	40000	1,5	+1	-1	+1	+1	73,4
400	40000	1,5	+1	+1	+1	+1	81,2

По данным полного факторного эксперимента были рассчитаны коэффициенты линейного регрессионного уравнения в кодированных переменных

$$Y = 70,8 + 6,3X_1 - 2,3X_2 + 7,85X_3 + 0,57X_1X_2 + 0,35X_1X_3 + 0,3X_2X_3 + 0,37X_1X_2X_3 \quad (3)$$

Проверка полученного регрессионного уравнения на адекватность осуществляется по F-критерию. Оценка дисперсии опыта  $S^2\{y\}$  вычислена по данным четырехкратного повторения опытов в центре плана, равнялась 0,7. Так как расчетное значение критерия Фишера  $F_p = 9,05$  меньше критического  $F_{0,05} = 9,12$  [4], следовательно уравнение (3) адекватно описывает изучаемый процесс. Исключая из уравнения (3) незначимые коэффициенты, получим линейное уравнение

$$Y = 70,8 + 6,37X_1 - 2,3X_2 + 7,85X_3 \quad (4)$$

Из уравнения (4) следует, что с увеличением температуры и соотношения  $O_2 : CO$  и с уменьшением объемной скорости степень превращения оксида (II) углерода будет увеличиваться.

Поскольку процесс описывается линейным уравнением, для нахождения области оптимума целесообразно применение метода кругового восхождения. Расчет направления кругового восхождения производился согласно известной методике [5] с использованием шагового процесса движения. Условия нового плана представлены в таблице 3.

Экспериментальная проверка восьми точек линий кругового восхождения показала, что наилучший результат 91,8% достигается во второй точке при  $T = 363,7^\circ$ ;  $V = 27700 \text{ ч}^{-1}$ ,  $n = 1,4$ . Полученная наилучшая точка была принята за центр нового плана, условия которого представлены в таблице 4, а условия для кодированных переменных — в таблице 5.

Реализация крутого восхождения

Интервал варьирования и уровень факторов	$x_1$	$x_2$	$x_3$	$y, \%$
Основной уровень $Ox_1$	300	30000	1	89,2
Интервал варьирования $\varepsilon_1$	100	10000	0,5	—
Коэффициент регрессии $E_1$	+6,37	-2,3	+7,85	—
Произведение $E_1 \times b_1$	637	23000	3,9	—
Шаг $\varepsilon_1 \times b_1/10$	63,7	2300	0,4	—
Опыты	2	363,7	27700	1,4
	3	427	24400	1,8
	4	480	23100	2,2
	5	543	20800	2,6
	6	607	18500	3
	7	671	16200	3,4
	8	734	13900	3,8

Таблица 4

Условия планирования для переопределения направления крутого восхождения

Факторы	-1	0	+1	Интервал варьирования, $\Delta p$
T	320	360	400	40
V	25000	28000	31000	3000
n	1	1,4	1,8	0,4

Таблица 5

План второй серии опытов и результаты опытов

Опыт	$x_1$	$x_2$	$x_3$	$y, \%$
1	-1	-1	-1	92,43
2	+1	-1	-1	90,65
3	-1	+1	-1	89,90
4	+1	+1	-1	90,1
5	-1	-1	+1	93,8
6	+1	-1	+1	92,9
7	-1	+1	+1	92,38
8	+1	+1	+1	91,42

По данным этого плана были рассчитаны коэффициенты регрессии и получено новое регрессионное уравнение в кодированных переменных

$$Y = 91,7 - 0,43X_1 - 0,74X_2 + 0,98X_3 + 0,024X_1X_2 + 0,012X_2X_3 + 0,035X_1X_3 + 0,25X_1X_2X_3 \quad (5)$$

Это уравнение адекватно описывает экспериментальные данные, однако коэффициент  $B_1 = -0,43$  является незначимым, т. к. по величине он меньше доверительного интервала. Это означает, что в данном интервале (320—400°) влияние температуры на степень превращения незначительно. После исключения незначительных коэффициентов парного взаимодействия уравнение регрессии примет следующий вид

$$Y = 91,7 - 0,74X_2 + 0,98X_3 \quad (6)$$

По всей вероятности, исходная точка для переопределения крутого восхождения находится в почти стационарной области, для которой был реализован ротатабельный центральный композиционный план

УДК 66.04.01.01.01.01

второго порядка. К реализованному на предыдущем этапе полному факторному эксперименту добавлены «звездные точки» в центре плана. План второго порядка и результаты опытов приведены в таблице 6.

Таблица 6

План второго порядка и результаты опытов

N	$x_0$	$x_1$	$x_2$	$x_3$	$x_1^2$	$x_2^2$	$x_3^2$	$x_1x_2$	$x_1x_3$	$x_2x_3$	y, %
1	+1	-1	-1	-1	+1	+1	+1	+1	+1	+1	92,43
2	+1	+1	-1	-1	+1	+1	+1	-1	-1	+1	90,65
3	+1	-1	+1	-1	+1	+1	+1	-1	+1	-1	89,9
4	+1	+1	+1	-1	+1	+1	+1	+1	-1	-1	90,1
5	+1	+1	-1	+1	+1	+1	+1	+1	-1	-1	93,8
6	+1	+1	-1	+1	+1	+1	+1	-1	+1	-1	92,8
7	+1	-1	+1	+1	+1	+1	+1	-1	-1	+1	92,38
8	+1	+1	+1	+1	+1	+1	+1	+1	+1	+1	91,42
9	+1	-1,682	0	0	2,829	0	0	0	0	0	93,27
10	+1	+1,682	0	0	2,829	0	0	0	0	0	94,21
11	+1	0	-1,682	0	0	2,829	0	0	0	0	93,5
12	+1	0	+1,682	0	0	2,829	0	0	0	0	92,8
13	+1	0	0	-1,682	0	0	2,829	0	0	0	91,6
14	+1	0	0	+1,682	0	0	2,829	0	0	0	93,56
15	+1	0	0	0	0	0	0	0	0	0	93,42
16	+1	0	0	0	0	0	0	0	0	0	93,4

По данным этого плана по формулам, приведенным в [5], были рассчитаны коэффициенты регрессионного уравнения второй степени

$$Y = 93,27 - 0,13X_1 - 0,5X_2 + 0,72X_3 + 0,23X_1X_2 - 0,03X_1X_3 + \\ + 0,021X_2X_3 - 0,2X_1^2 - 0,19X_2^2 + 0,15X_3^2 \quad (7)$$

В полученном уравнении незначительными оказались все коэффициенты регрессии кроме  $B_3 = 0,72$ , поэтому в качестве математической модели была принята формула

$$Y = 93,27 + 0,72 X_3 \quad (8)$$

Для оптимизации степени превращения было реализовано однофакторное краткое восхождение, результаты которого представлены в таблице 7

Таблица 7  
Оптимизация степени превращения оксида углерода (II)

T	V	n	y, %
340	28000	1.4	94.21
340	28000	1.67	94.5
340	28000	1.94	93.9
340	28000	2.21	93.8

Поскольку после опыта 2 степень превращения не увеличивается, можно заключить, что оптимальная точка окисления оксида (II) углерода характеризуется координатами:  $T = 340^\circ$ ,  $V = 28000$  час $^{-1}$ ,  $n = 1,67$ .

ՀԵՂՈՎՐԾԵ

მათემატიკური დაგეგმვის მეთოდის გამოყენებით დადგენილია ნახშირბადის ოქსიდას (II) დაუანგვის პროცესის ოპტიმალური პარამეტრები (ტემპერატურა, მოცულობითი სიჩქარე, უანგბალ-ნახშირბადის ოქსიდის (II) თანაფარილება).

გარდავმნის ხარისხის ოპტიმიზაციისათვის ჩეალიზებულია ერთფაქტო-რიანი უსწრობების სივრცა.

ჩატარებული კვლევის საფუძველზე დაღვენილი დაფუძნილი ტიპის სპილეონ-ქრომ-მანგანუმინან კატალიზტორზე ნახშირბადის ოქსიდის (II) დაფანგის აოტორიალური წერტილები:  $T = 340^\circ$ ,  $V = 28000 \text{ Ст}^{-1}$ ,  $n = 1.67$ .

L. I. GVASALIYA, N. A. JVARELIA

## OPTIMIZATION OF THE PROCESS OF CARBON MONOXIDE OXIDATION ON THE COPPER-CHROMIUM-MANGANESE CATALYST

## Summary

The mathematical planning has been used for the determination of the optimum parameters of the process of carbon monoxide oxidation (temperature—T, volume velocity—V, the ratio  $O_2 : CO$ , n). In the first stage a complete factor experiment of the type  $2^3$  was used for the linear description of the process. The starting point and the variation interval were determined on the basis of the previous experiments. The obtained regressive equation showed that the degree of carbon monoxide conversion increased with the temperature—T, rise and increase of ratio  $O_2 : CO$  and with decreasing volume velocity—V. The method of steep ascent was used for increasing of the degree of conversion. This method has shown that in the temperature range  $320 - 400^\circ$  the effect of temperature on the degree of conversion is negligible.

Then a rotatable central composition plan of the second order was used for increasing of the degree of conversion, and on its basis a mathematical model of the oxidation process was deduced:

$$Y = 93,27 + 0,72X_3$$

A single factor steep ascent was realized for optimization of the degree of conversion. As a result a conclusion can be drawn that the optimum points are:  $T = 340^\circ$ ;  $V = 28000 \text{ hour}^{-1}$ ,  $n = 1,67$ .

#### ЛІТЕРАТУРА — REFERENCES

1. Заявка № 52—64950 (Япония). Катализатор окисления CO до CO<sub>2</sub> (Каизо Нисиро, Сэкимити Осаму) — опубл. 26.12.78.
2. Попова Н. М., Льдокова Г. М., Сокольский Д. В. В кн.: Труды Советско-французского семинара по катализу, Тбилиси, 1978, с. 66—70.
3. Гвасалия Л. И., Эрадзе Л. Д., Джварелия Н. А. Положительное решение по заявке № 3554085/23—04 (195026) от 15.12.83.
4. ჭედები ა. ტექნოლოგიური პრცესების ოპტიმიზაცია. თბილისი, „მეცნიერება“, 1969, 109.
5. Налимов В. В., Чернова Н. А. Статистические методы планирования экстремальных экспериментов, М., изд. «Наука», 1965, 340.



УДК 678.74 : 678.84

В. Я. БУЛГАКОВ, А. А. ГЕЛУТАШВИЛИ, Л. М. ХАНАНАШВИЛИ

## ПЕРЕРАБОТКА ВТОРИЧНОГО ПОЛИЭТИЛЕНА МЕТОДОМ ХИМИЧЕСКОЙ МОДИФИКАЦИИ

Сырьевые ресурсы отходов термопластов в нашей стране огромны. Например, отходы только полиэтилена по всей стране ежегодно составляют десятки тысяч тонн. Поэтому нахождение путей их регенерации является важной народнохозяйственной задачей.

Прямая переработка отходов полиэтилена экономически нецелесообразна в связи с очень низким качеством получаемых на их основе изделий. Одним из способов повышения качества вторичного полиэтилена является его химическая модификация кремнийорганическими соединениями [1].

Проведенные нами исследования процесса химической модификации полиолефинов различными кремнийорганическими мономерами и олигомерами [1-5] позволили разработать не только новый путь химической модификации полиолефинов кремнийорганическими соединениями, но и решить вопрос их регенерации [6].

Установленный механизм реакции модификации показывает возможность образования в полимерах по их функциональным группам межмолекулярных мостиковых Si—O—Si связей, приводящих к значительному изменению физико-механических и химических свойств полимеров [1, 2]. А так как во «вторичных» полимерах высокое содержание функциональных групп обеспечивается процессами окислительной деструкции, то образование межмолекулярных Si—O—Si связей по указанным группам «сшивает» разрушенные молекулярные системы, восстанавливая как их эластичность, так и механическую прочность.

В то же время высокая энергия силоксановой связи приводит к повышению теплостойкости модифицированных полимеров и их устойчивости к различным процессам окислительной деструкции [3].

Путем подбора кремнийорганических модификаторов с различными функциональными группами и специальными активирующими добавками можно получать полимерные композиции как с повышенной жесткостью и механической прочностью, так и с повышенной эластичностью [4].

Восстановленные химической модификацией «вторичные» полиолефины могут быть переработаны в изделия любым промышленным методом переработки пластмасс.

При исследовании процессов регенерации вторичных полимеров кремнийорганическими соединениями была разработана опытно-промышленная технология производства высококачественного гранулированного сырья на основе отходов полиэтилена (рис. 1).

Технологический процесс регенерации состоит из следующих стадий:

1. сортировка, дробление и отмывка отходов полиэтилена;
2. обработка отходов в модифицирующей среде при температуре 90–100° в течение 4–6 час (диффузный метод модификации);

3. сушка модифицированных отходов методом центрифугирования
4. перегрануляция модифицированных отходов.

На основе полученного сырья может быть осуществлен выпуск труб, емкостей, тары, деталей вентиляторов и других изделий, необходимых народному хозяйству.

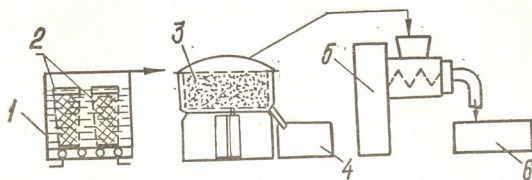


Рис. 1. Технологическая схема модификации полиэтилена: 1 — ванна для термообработки; 2 — корзины из латунной или стальной сетки для гранул; 3 — центрифуга типа «ТВ» (ГОСТ 8340—57); 4 — приемник жидкости; 5 — червячный гранулятор; 6 — приемник гранул

Свойства регенерированного сырья позволяют значительно расширить область применения изделий на его основе. Так, трубы из регенерированного полиэтилена могут эксплуатироваться в интервале температур  $-70 + 120^\circ$  и при контакте с высокоагрессивными средами, что позволяет рекомендовать их для замены стальных труб в горячем водоснабжении, при транспортировке высокоагрессивных геотермальных вод, в химических производствах. Повышенная механическая прочность и устойчивость к биологической коррозии регенерированного полистилена позволяет освоить выпуск на его основе напорных дренажных труб для мелиорации.

Выбор изделий, производимых из регенерированных вторичных полимеров, определяется прежде всего технологическими параметрами сырья.

Так как в отходы попадают полимеры различного состава и строения, модификация таких отходов приводит к получению рабочих композиций с широким диапазоном свойств. Исследованиями установлено, что в качестве предопределяющего параметра свойств получаемых композиций с достаточной точностью может быть принят показатель текучести расплава. В таблице 1 приведены свойства регенерированного полистилена в зависимости от показателя текучести расплава исходного сырья.

Как видно из данных табл. 1, регенерацию сырья с высоким показателем текучести расплава более целесообразно проводить кремнийорганическим модификатором ГКЖ-94, содержащим активирующий комплекс.

Помимо твердофазной диффузной модификации изучен процесс модификации вторичного полистилена в растворе толуола. В этом случае молекулы модификатора контактируют не со структурными образованиями полимера, а непосредственно с его макромолекулами, что приводит к значительному увеличению содержания привитых сиloxановых групп и более равномерному их распределению. Технологический процесс заключается в следующем: раздробленные и отмытые отходы полистилена загружаются в реактор с мешалкой, содержащий растворитель. Основным условием при выборе растворителя является его химическая инертность по отношению к полимеру.

Физико-механические свойства немодифицированного и модифицированного  
полиэтилена

Состав полимера	Индекс текучести расплыва, г/10 мин	Физико-механические свойства		
		$\sigma$ раст, МПа	1, %	теплостойкость, °C по ВИКа
Отходы полиэтиленовой пленки с/х: а. немодифицированные	0,2—0,3	12—13	40—50	60—70
	0,4—0,5	11—12	60—80	60—70
	0,6—0,7	10—11	80—120	50—60
	0,8—1,0	8—10	120—140	50—60
б. модифицированные олигоэтилгидросилоксановой жидкостью (ГКЖ-94)	0,2—0,3	15—16	110—130	90—100
	0,4—0,5	14—15	140—170	90—100
	0,6—0,7	13—14	170—210	80—90
	0,8—1,0	11—12	220—260	70—80
в. модифицированные ГКЖ-94 в присутствии активирующего комплекса: дифенилсиландиол — дифенилгуанидин-ферроцен	0,07—0,08	16—18	90—100	100—110
	0,09—0,1	15—16	110—120	100—110
	0,2—0,3	14—15	120—140	100—120
	0,4—0,5	12—14	140—160	100—120
	0,6—0,7	12—14	160—180	100—110
	0,8—1,0	12—14	180—220	90—100

При температуре 100 + 120° и интенсивном перемешивании полимер переводится в раствор и затем в него вводятся кремнийорганические модификаторы в количествах, обеспечивающих практически полное поглощение их полимером. Выдерживание полученного раствора при заданной температуре производится в течение 120 мин, и далее раствор подается в холодную воду, содержащую 0,5% масс. поверхностно-активных веществ. Подача раствора в воду осуществляется при интенсивном перемешивании, что обеспечивает диспергирование частиц выделяющегося полимера. Далее полимер отделяется от растворителя вакуум-фильтрацией, промывается инертным растворителем, горячей и холодной водой и высушивается в вакуум-сушильном шкафу при температуре 60 + 70°.

Дисперсность полученного порошка не должна превышать 20 мкм.

Указанный порошок может быть использован как для переработки в изделия методом ротационного формования, так и для нанесения защитно-декоративных покрытий методом электростатического напыления.

Нами проведены исследования порошковых композиций на основе вторичного полиэтилена следующих составов (таблица 2).

Таблица 2

Состав порошковых композиций

Состав композиций	Содержание компонентов, в весовых частях			
	номера рецептов			
	1	2	3	4
Полиэтилен низкой плотности (исходный)	100	—	—	—
Полиэтилен низкой плотности (вторичный)	—	100	100	100
Полиэтилгидросилоксановая жидкость (ГКЖ-94)	—	—	2	2
Дифенилсиландиол	—	—	—	0,5
Дифенилгуанидин	—	—	—	1
Ферроцен	—	—	—	5
Оксид цинка	5	5	5	5

Свойства покрытий на основе порошковых композиций из вторичного полиэтилена приведены в таблице 3. Для сравнения там же приведены свойства покрытий на основе исходного полиэтилена.

Таблица 3

Свойства покрытий на основе порошковых композиций из вторичного полиэтилена

Показатели	№№ рецептов			
	1	2	3	4
$\sigma$ раст., МПа	5,5—10,0	7,0—8,8	11,0—12,0	12,0—14,0
$\epsilon$ , %	19,0—20,0	5,0—6,0	50,0—60,0	8,0—10,0
Термостабильность, °С (устойчивость к термодеструкции)	160	120	220	270
Устойчивость к удару, не менее	5	5	5	5
Эластичность по Эриксену, мм	10	8—9	10	8—10
$\sigma$ изг. (по ШГ—1), мм	1	1	1	1
Адгезия методом отслаивания, г/см	200	20	250	600

Как видно из данных табл. 3, пленка покрытия на основе композиции из вторичного регенерированного полиэтилена обладает как повышенной прочностью, так и более высокой эластичностью по сравнению с пленкой покрытия из вторичного нерегенерированного полиэтилена.

Кроме этого, покрытие на основе вторичного полиэтилена, модифицированного олигоэтилгидросилоксановой жидкостью (ГКЖ-94) в присутствии структурирующего комплекса (рецепт 4), обладает адгезией, в 30 раз превышающей величину адгезии покрытия на основе вторичного полиэтилена и в 3 раза — величину адгезии исходного полиэтилена. Это же покрытие обладает наиболее высокой термостабильностью.

Таким образом, методом химической модификации олигоэтилгидросилоксановой жидкостью в присутствии активирующих добавок и без них осуществлена регенерация отходов полиэтилена и на их основе разработана опытно-промышленная технология производства высококачественного гранулированного сырья.

Тбилисский государственный университет,

СКТБ НПО «Лакокраскопокрытие»,

Грузинский научно-исследовательский институт  
гидротехники и мелиорации

Поступило 28.07.1983

3. გულგარები, ა. გვერდაშვილი, ლ. ხანანავიძე

თეორიული კოდინილაციის გადამუშავება კიბიური  
მოდიფიკაციის მთლიანობა

რეზიუმე

ნაჩვენებია, რომ „მეორეული“ პოლიმერები შეიცავენ ფუნქციონალურ ჯგუფებს, რომლებიც უანგვითი დესტრუქციის პროცესების შედეგად წარმოიქმნება. ამგარი რეაქციის უნარიანი ჯგუფები ურთიერთქმედებენ სილიკაუმორგანულ ნაერთებთან, რომელთა მოლეკულებში რეაქციის უნარიანი ჯგუფებია. რეაქციის შედეგად პოლიმერების მაკრომოლეკულები ერთმანეთთან

საქართველოს  
მეცნიერებათა  
აკადემია

Si—O—Si ბმების შემცველი მოლეკულათშორისი ხიდებით არიან დაკავშირდება ბული. ამგვარი მოდიფიკაციის შედეგად პოლიმერების ქიმიური და ფიზიკური ქიმიური თვისებები მნიშვნელოვნად იცვლება.

V. YA. BULGAKOV, A. A. GELUTASHVILI, L. M. KHANANASHVILI

## REPROCESSING OF SECONDARY POLYETHYLENE BY CHEMICAL MODIFICATION METHOD

### Summary

Regeneration of polyethylene scraps was practised by method of chemical modification with oligoethylhydrosiloxane liquid in the presence of active addition and without them.

On the base of this regeneration the experiment-industrial technology of high-qualitative granular raw material production is worked out.

### ЛІТЕРАТУРА — REFERENCES

1. Андрианов К. А., Булгаков В. Я., Хананашвили Л. М. Ж. Пластмасы, 1968, № 7, 12.
2. Andrianov K. A., Gul V. E., Khananashvili L. M., Bulgakov V. Ya.- International Symposium on Macromolec. Chem., Budapest, JUPAC, 1969, 4, 195.
3. Андрианов К. А., Гуль В. Е., Хананашвили Л. М., Булгаков В. Я. Изв. АН СССР, сер. хим., 1970, № 4, 797.
4. Khananashvili L. M., Kestelman W. K., Bulgakov V. Ya., Negmatov S. Plaste und Kautschuk, 1979, 26, № 11, 628,
5. Andrianov K. A., Gul V. E., Khananashvili L. M., Bulgakov V. Ya. Plaste und Kautschuk, 1980, 27, № 9, 499.
6. Гелуташвили А. А., Булгаков В. Я. Информ. ГрузНИИТИ, сер. хим. пром., 1981, № 2.
7. Андрианов К. А., Булгаков В. Я., Гуль В. Е., Елагина А. Н., Новиков В. У., Троицкий Н. Д. Труды ВНИИКП, М., изд. «Энергия», вып. 18, 1972, 186.
8. Булгаков В. Я., Гуль В. Е. Тезисы докладов симпозиума «Синтез, модификация и переработка полиолефинов», Баку, изд. АН Аз. ССР, 1967, с. 106.

## КРАТКИЕ СООБЩЕНИЯ

УДК 621.357.7

Р. И. АГЛАДЗЕ, И. Г. ШАВОШВИЛИ, И. Г. ГВАЛИЯ, О. С. САДУНИШВИЛИ

### ВЛИЯНИЕ ЩАВЕЛЕВОЙ КИСЛОТЫ НА ПРОЦЕСС МАРГАНЦЕВАНИЯ

В процессе получения гальванических покрытий марганцем на аноде образуется анодный шлам в виде диоксида марганца, что чревато осложнениями при эксплуатации гальванической ванны: увеличивается сопротивление электролита, растут потери как электроэнергии, так и ионов марганца. Кроме этого, выделяемый диоксид марганца заполняет электролизер и создает необходимость фильтрации электролита. Вопрос предотвращения образования анодного шлама в процессе марганцевания является весьма актуальным.

Целью настоящей работы является изыскание путей исключения накопления в электролизере анодного шлама без изменения основных характеристик процесса марганцевания. Известно, что предотвращение образования анодного шлама в гидроэлектрометаллургии марганца может быть достигнуто добавкой щавелевой кислоты [1, 2]. Ввиду сходства анодных процессов при марганцевании и гидроэлектрометаллургическом получении марганца, нами были изучены специфические условия применения щавелевой кислоты в процессе электроосаждения марганцевых гальванопокрытий.

Исследование проводилось в ячейке емкостью 500 мл с анодами из свинца. Электролит перемешивался с помощью магнитной мешалки; pH электролита поддерживался с помощью блока автоматического титрования введением раствора едкого натра. Во всех опытах применялся электролит марганцевания, приготовленный из солей марки «ч», следующего состава (г/л): Mn — 30,  $(\text{NH}_4)_2\text{SO}_4$  — 150,  $(\text{NH}_4)_2\text{SeO}_4$  — 0,33, поскольку электролит этого состава применяется для получения гальванопокрытий марганца [3, 4].

Результаты исследования (табл. 1) показали, что уменьшение значения pH электролита марганцевания в присутствии щавелевой кислоты уменьшает образование анодного шлама и полностью предотвращает его при pH=3. В первом приближении этот факт можно было бы объяснить тем, что при малой кислотности электролита основная реакция  $\text{MnO}_2 + \text{H}_2\text{C}_2\text{O}_4 + \text{H}_2\text{SO}_4 = \text{MnSO}_4 + 2\text{H}_2\text{O} + 2\text{CO}_2$  подавлена; с увеличением кислотности электролита реакция будет облегчена. В действительности, отсутствие стехиометрии между уменьшением количества образующегося диоксида марганца и вводимой щавелевой кислоты предполагает наличие более сложного механизма этого процесса. Исходя из данных табл. 1, оптимальным значением pH можно считать pH = 3.

Были изучены также зависимости выхода по току марганца от концентрации щавелевой кислоты в электролите при постоянном pH=3 и влияние плотности тока на выход по току марганца в присутствии щавелевой кислоты в количестве 1 г/л (рис. 1). Исследования показали, что увеличение концентрации щавелевой кислоты, как и в гидрометаллургическом процессе, незначительно меняет выход по току марганца, а с повышением плотности тока увеличивается выход по току марганца.

Академия  
наук СССР

В практике получения марганцевых гальванопокрытий часто прибегают к условиям нестационарного электролиза. Это заключается в том, что электролиз начинают при  $\text{pH}=7$  и прекращают при достижении

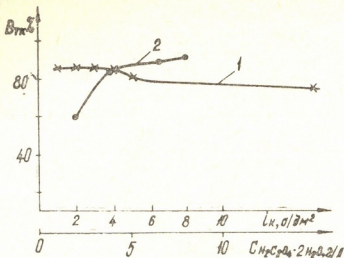


Рис. 1. Зависимость выхода по току марганца: 1—от концентрации щавелевой кислоты, 2—от плотности катодного тока

Таблица 1

Показатели работы ванны марганцевания

Состав электролита (г/л):  $\text{Mn} = 30$ ,  $(\text{NH}_4)_2\text{SO}_4 = 150$ ,  $(\text{NH}_4)_2\text{SeO}_4 = 0,33$ ,  $\text{H}_2\text{C}_2\text{O}_4 \cdot 2\text{H}_2\text{O} = 1$ ; Режим электролиза:  $i_K = 4 \text{ A}/\text{дм}^2$ ,  $I = 1 \text{ A}$ ,  $\tau = 0,5 \text{ час}$ .

pH электролита	Выход по току Mn, %	Количество шлама, г	Примечание
7	92,3	0,543	Без добавки щавелевой кислоты
7	93,0	0,390	S добавкой $\text{H}_2\text{C}_2\text{O}_4$ во всех случаях
6	92,0	0,195	осаждаются качественные марганцевые гальванопокрытия
5	90,0	0,184	
4	88,0	0,031	
3	86,2	нет	

жении  $\text{pH}=3$ . До достижения такой кислотности успевают нарастить желаемую толщину покрытия, детали извлекаются из ванны, после чего pH доводится до первоначальной величины. Результаты проверки влияния щавелевой кислоты в условиях, приближенных к нестационарному электролизу, приведены в табл. 2.

Таблица 2

Показатели работы ванны марганцевания в условиях нестационарного электролиза

Состав электролита (г/л):  $\text{Mn} = 30$ ,  $(\text{NH}_4)_2\text{SO}_4 = 150$ ,  $(\text{NH}_4)_2\text{SeO}_4 = 0,33$ ,  $\text{H}_2\text{C}_2\text{O}_4 \cdot 2\text{H}_2\text{O} = 1$ ;

Режим электролиза:  $i_K = 4 \text{ A}/\text{дм}^2$ ,  $I = 1 \text{ A}$ ,  $\tau = 0,5 \text{ час}$ .

pH начальн.	конечн.	Выход по току Mn, %	Анодный шлам	
			есть	нет
6,8	6,8	92,3		
6,8	2,7	92,3		
7,0	3,1	90,0	"	"
"	"	88,0	"	"
"	"	86,0	"	"



Исходя из проведенных исследований, можно заключить, что введение в электролит марганцевания щавелевой кислоты не влияет на характер полученных осадков и на выход по току марганца, предотвращая образование и накопление в электролизере анодного шлама и других продуктов реакции, которые представлены, в основном, углекислым газом, выделяющимся из электролита.

Установлено, что расход щавелевой кислоты не превышает 0,3 г на 1 А·ч/л. Оптимальными условиями электролиза являются: pH — 3, добавка щавелевой кислоты в количестве 1 г/л, плотность тока 4 А/дм<sup>2</sup>. Выход по току марганца при этом стабильно устанавливается на уровне 85%.

Грузинский политехнический  
институт им. В. И. Ленина

Поступило 15.02.1984

6. აგლაძე, ი. შავოშვილი, ი. გვალია, მ. სადუნიშვილი

მანგანეზიანი განვითარების არობას

რეზიუმე

განხილულია მეტანმეთას დანამატის გავლენა მომანგანულების პროცესზე. დადგენილია, რომ მეტანმეთას დანამატი არ იწვევს მანგანულის კათოდური დენიოზ გამოსავლის მნიშვნელოვან შემცირებას და არასტაციონალური ელექტროლიზის პირობებში წლობრივი მნიშვნელოვან ანოდურ შლამის წარმოქმნის. დაზუსტებულია მეტანმეთას ხარჯი ელექტრობის რაოდენობის მიმართ. შესწავლილია pH-ისა და დენის სიმკვრივის გაელენ კათოდურ დენიოზ გამსავალზე.

R. I. AGLADZE, I. G. SHAVOSHVILI, I. G. GVALIA, O. S. SADUNISHVILI

## THE INFLUENCE OF OXALIC ACID ON THE PROCESS OF MANGANESATION

### Summary

The problem of oxalic acid influence on the process of manganesation is considered.

It was established, that oxalic acid doesn't affect the current efficiency of manganese and fully excludes the formation of anode slurry in the conditions of non-stationary electrolysis.

The expenditure of oxalic acid at electrolysis was established.

The influence of pH and current density on the current yield of manganese in the presence of oxalic acid was investigated.

### ЛІТЕРАТУРА — REFERENCES

- Чикашвили Д. С., Садунишвили О. С. и др. Тезисы докладов II респ. научно-техн. конф. «Совершенствование технологии производства марганцевых сплавов», Тбилиси, 1978.
- Гофман Н. Т., Садунишвили О. С., Гвалия И. Г. Тезисы докладов XXII респ. конф. преподавательского состава ГПИ им. В. И. Ленина и работников производства, Тбилиси, 1981.
- Курашвили М. И., Шавошвили И. Г. Сообщения АН ГССР, 1979, 95, № 1, с. 101—104.
- Курашвили М. И., Шавошвили И. Г. Тезисы докладов II Республ. конф. по коррозии и антикоррозионной защите металлов, Днепропетровск, 1981, с. 101.



УДК 543.544.45.547.262.4.261

М. Б. ЧХАИДЗЕ, З. Н. МОРЧИЛАДЗЕ, М. С. ДОЛИДЗЕ

## СИНТЕЗ И АНАЛИЗ НЕКОТОРЫХ ГАЛОИДОПРОИЗВОДНЫХ МЕТАНА, МЕЧЕННЫХ СТАБИЛЬНЫМ ИЗОТОПОМ УГЛЕРОД-13

За последние годы сильно расширилась область применения соединений, обогащенных теми или иными стабильными изотопами. Одни из них имеют важное значение прикладного характера в различных отраслях народного хозяйства, другие перспективны для ядерной физики и современной науки. Галоидопроизводные метана, меченные изотопом углерод-13, привлекли внимание в связи с изучением возможностей разделения изотопов углерода в поле лазерного излучения. С этой точки зрения разработка методов синтеза и анализа галоидопроизводных метана, меченого изотопом углерод-13, представляется актуальной.

Целью настоящей работы является разработка технологии синтеза четыреххлористого углерода и дифтордихлорметана, меченых изотопом углерод-13 с учетом тех ограничений, которые накладываются на производство меченых соединений из-за высокой стоимости исходных обогащенных продуктов и особых требований по чистоте в связи с их специальным назначением.

Известны различные способы синтеза четыреххлористого углерода как естественного состава, так и меченого изотопом углерод-13 [1]. Из существующих методов нами выбран путь термического хлорирования метана, меченого изотопом углерод-13. Схема установки приведена на рис. 1.

Для целенаправленного получения  $^{13}\text{CCl}_4$  особое значение приобретает выбор оптимальных соотношений  $^{13}\text{CH}_4 : \text{Cl}_2$ , скорости подачи метана, меченого изотопом углерод-13. Результаты изучения влияния температуры на выход целевого продукта приведены в табл. 1.

Таблица 1  
Влияние температуры на выход целевого продукта

Температура, °C	Выход $^{13}\text{CCl}_4$ , % по $\text{CH}_4$
200	50
250	55
300	70
400	80
420	взрыв

Из данных таблицы 1 видно, что реакция между метаном и хлором с 50%-ным выходом протекает уже при  $200^\circ$ , однако максимальный выход четыреххлористого углерода наблюдается в пределах  $400^\circ$ . Повышение температуры выше  $400^\circ$  приводило к взрыву.

Изучение влияния скорости подачи исходного обогащенного реагента показало, что в наших условиях для полного превращения метана, меченого изотопом углерод-13, оптимальным является ввод

CH<sub>4</sub> в реакционную зону со скоростью 3,7 мл/мин. Увеличение скорости подачи CH<sub>4</sub> приводит к повышению выходаmonoхлорида метана.

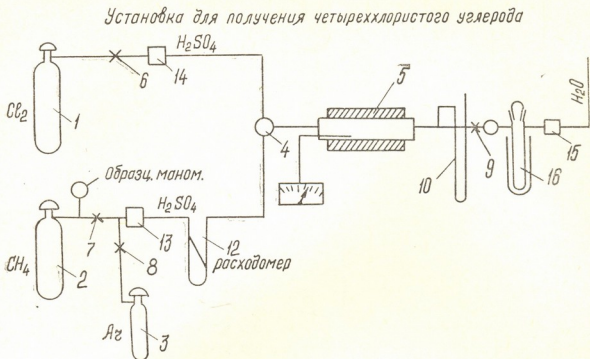


Рис. 1. Установка для получения четыреххлористого углерода: 1 — баллон с хлором, 2 — баллон с метаном, 3 — баллон с аргоном, 4 — смеситель, 5 — реактор, 6, 7, 8 — регулировочные вентили, 9 — кран, 10 — U-образный манометр, 11 — образцовый манометр, 12 — расходомер, 13, 14, 15 — склянки Тищенко, 16 —ловушка

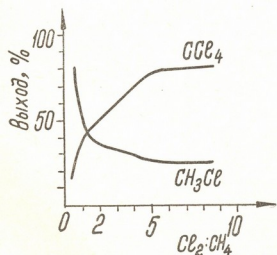
на. На основании полученных данных (температура реакции и скорость подачи <sup>13</sup>CH<sub>4</sub>) была проведена серия опытов по определению объемных соотношений CH<sub>4</sub>:Cl<sub>2</sub>, обеспечивающих наилучший выход четыреххлористого углерода. Данные приведены на рис. 2.

Как видно из рис. 2, оптимальным для данного процесса является соотношение CH<sub>4</sub>:Cl<sub>2</sub> = 1 : 5. Увеличение избыточного количества хлора сверх указанного соотношения не приводит к сколько-нибудь заметному эффекту. В остальных случаях наблюдалась продукты неполного хлорирования метана в различных соотношениях. Так, концентрация хлористого метила достигала максимального значения при десятикратном избыточном присутствии метана. Применение алюминиевых стружек в качестве катализатора не дало положительных результатов, поскольку уже при 300° в условиях пропускания

Рис. 2. Изучение влияния скорости подачи исходного обогащенного реагента

метана образовался карбид алюминия, снижающий выход целевого продукта.

Синтезированный таким образом четыреххлористый углерод, ме-



ченный изотопом углерод-13, был использован в качестве исходного сырья для получения дифтордихлорметана.

По имеющимся данным, синтез дифтордихлорметана естественного состава осуществлялся различными путями, имеющими в основном лишь промышленное значение [2—5].

Для синтеза меченого дифтордихлорметана нами была выбрана реакция между  $^{13}\text{CCl}_4$  и трехфтористой сурьмой в качестве фторирующего агента. Эксперименты показали, что указанная реакция протекает бурно при температуре 15—18° и остаточном давлении 50—200 мм рт. ст. С повышением температуры реакции резко увеличивается содержание трифторхлорметана. Исходя из этого, синтез  $\text{CCl}_2\text{F}_2$  проводили при атмосферном давлении и температуре 10—15°. В качестве катализатора использовали пятихлористую сурьму. Выделившийся газ был сконденсирован в ампулах, охлажденных до —100°. В этих условиях выход продукта достигал 75%.

При получении термическим хлорированием метана четыреххлористого углерода, меченого изотопом  $^{13}\text{C}$ , основной примесью является хлороформ, а при синтезе дифтордихлорметана, меченого изотопом углерод-13, основной примесью является трихлорфторметан.

Для хроматографического анализа четыреххлористого углерода и дифтордихлорметана нами были исследованы различные адсорбенты. Лучшие результаты получили при использовании адсорбента сферохром-1—16% трибутилfosфат.

Анализ проводили на хроматографе "Цвет", модель 4—67, с детектором по теплопроводности. Пробу в хроматограф запускали с помощью микроширица на 1 мкл.

Условия анализа четыреххлористого углерода с примесью хлороформа следующие: газ-носитель гелий, длина колонки 3 м, диаметр колонки 3 мм, температура колонки 80°, ток детектора 220 мА, скорость газа-носителя 40 мл/мин, скорость диаграммной ленты 180 см/час. Пик четыреххлористого углерода регистрировался через 4-5 мин, а пик хлороформа через 14-15 мин.

Анализ дифтордихлорметана на содержание основного вещества проводили на том же адсорбенте в следующем режиме: длина колонки 6 м, диаметр колонки 3 мм, температура колонки 40°, температура испарителя 110°, ток детектора 200 мА, скорость газа-носителя 20 мл/мин, скорость диаграммной ленты 180 см/час. Пробу в хроматограф запускали микроширицем. Пик дифтордихлорметана регистрировался через 2'45'', а пик трифторхлорметана через 11'45''—11'55''. Разделение четкое, соответствующие хроматограммы показаны на рис. 3.

Допустимое стандартное отклонение по основному компоненту 0,1%. Чувствительность прибора по каждому компоненту составляет 0,001%.

Научно-исследовательский  
институт стабильных изотопов  
г. Тбилиси

Поступило 03.06.1983

რეზიუმე

აღწერილია C—13 სტაბილური იზოტოპით ნიშანდებული გეთანის თერმული დაქლორების გზით ოთხქლორიანი ნახშირბადისა და ამგვარადევე ნიშანდებული ოთხქლორიან ნახშირბადსა და სამქლორიან დარიშხანას შორის რეაქციით დიფთორდიქლორმეთანის მიღების მეთოდები.

დადგენილია, რომ მოცემული პროცესისათვის თპტიმალურია თანაფარდობა  $^{13}\text{CH}_4 : \text{Cl} = 1 : 5$  ( $400^\circ$ , გეთანის სარეაქციო ზონაში მიწოდების სიჩქარე— $3,7$  მლ/წ.). ნაჩვენებია, რომ აღნიშნული რეაქცია,  $15—18^\circ$  და  $3, 7$  წ. ს. 50—200 მმ ნარჩენი წნევის დროს, მიმდინარეობს მძაფრად, ამიტომ დიფთორდიქლორმეთანის სინთეზი ტარდება ატმოსფერულ წნევასა და  $10—15^\circ$  ტემპერატურაზე. კატარიზატორად იყენებენ ხუთქლორიან სტიბიუმს.

შერჩეულია გაზურ-თხევადი ქრომატოგრაფიული მეთოდით ოთხქლორიან ნახშირბადში ძირითადი ნივთიერებისა და მინარევების განსაზღვრის შემდეგი თპტიმალური პირობები: სორბენტი-სფეროქრომ-1 — 16% ტრიბუთილფოსფატი; სვეტის სიგრძე — 3 მ, დიამეტრი — 3 მმ; ტემპერატურა სვეტისა —  $80^\circ$ ; ამაორთქლებლისა —  $140^\circ$ ; გაზ-გადმიტანის (He) სიჩქარე — 40 მლ/წ-ში; დეტექტორის (კატარომეტრის) დენი — 200 მა.

M. B. CHKHAIDZE, Z. N. MORTCHILADZE, M. S. DOLIDZE

### SYNTHESIS AND ANALYSIS OF SOME HALOGEN DERIVATIVE OF METHANE, LABELLED WITH STABLE ISOTOPE—CARBON-13.

#### Summary

The methods of receiving tetrachloromethane by thermal chlorization of methane, labelled with stable isotope—carbon-13 and difluorodichloromethane reaction between labelled tetrachloromethane and antimony were described. It was established, that the optimal ratio of  $^{13}\text{CH}_4 : \text{Cl}$  in the process is 1:5; the temperature of reaction- $400^\circ$ , the velocity of methane feeding of the reaction zone— $3,7$  ml/min.

Experimentally it was shown that the named reaction goes on rapidly at  $15—18^\circ$  and the residual pressure— $50—200$  mm of mer. column. Hence the synthesis of difluorodichloromethane was carried out at atmospheric pressure and the temperature— $10—15^\circ$ . Pentachlorinated antimonate was used as catalyst. The optimal conditions for the main product determination and the admixtures in tetrachloromethane were ascertained by gas-liquid chromatography method.

#### ლიტერატურა — REFERENCES

1. Мэррей А., Уильямс Д. Л. Синтезы органических соединений с изотопами углерода, М., ИЛ, ч. II, 1962, с. 298.
2. Гудмекий М. Химия органических соединений фтора, Госхимиздат. 1961, с. 295.
3. Органические реакции, ст. 2, ИЛ, 1950, с. 76.
4. Рапорт Ф. М., Ильинская А. А. Лабораторные методы получения чистых газов, Госхимиздат, 1963, с. 397.
5. Фтор и его производные. Под редакцией Дж. Саймонса, Издатнлит, т. 1, 1953. т. 2, 1956.



УДК 621.382.2 : 541.1

М. В. БАХТАДЗЕ, Т. А. ЛАПЕРАШВИЛИ

## ЭЛЕКТРОХИМИЧЕСКИЙ МЕТОД СОЗДАНИЯ ДИОДОВ ШОТТКИ НА ОСНОВЕ GaP

Диоды Шоттки, основой которых является выпрямляющий контакт металл-полупроводник [1], широко применяются в радиоэлектронике и используются для определения ряда параметров полупроводниковых кристаллов.

Контакт металл-полупроводник изготавливается либо вакуумным напылением металла на сколотую или травленую поверхность полупроводника, либо химическим или электрохимическим осаждением металла на травленую поверхность полупроводника.

В настоящем сообщении описана методика создания контакта металл-полупроводник электрохимическим осаждением различных металлов (In, Ga, Cu, Ni, Pt и Pd) на травленую поверхность фосфида галлия. Непосредственно перед началом осаждения металла производилась электролитическая очистка поверхности полупроводника.

В экспериментах использовались монокристаллы n—GaP, выращенные методом Чохральского, с ориентацией кристаллографической

Таблица 1

Электрохимическое осаждение металлов на GaP

Наименование металла	Химический состав электролита	Анод	Температура, °C	Кислотность, pH	Плотность тока	Плотность тока, mA/cm <sup>2</sup>	Время осаждения, мин.
Индий	InCl <sub>3</sub> 3,8 г/л	Платина	20—30	1,5—2	1 mA/cm <sup>2</sup>	0,1	15
						2—4	30
						4—8	30
Галлий	GaCl <sub>3</sub> 4 г/л	Платина	20—30	1,5—2	1 mA/cm <sup>2</sup>	0,1	15
						2—4	30
						4—8	30
Медь	150 г/л 13 г/л 40 г/л	Медь	20—30	1,5—2	5 mA/cm <sup>2</sup>	0,1	10
						1—5	20
						10	20
Никель	350—400 г/л	Никель	20—30	1,5—2	5 mA/cm <sup>2</sup>	1	10
						2	10
						10	15
Платина	4,5—5 г/л 40—45 г/л 220—240 г/л	Платина	20—30	1,5—2	10 mA/cm <sup>2</sup>	0,1	30
						1	25
						5	25
Палладий	32—35 г/л	Платина	20—30	8—9	1 mA/cm <sup>2</sup>	0,1	5
						1,0	10

плоскости (111) концентрацией электронов  $5,9 \cdot 10^{17}$ — $1,0 \cdot 10^{18}$  см $^{-3}$ . Вначале на одной стороне пластинки создавался омический контакт путем вплавления индия в атмосфере очищенного водорода при  $600^\circ$  в течение 5 минут. Эти контакты использовались для токоподвода к полупроводнику. Поверхность полупроводника с омическим контактом и проволока для подвода тока покрывались лаком ХСЛ, противоположная сторона полупроводника травилась в смеси  $HCl + HNO_3$  (3:1), в дистиллированной воде, и кристалл сразу погружался в электролит для осаждения металла. Как известно [2], после травления в царской водке и промывания в дистиллированной воде на поверхности остаются адсорбированные чужеродные атомы. Для их удаления непосредственно перед началом осаждения производилась электролитическая очистка поверхности полупроводника, для чего на полупроводник подавалось положительное напряжение, и через электролит пропускался ток порядка  $1 - 10$  мА/см $^2$  в течение 3—5 минут. Осаджение металла на поверхность полупроводника производилось при обратной полярности—полупроводник являлся катодом. Ток осаждения (несколько мА) предшествовал малый ток  $100 - 500$  мкА для предварительного создания на поверхности зародышей металла. Затем для ускорения процесса осаждения металла ток увеличивался до нескольких мА. Составы раствора и режимы осаждения различных металлов приведены в таблице 1.

После осаждения металла пластина промывалась в дистиллированной воде, просушивалась, лак снимался кипячением в ацетоне, и пластина раскалывалась на таблетки нужной формы и размеров.

Исследования фотоэлектрических свойств структур, полученных методами, изложенными в работе [3], показали, что вольтамперная и вольтемкостная характеристики хорошо описываются теорией Шоттки [1].

Институт кибернетики АН ГССР

Поступило 17.11.1983

მ. ბაქტაძე, თ. ლაპერაშვილი

გალიუზის ფოსფიდის ჰაზარა ზორგის დიოდების  
ელექტროდების გათოვი

რეზიუმე

შემუშავებულია გალიუზის ფოსფიდზე სხვადასხვა მეტალების —In, Ga, Cu, Ni, Pt და Pd-ის ელექტროდების შეთაღება. ნახევარებების ზედაპირის ზედაპირის ელექტროლიზური გასუფთავება უშუალოდ მეტალის დაფენის წინ და მეტალის დაფენა ჩამდენიმე ეტაპად საშუალებას იძლევა გალიუმის ფოსფოდის ზედაპირზე მივიღოთ მეტალის ხარისხიანი თხელი ფირები.

მიღებული სტრუქტურის ფოტოელექტრული თვისებები კარგად აღწერებიან შოტკის თეორიით.

M. V. BAKHTADZE, T. A. LAPERASHVILI

## THE ELECTROCHEMICAL METHOD OF SCHOTTKY DIOD CREATION ON THE BASE OF GaP

### Summary

The electrochemical method of Schottky diod creation on the base of GaP by electrochemical deposition of different metals (In, Ga, Cu, Ni, Pt, Pd) has been elaborated.



Preliminary electrolytic cleaning of GaP right before the process and deposition of the metal in a few stages have given the possibility of fabrication of good thin metal films at room temperature. Dependence of capacity and current on voltage of the obtained metal-semiconductor structure are in good agreement with Schottky theory.

ლიტერატურა — ЛИТЕРАТУРА — REFERENCES

1. Schottki W. Z. Phisika, 1939, 113, 367.
  2. Somogyi M., Farkas-Janke. Thin Solid Films, 1979, 60, 377.
  3. Бахадзе М. В., Лаперашвили Т. А., Сагиашвили И. Н. Труды ТГУ, 1983, 6, 76.
-



УДК 666.112

А. В. САРУХАНИШВИЛИ, И. А. КВЕЗЕРЕЛИ-КОПАДЗЕ

## ПРИМЕНЕНИЕ МЕТОДА ПЛАНИРОВАНИЯ ЭКСПЕРИМЕНТА ДЛЯ СИНТЕЗА ЭМАЛИ НА ОСНОВЕ ОТХОДОВ ГОРНОХИМИЧЕСКОГО ПРОИЗВОДСТВА

В настоящее время от 50 до 90 % природного сырья превращается в процессе его переработки в отходы, часто загрязняющие окружающую среду. В то же время, по своему химическому составу эти отходы представляют собой ценное сырье для производства различных неорганических материалов, в которых нуждается народное хозяйство. Так, использование отходов горнохимического производства позволяет создать качественно новые стекломатериалы. Однако обращение к таким отходам производства влечет за собой необходимость применения и качественно новых методов поиска закономерностей связи между свойствами стекла и его составом. Это должны быть не только расчетные методы, но и методы анализа обширной информации, связанные для стеклообразного состояния с возможностью широкого варьирования химического состава. Одним из таких методов является метод планирования эксперимента.

Аддитивный характер некоторых свойств позволил предложить представленные в [1] парциальные факторы для расчета свойств гомогенных стекол. Однако существующие методы расчета в случае многокомпонентных стекол проблематичны.

Отходы промышленности включают обычно 10—15 оксидов в сочетаниях, которые не всегда позволяют пользоваться парциальными факторами, предлагаемыми в [1]. Помимо этого, каждый вид промышленных отходов, как и исходные горные породы, характеризуется сформировавшейся структурой с установленными равновесиями и специфическими для конкретных отходов соединениями. Например, отходы производства мышьяковистого ангидрида, содержащие оксиды  $\text{SiO}_2$ ,  $\text{Al}_2\text{O}_3$ ,  $\text{Fe}_2\text{O}_3$ ,  $\text{As}_2\text{O}_3$ ,  $\text{Na}_2\text{O}$ ,  $\text{K}_2\text{O}$ ,  $\text{CaO}$ ,  $\text{MgO}$ , представлены в виде кварца, анальцима и кальцита; перлит, содержащий  $\text{SiO}_2$ ,  $\text{Al}_2\text{O}_3$ ,  $\text{CaO}$ ,  $\text{Fe}_2\text{O}_3$ ,  $\text{Na}_2\text{O}$ ,  $\text{K}_2\text{O}$ , представлен природным кислым вулканическим волосодержащим стеклом.

В этих случаях метод планирования эксперимента может дать новые парциальные факторы, которые позволят с большей точностью определить показатели свойств стекол.

Метод планирования эксперимента нами был применен для синтеза титановой покровной эмали на базе твердых отходов производства мышьяковистого ангидрида.

В условиях неполного знания механизма явлений, происходящих при синтезе покровных эмалей, задача оптимизации решается экспериментально-статистическим методом, для которого связь между входными и выходными параметрами описывается полиномом первой степени [2].

Изучаемая нами система представляет собой смесь 11 компонентов (оксидов). Факторами являются относительные содержания оксидов

каждого компонента  $X_i$  ( $i = 1, 2, \dots, 11$ ), которые удовлетворяют ус-

ловия  $\sum X_i = 1$  ( $X_i \geq 0$ )

$$1 \leq i \leq 11$$

Функциями отклика принятые физические величины определяемые, в основном, оксидным составом: коэффициент термического расширения (КТР), химическая стойкость, продолжительность варки, температура обжига.

Кроме перечисленных свойств, в качестве параметра оптимизации принята также термостойкость, на которую помимо состава влияют и другие факторы, в том числе напряжения, возникающие в эмалевом слое, нанесенном на металл [3].

Планирование эксперимента проводилось методом нахождения вершин многоугольника [2].

Метод заключался в том, что вначале по всем известным составам белых покровных титановых эмалей нами устанавливались допустимые пределы содержания в них каждого оксида. Далее проводилось варьирование содержания всех оксидов, причем для каждого задавались его минимальное, максимальное и среднее значения. Последний компонент находился по разности между ста и суммой всех остальных оксидов. Из множества составов были выбраны 20 — сумма всех оксидов в которых равнялась ста, и все компоненты по количественному содержанию попадали в ограниченные пределы. Отобранные составы являлись планом эксперимента, они были сварены и изучены. После подстановки результатов 20 серий опытов в полином, была составлена сложная матрица, которая на ЭВМ «Наир» решалась «методом наименьших квадратов».

$$X = \begin{array}{c|cccccc} & X_{01} & X_{11} & X_{21} & \dots & X_{11\ 1} \\ & X_{02} & X_{12} & X_{22} & \dots & X_{11\ 2} \\ & \vdots & \vdots & \vdots & \ddots & \vdots \\ & X_{0N} & X_{1N} & X_{2N} & \dots & X_{11N} \end{array}$$

В результате расчета получены парциальные факторы для всех вышеперечисленных свойств. Их значения приведены в таблице 1.

Таблица 1

Парциальные факторы оксидов

Компоненты	КТР 3 $\alpha \cdot 10^{-7}$ (20—400°)	Хим. стойкость, %	Температура обжига, °C	Термостойкость, °C	Продолжительность варки, час	Продолжительность обжига, мин	Пределы содержания компонентов, %
$SiO_2$	0,22	1,11	9,73	5,34	0,01	0,06	40—55
$Al_2O_3$	1,3	0,91	6,56	—4,27	0,004	0,02	5—20
$Fe_2O_3$	— 1,63	7,91	23,78	9,93	0,077	0,04	0,2—1
$As_2O_3$	10,51	3,75	65,16	18,96	0,116	0,35	0,1—0,5
$Na_2O$	1,7	—0,13	13,21	—0,65	0,05	0,11	9—11
$K_2O$	0,95	—0,11	—2,4	0,77	0,01	—0,02	1—4
$CaO$	1,72	2,47	5,17	1,33	—0,02	0,05	2—10
$MgO$	—17,1	—0,34	2,10	4,23	—0,02	0,03	0,2—1
$B_2O_3$	— 0,96	0,78	6,59	8,25	0,002	0,06	5—20
$TiO_2$	— 0,29	1,37	4,36	4,67	0,003	0,001	6—20
$F^-$	44,31	—0,1	0,03	—0,14	0,001	0,0003	0—4

Для контрольного состава № 21 были рассчитаны свойства по парциальным факторам и сравнены с экспериментом (таблицы 2 и 3). В качестве оптимального был принят состав № 19 из плана эксперимента. Дальнейшая доработка его велась в направлении уменьше-



ния содержания буры с целью удешевления состава и снижения сущест-  
вичности. В результате синтезированы составы № 19—1 и № 19—2, свойства которых рассчитывались по полученным парциальным фак-  
торам и были подтверждены экспериментом.

Таблица 2  
Составы контрольных эмалей

Компо- ненты	Содержание, масс. %		
	№ 21	№ 19—1	№ 19—2
SiO <sub>2</sub>	40	45	41
Al <sub>2</sub> O <sub>3</sub>	15	12	16
Fe <sub>2</sub> O <sub>3</sub>	1	5,76	0,8
As <sub>2</sub> O <sub>3</sub>	0,5	0,5	0,4
Na <sub>2</sub> O	10	11	13
K <sub>2</sub> O	1	0,5	0,6
CaO	2	2	3,07
BaO <sub>3</sub>	20	16,11	15
TiO <sub>2</sub>	6	5	6
F <sup>-</sup>	4	4	4
MgO	0,5	0,13	0,13

Таблица 3  
Свойства составов — рассчитанные и экспериментальные

Показатели	Свойства эмалей					
	№ 21		№ 19—1		№ 19—2	
	рассч.	эксп.	рассч.	эксп.	рассч.	эксп.
КТР $3 \cdot 10^{-7} K^{-1}$	201,1	205	207,32	202	219,5	218
Хим. стойкость в кипящей воде, %	98,4	99,8	96	99,8	95	99,7
Температура обжига, °C	851,4	850	843	840	845	840
Термостойкость, °C	359,7	360	400	400	338	350
Продолжительность варки, час	1,26	1,5	1,4	1,5	1,2	1,2
Продолжительность обжига, мин	5,12	5	4,7	5	5,2	5

Составы эмалей № 21, 19—1, 19—2 приведены в таблице 2, в свой-  
ства — в таблице 3.

Таким образом, применение метода планирования эксперимента  
позволило синтезировать титановую покровную эмаль с заданными  
свойствами.

Грузинский политехнический  
институт им. В. И. Ленина

Поступило 14.12.1983

А. САБУРЕВА БОЗОНОЛО, О. ЗЕЗЕЛИНДО-КРЫСАДО

ЗАКСЕРВЕДЕБОИ დაგევავის გათოდის გამოყენება სამო-

კიმიური წარმოების ნაწილები მინანის

სიცოცხლეებისათვის

რეზიუმე

შესწავლილია ექსპერიმენტის დაგეგმვის მეთოდის გამოყენება და ოპ-  
ტიმიზაციის ამოცანათა გადაწყვეტა მინის მასალების სინთეზის ღროს. ოპტი-



მიზანის პარამეტრულად აღებულია: სიმკვრივე, თ. გ. კ., ქიმიური მედევობა, თერმული მედევობა, ხარშვის ტემპერატურა, ხარშვის ხანგრძლივობა. გამოყენებულმა მეთოდმა წინასწარ გამიზნული თვისებების შემცირება დანართი დამფარავი მინანქრების სინთეზირების საშუალება მოგვცა.

A. V. SARUKHANISHVILI, I. A. KVEZERELI-KOPADZE

## THE USE OF EXPERIMENT PLANNING METHOD FOR THE SYNTHESIS OF ENAMEL ON THE BASE OF MINE PRODUCTION WASTE

### Summary

The possibility of the experiment planning method application for the determination of optimisation problems at glassmaterial synthesis was studied. Density, chemical resistance, thermal coefficient of expansion, thermoresistance, temperature of boiling, duration of boiling were taken as parameters of optimisation.

The applied method made it possible to synthesize a white cover titanium enamel with the qualities given in advance.

### ლიტერატურა — ЛИТЕРАТУРА — REFERENCES

1. Аппен А. А. Химия стекла, Л., изд. «Химия», 1974.
  2. Зедгенидзе И. Г. Планирование эксперимента для исследования многокомпонентных систем, М., изд. «Наука», 1976.
  3. Бальмаков М. Д. Физика и химия стекла, 1977, т. 3, № 3, стр. 34—36.
-

УДК 541.183 : 549.67

К. К. ХАЧАТУРЯН, Ш. Д. САБЕЛАШВИЛИ, М. С. МЕРАБИШВИЛИ

## ИССЛЕДОВАНИЕ СОРБЦИОННЫХ СВОЙСТВ КЛИНОПТИЛОЛИТОВ ЧУГУЕВСКОГО МЕСТОРОЖДЕНИЯ

Как известно, эффективное применение природных высококремнинистых цеолитов в качестве промышленных адсорбентов невозможно без достоверной оценки их адсорбционных свойств по отношению к различным типам адсорбатов и, в частности, относительно паров воды.

Объектом данного исследования являлись образцы клиноптилолитсодержащих туфов Чугуевского месторождения Приморского края: пробы 1 (КлЧг—1), пробы 8 (КлЧг—8) и пробы 9 (КлЧг—9). Для сравнения была выбрана клиноптилолитсодержащая порода месторождения Дзегви (участок Хекордзула ГССР, белая разновидность — КлХ—Б).

Так как наиболее перспективной областью применения клиноптилита является глубокая осушка газовых и жидкокомпонентных сред, то цель работы заключалась в изучении динамической активности природных и модифицированных форм отмеченных выше образцов по парам воды.

Исследуемые образцы отличаются друг от друга по химическому составу: КлЧг—1 относится к калий-кальциевой форме клиноптилолита, в то время как КлЧг—8 и КлЧг—9 — к калий-натриевой форме. Процентное содержание клиноптилолита в исследуемых цеолитах колеблется в пределах 55—80 %. Цеолиты Чугуевского месторождения, как и другие цеолиты, полиминеральны; основные сопутствующие им минералы представлены в основном  $\alpha$ -кристобалитом, монтмориллонитом, кварцем и полевым шпатом.

Динамика адсорбции паров воды изучалась на лабораторной установке. Условия проведения эксперимента описаны в работе [1].

Полученные данные (см. табл. 1) показывают, что наиболее высокую адсорбционную способность по воде из цеолитов Чугуевского месторождения в естественном виде проявляет пробы 9, которая характеризуется наиболее высоким по сравнению с другими образцами содержанием клиноптилолита (80 %). Динамическая активность образцов клиноптилолитов Чугуевского месторождения на 10—25 % меньше динамической активности КлХ—Б. Следует отметить, что для всех образцов получены довольно высокие значения (не ниже 80 %) степени использования равновесной активности слоя сорбента.

Кислотное модифицирование (1 н раствором HCl) исследуемых цеолитов (условия модифицирования описаны в работе [1]) не оказывает существенного влияния на их динамическую активность по парам воды, которая изменяется всего лишь на 3—4 %.

Большой интерес представляет изучение стабильности и способности клиноптилолитов к регенерации [2]. С целью исследования влияния количества циклов адсорбции-десорбции на динамическую активность клиноптилолита по парам воды нами было проведено 5 циклов адсорбции-десорбции на клиноптилолите Чугуевского месторождения (проба 9) при температуре адсорбции 25° и температуре десорбции 300°.

Как известно, регенерация клиноптиолита связана с незначительным снижением его адсорбционной способности в первых циклах с последующим сохранением постоянной адсорбционной способности в течение длительного времени. В наших опытах снижение динамической активности происходит после первого цикла работы; она падает на ~15%. С нарастанием числа циклов динамическая активность практически не изменяется.

Таблица 1

Динамические характеристики природных и модифицированных кислотой цеолитов по парам воды ( $C_0 = 15,1 \pm 0,2$  мг/л)

Наименование образцов	Динамическая активность, мг/см <sup>3</sup>	Степень использования равновесной активности слоя сорбента, %
КлЧг — 1	94,76	83,80
НКлЧг — 1	91,19	83,99
КлЧг — 8	104,90	92,53
НКлЧг — 8	108,00	88,50
КлЧг — 9	114,43	92,62
НКлЧг — 9	119,38	90,64
КлХ — Б	127,00	93,00

\* НКл, — модифицированный Iн раствором соляной кислоты

Таким образом, в результате проведенного нами исследования установлено, что природные клиноптиолиты содержащие породы Чугуевского месторождения проявляют высокую адсорбционную способность по парам воды, близкую к адсорбционной способности известного образца клиноптиолита месторождения Дзегви (уч. Хекордзула ГССР), и могут быть с успехом использованы для глубокой осушки газов.

Кавказский институт  
минерального сырья,  
г. Тбилиси

Поступило 16.02.1984

З. ხაჩათურიანი, მ. საგელავალიძე, ა. ვორაბიშვილი

სურავის საგადოს კლინოპტილოლიტის სორბიული თვისებების გამოკვლევა

რეზოუზე

დინამიკურ პირობებში შესწავლით წყლის ორთქლის აღსორბცია ჩუვევის საბადოს კლინოპტილოლიტშემცველი ტუფების ბუნებრივ და 1 ნ HCl-ით მოდიფიცირებულ ნიმუშებზე.

ჩატარებული გმოკვლევის საფუძველზე ნაჩვენებია, რომ ეს ნიმუშები ბუნებრივ ფორმაში წყლის ორთქლის მიმართ მაღალი აღსორბციის უნარს ამუღვენებენ, რაც წარმატებით შეიძლება გამოვიყენოთ გაზების ღრმა გაშრობისათვის. მევარი მოდიფიცირება არსებით გავლენას არ ახდენს მათ დინამიკურ აქტივობაზე.

INVESTIGATION OF SORBING PROPERTIES OF CLINOPTILOLITES  
FROM CHUGUEVO DEPOSIT

Summary

Dynamics of adsorption of water-vapours on the samples of clinoptilolite-containing tuffs from Chuguevo deposit of Primorye territory in the natural and modified form 1 N HCl is investigated.

On the basis of the carried out investigation is shown that the studied samples in the natural form show high adsorption ability on water vapours and can be successfully used for deep drainage of gases. Acid modification doesn't exert considerable influence on their dynamical activity.

ԸՆԹԱՆԱՑՄԱՆ — ЛИТЕРАТУРА — REFERENCES

1. Хачатуриан К. К., Сабелашвили Ш. Д., Мерабишвили М. С., Мдивнишвили О. М. Известия АН Арм. ССР, Науки о Земле, 1982, 35, 3, 59.
  2. Пигузова Л. И. Высококремнеземные цеолиты и их применение в нефтепереработке и нефтехимии, М., изд. «Химия», 1974.
-

## ХРОНИКА

24—25 октября 1985 года состоялась объединенная научная сессия Отделения химии и химической технологии АН ГССР, Института физической и органической химии им. П. Г. Меликишвили АН ГССР, Тбилисского государственного университета и Грузинского отделения ВХО им. Д. М. Менделеева, посвященная 70-летию со дня рождения Георгия Владимировича Цицишвили.

Член Президиума АН Грузинской ССР, академик-секретарь Отделения химии и химической технологии, директор Института физической и органической химии им. П. Г. Меликишвили, редактор журнала «Известия Академии наук Грузинской ССР, серия химическая», председатель Секции цеолитов Научного Совета АН СССР по адсорбции, член Национального комитета советских химиков, член Международной ассоциации по неолитам, действительный член АН Грузинской ССР, заслуженный деятель науки Грузинской ССР, доктор химических наук, профессор Г. В. Цицишвили является крупным ученым, внесшим существенный вклад в развитие таких важных областей физической химии, как строение вещества и сорбционные процессы.

В работе сессии участвовали гости: Герой Социалистического Труда академик М. М. Дубинин, академик Х. М. Миначев, академик АН Арм. ССР А. Б. Налбандян, член-корр. АН СССР В. Б. Казанский, Герой Социалистического Труда профессор К. М. Nikolaev, профессора О. Г. Ларионов, К. И. Сакодынский, Ю. И. Ермаков, Н. Т. Султанов, Г. В. Антошин, А. Ю. Цивадзе, доценты З. В. Грязнова, О. С. Банах, М. А. Асанова и др.

Пленарное заседание открыл и выступил с приветствием вице-президент АН ГССР акад. Г. Н. Джibladze. С докладом о научной, педагогической, научно-организационной и общественной деятельности юбиляра выступил член-корр. АН ГССР Т. Г. Андроникашвили.

С поздравлениями выступили и передали приветственные адреса представители научной общественности нашей страны, крупные ученые, ученики и студенты юбиляра.

На имя Г. В. Цицишвили, а также в адрес Отделения химии и химической технологии АН ГССР поступили поздравления и приветствия.

Юбиляра поздравили Первый секретарь ЦК КП Грузии тов. Д. И. Патишвили, заместитель председателя Совета Министров ГССР тов. О. Г. Вардзелашвили, Президент АН СССР академик А. П. Александров, вице-президенты АН СССР академики В. А. Котельников и В. А. Коптюг, Госкомитет по науке и технике СССР, Совет по координации научной деятельности академий наук союзных республик.

Академик А. В. Фокин от имени ученых Отделения общей и технической химии Академии наук СССР и от себя лично поздравил и отметил, что «возглавляемый Вами Институт является одним из инициаторов в стране по исследованию и применению в народном хозяйстве важного природного материала цеолита, как академик-секретарь Вы много внимания уделяете развитию химической науки, научно-технического прогресса республики».

Академик Н. М. Жаворонков: «...Вы внесли большой вклад в развитие отечественной науки. Мы глубоко ценим и любим Вас, замечательного человека, патриота, гражданина...».

Директор научно-исследовательского физико-химического института им. Л. Я. Карпова академик Я. М. Колотыркин отметил, что «...Ваша научная деятельность началась в нашем институте, надеемся, основы, заложенные Карповской школой, способствовали Вашему становлению как крупного ученого, мы высоко ценим Ваши замечательные работы...».



Академики Б. П. Никольский, В. В. Коршак, Н. С. Ениколопов, члены-корреспонденты АН СССР П. Г. Романков, Л. Н. Овчинников, В. Б. Александровский, Н. А. Платэ, А. Н. Тавхелидзе, академики-секретари химических отделений академий наук союзных республик, химические центры, союзные организации, видные ученые и общественные деятели прислали сердечные поздравления с наилучшими пожеланиями юбиляру.

Профессор Ричард Баррер — член Королевского общества Великобритании отмечает «...высокую ценность проделанного Цицишвили пути в науке и его успехи в области химии...».

Профессор Леонард Сенд из США подчеркивает, что «...вклад Цицишвили в изучение и применение клиноптиолита высоко оценивается Международным научным сообществом по цеолитам...».

Профессор Джордж Кери из США написал, что «...тридцать лет работает по цеолитам и тонко чувствует значимость работ и ценный вклад Цицишвили».

Сердечные поздравления и пожелания успехов выразили профессора Рикардо Серсале из Италии, Мицуе Коизуми из Японии, Ловит Риис из США, профессор Вальтер Майер прислал адрес, а профессор Эрик Сааре из Швеции — свои труды с дарственной надписью.

Академик Г. Пфайфер, профессор Лейпцигского университета написал, что «...Вами сделан существенный вклад в исследования сорбционных процессов, особенно при изучении цеолитов, которые получили высокое международное признание. Ваша большая творческая способность привела к созданию под Вашим руководством грузинской адсорбционной школы, широко известной за пределами Вашей страны...».

Профессора Х. Штах, К. Фидлер, Х. Тамм из Берлина отмечают, что «...международное признание получили Ваши пионерские работы по исследованию свойств и возможностей применения природных цеолитов... определили мировой уровень этой области науки...».

Профессор Пiotr Wильде (Польша): — «...Грузинская адсорбционная школа, которую основал Цицишвили, хорошо известна в нашей стране и ее результаты используются в нашем Институте...».

Академик А. Влчек из Чехословакии подчеркивает, что «...высоко ценят научные достижения Цицишвили и его усилия, направленные на дальнейшее углубление сотрудничества и расширения связей между учеными...».

Дружеские слова приветствия прислали профессора Э. Обрадович (Югославия), Дж. Ранто, П. Фейеш, И. Кирнич, Г. Шай, Д. Калло, Г. Байер (Венгрия), академик В. Ширмер, проф. М. Бюлов (ГДР) и др.

Институты системы Академии наук нашей республики, отраслевые научные организации, производственное объединение «Грузгорхимпром» и производство «Грузцеолит», Республикаансое научно-производственное объединение «Грузсельхозхимия», крупные ученые, общественные деятели прислали приветственные адреса и телеграммы.

Указом Президиума Верховного Совета СССР за заслуги в развитии химической науки, подготовке научных кадров и в связи с 70-летием со дня рождения академик АН ГССР Георгий Владимирович Цицишвили награжден орденом Дружбы Народов.



АВТОРСКИЙ УКАЗАТЕЛЬ  
ОДИННАДЦАТОГО ТОМА

А

Абашидзе М. М. № 1, 22  
Абашидзе С. Г. № 2, 127  
Абашидзе В. Н. № 3, 209  
Абхазава И. И. № 1, 78  
Агладзе Р. И. № 3, 220; № 4, 278; № 4, 299  
Андроникишвили Т. Г. № 1, 25, 69; № 2, 92; № 4, 267  
Астахов М. В. № 1, 51  
Аспанидзе Л. Г. № 4, 257

Б

Балахишивили Л. И. № 4, 262  
Бахтадзе М. В. № 4, 308  
Безарашвили Г. С. № 3, 191  
Белоглазов В. А. № 3, 180  
Бережиани М. Г. № 2, 142  
Беридзе Л. А. № 3, 180  
Бокштейн В. С. № 1, 51  
Бородина Г. В. № 4, 257  
Броучек Ф. И. № 1, 17; № 3, 227  
Булгаков В. Я. № 4, 294

В

Васин В. А. № 1, 39  
Винокур К. Д. № 3, 186  
Воинцев В. С. № 3, 180

Г

Гамисония М. К. № 4, 267  
Гаприндашвили В. Н. № 2, 132  
Гасвиани Н. А. № 4, 247  
Гвалия И. Г. № 4, 299  
Гвасалия Л. И. № 1, 66; № 4, 288  
Гегелашвили Э. С. № 2, 127  
Гелуташвили А. А. № 4, 294  
Гигаури Р. Д. № 1, 29; № 3, 215  
Гигаури Н. Ш. № 1, 29; № 3, 215  
Готиашвили Т. М. № 1, 29; № 3, 215  
Готичадзе Л. Д. № 2, 132  
Гогадзе М. А. № 3, 186  
Гогишвили Н. Ш. № 4, 278  
Гочелашивили З. А. № 4, 267  
Гоцоева М. В. № 1, 17  
Гудушаури Ц. М. № 1, 17

Д

Давиташвили Е. Г. № 4, 252  
Дарцимелия Л. В. № 2, 137

Деканозишвили Ц. А. № 1, 22  
Дзоценидзе З. Г. № 3, 191  
Джапаридзе К. Г. № 1, 61; № 3, 186  
Джапаридзе Л. Н. № 3, 231  
Джаниманов Т. В. № 2, 132  
Джварелия Н. А. № 4, 288  
Джибладзе Л. И. № 2, 120  
Джиджайшвили Ш. И. № 4, 257  
Долидзе А. В. № 2, 153  
Долидзе М. С. № 4, 304  
Дохтуришвили Н. С. № 1, 78

З

Заалишвили М. М. № 1, 46.  
Заркуа З. Л. № 1, 78  
Зурабашвили З. А. № 3, 167

И

Индзия М. А. № 1, 29  
Имнадзе Р. А. № 2, 155

К

Капанадзе М. Д. № 1, 17  
Кантор Е. А. № 2, 113  
Картвелишвили Т. М. № 1, 46  
Кахниашвили А. И. № 2, 120  
Кацарава Р. Д. № 1, 46  
Качибая Э. И. № 3, 231  
Квазерели—Копладзе И. А. № 4, 311  
Киладзе Т. К. № 1, 72; № 2, 113  
Кладиашвили Л. Д. № 1, 61  
Кобахидзе Е. И. № 2, 127  
Коданашвили М. В. № 2, 153  
Копылов В. М. № 1, 33  
Коромыслов П. С. № 3, 209  
Коган В. Е. № 3, 235  
Кузнецова Г. В. № 1, 33  
Куршашивили М. А. № 1, 66  
Кулумбагашвили В. А. № 2, 103  
Куридзе Л. В. № 2, 127  
Курдадзе Ш. М. № 4, 247  
Кутателадзе М. К. № 3, 180  
Кухарский Р. Н. № 3, 235

Л

Лагидзе Н. И. № 2, 155  
Лаперашвили Л. Я. № 1, 25

Лаперашвили Т. А. № 4, 308  
 Лордкипанидзе Д. Н. № 3, 191

### M

Маглаперидзе А. Н. № 1, 57  
 Майсурадзе Г. В. № 1, 51  
 Майсурадзе Н. А. № 1, 78  
 Махарадзе Л. В. № 3, 204; № 4, 284  
 Мдивнишвили О. М. № 3, 204; № 4, 284  
 Мерабишвили М. С. № 4, 315  
 Мзареулишвили Н. В. № 2, 155  
 Миронов И. В. № 2, 109  
 Мирианашвили М. В. № 3, 227  
 Минадзе И. И. № 3, 172  
 Миндин В. Ю. № 4, 271  
 Модебадзе М. Е. № 4, 252  
 Морчиладзе З. Н. № 4, 257, № 4, 304  
 Мумладзе Э. А. № 2, 109  
 Мусеридзе М. Д. № 3, 191

### N

Надарешвили Л. И. № 1, 61  
 Нариманидзе А. П. № 1, 22  
 Наскадашвили Ц. И. № 4, 262

### O

Овсянникова Н. Н. № 1, 39  
 Озиашвили Е. Д. № 1, 75  
 Окуджава Н. Г. № 1, 25  
 Остроумов Э. А. № 2, 103

### II

Папава Г. Ш. № 1, 78; № 3, 180  
 Петриашвили Л. Д. № 2, 149  
 Петряков П. М. № 2, 92  
 Пилиашвили Т. С. № 1, 61  
 Правдин В. Г. № 2, 92  
 Приходько П. Л. № 1, 33

### P

Размадзе М. Т. № 3, 238  
 Рамишвили Ц. М. № 2, 124  
 Рахманкулов Д. Л. № 2, 113  
 Русадзе А. В. № 4, 267

### C

Сабелашвили Ш. Д. № 4, 315  
 Сагинашвили М. Г. № 1, 72  
 Садунишвили О. С. № 4, 299  
 Самсония Ш. А. № 1, 39; № 2, 109  
 Самойлович А. Г. № 2, 137  
 Сапожников Ю. М. № 3, 167  
 Саруханишвили А. В. № 3, 238; № 4, 311  
 Сиракян Н. М. № 1, 75  
 Сираева И. Н. № 2, 113  
 Сояк Л. № 1, 69  
 Суворов Н. Н. № 1, 39; № 2, 109  
 Супаташвили Д. Г. № 4, 247

### T

Тавартиладзе Я. Н. № 2, 142  
 Топуридзе Н. С. № 1, 61  
 Трубников В. И. № 3, 167

### У

Уротадзе С. Л. № 2, 99

### Ф

Фиговский О. Л. № 2, 137

### X

Хананашвили Л. М. № 1, 33; № 4, 294  
 Харадзе Д. П. № 1, 46  
 Харашвили Р. Л. № 4, 247  
 Хахнелидзе В. В. № 4, 262  
 Хачатуриян К. К. № 4, 315  
 Хвтисиашвили З. И. № 1, 51  
 Хучуа Е. А. № 3, 204; № 4, 284

### Ц

Цагарешвили Д. Ш. № 3, 198  
 Цинцадзе Г. В. № 1, 22; № 2, 124  
 Цицишвили Г. В. № 1, 51; № 4, 267  
 Цикарадзе З. Н. № 3, 198  
 Цквитая В. А. № 4, 257  
 Цкитишвили М. Г. № 3, 172  
 Чхварадзе А. А. № 4, 257

### Ч

Чабакаури Б. М. № 3, 235  
 Чарквиани М. К. № 2, 124  
 Чегодаева О. Ф. № 2, 113  
 Челидзе Т. П. № 1, 22  
 Чивадзе В. Г. № 1, 17  
 Чиквайдзе И. Ш. № 2, 109  
 Чиракадзе Г. Г. № 1, 72; № 2, 113  
 Чилая Г. С. 3, 186  
 Чивадзе Г. О. № 4, 262  
 Чрелашвили М. В. № 3, 172  
 Чумбуридзе Т. А. № 1, 57; № 2, 146; № 3,  
 209  
 Чхандзе М. Б. № 4, 304  
 Чхендзе Л. З. № 4, 262

### Ш

Шавошвили И. Г. № 4, 299  
 Шалакина Н. В. № 3, 220  
 Шенгелия Дж. Г. № 3, 220  
 Шишинашвили М. Е. № 2, 127

### Э

Элашвили З. М. № 1, 61; № 3, 186  
 Экизашвили Г. Ш. № 2, 137  
 Эприкашвили Л. Г. № 2, 99  
 Эристави М. К. № 2, 142  
 Эсакия К. Е. № 1, 75

### Ю

Юдович В. Б. № 3, 167

### Я

Якобашвили Ц. И. № 1, 17

**ნედაქციის მისამართი:**

380060, თბილისი-60, კუტუზოვის ქ. 19, ოთახი 18  
ტელ. 37-86-78

**Адрес редакции:**

380060, Тбилиси-60, Кутузова, 19, комната 18  
тел. 37-86-78

Корректор К. Кантария

Сдано в набор 05.08.85; подписано к печати 11.12.1985; УЭ 08272; формат бумаги 70×108<sup>1/16</sup>; бумага № 1; высокая печать; усл. печ. л. 7,3; уч.-изд. л. 5,8; тираж 1100; заказ 2305; цена 90 коп.

---

გამომცემლობა „მეცნიერება“, თბილისი, 380060, კუტუზოვის ქ., 19  
Издательство «Мецниереба», Тбилиси, 380060, ул. Кутузова, 19

---

საქ. სსრ მეცნ. აკადემიის სტამბა, თბილისი, 380060, ავტუზოვის ქ., 19  
Типография АН Груз. ССР, Тбилиси, 380060, ул. Кутузова, 19

## К СВЕДЕНИЮ АВТОРОВ

1. В журнале «Известия АН Грузинской ССР, серия химическая» публикуются оригинальные статьи и краткие сообщения, содержащие результаты исследований теоретического и экспериментального характера по основным направлениям современной химии и технологии, а также обзорные статьи, написанные по заданию редакционной коллегии.

Периодически публикуется краткая хроника о конференциях, совещаниях, семинарах и других научно-организационных мероприятиях, проводимых в республике.

2. Объем статьи, включая таблицы, рисунки (3 рисунка приравниваются к одной странице), подписи к рисункам, список использованной литературы, резюме на грузинском и английском языках и реферат, не должен превышать 12 страниц машинописного текста, отпечатанного через два интервала. С левой стороны оставляются поля шириной 3—5 см.

3. Объем кратких сообщений не должен превышать 4 страницы машинописного текста (включая список использованной литературы и краткое резюме). Сообщения могут быть иллюстрированы 1—2 рисунками.

Резюме на английском и грузинском языках, список использованной литературы, таблицы и подписи к рисункам исполняются на отдельных листах.

Резюме и реферат не должны содержать без пояснения термины и формулы, смысл которых можно понять только из текста статьи.

4. Статьи (краткие сообщения) представляются в двух экземплярах с направлением учреждений, решением Ученого совета (кафедры, отдела, лаборатории) об их публикации, с заключением экспертной комиссии и авторскими справками.

В начале статьи (слева вверху) пишется индекс УДК, справа вверху указывается раздел журнала, в котором должна быть опубликована статья, затем следуют инициалы и фамилии авторов, заглавие и текст статьи. В конце текста с левой стороны указывается полное название учреждения, в котором выполнена работа. Статья должна быть подписана всеми авторами с указанием на отдельном листе их адресов и телефонов.

5. Изложение экспериментального материала должно предшествовать краткое введение, излагающее цель работы. Далее должно быть приведено описание и обсуждение полученных результатов и краткое заключение. Таблицы, приведенные в тексте статьи, следует озаглавливать.

6. Формулы и буквенные обозначения должны быть вписаны четко и аккуратно от руки чернилами или тушью. Особое внимание следует обратить на типографское изображение индексов и показателей степеней. Во избежание ошибок следует делать ясное различие между прописными и строчными буквами латинского алфавита: заглавные буквы подчеркнуть снизу двумя черточками, а строчные — сверху; греческие буквы обвести красным карандашом.

7. Рисунки должны быть исполнены на белой бумаге или на кальке тушью, с минимальным количеством обозначений. В тексте следует обязательно указать место для рисунков, вынося номер рисунка на поля. На обороте каждого рисунка карандашом должны быть написаны фамилии авторов, заглавие статьи, к которой относится рисунок. Рисунки и таблицы должны быть представлены в двух экземплярах (в паддингованном конверте).

8. Цитируемая литература приводится на отдельной странице в конце статьи. Все ссылки даются в оригинальной транскрипции. Иностранные фамилии в статье даются в транскрипции основного текста.

Цитируемая литература приводится в следующем порядке:

а) для **журнальных статей**: фамилии и инициалы всех авторов, название журнала, год, том, номер (серия), страница;

б) для **книг**: фамилии и инициалы авторов, точное название книги, место издания, издательство, год (подчеркнутый) и страница.

При ссылке на патентную литературу указываются фамилия автора, наименование охранных документов, его номер, название страны (в скобках), сведения об издании, в котором опубликован документ.

Ссылки на неопубликованные работы (кроме диссертаций) не допускаются.

Использованная литература должна быть расположена в порядке последовательности цитирования.

9. Обозначение и сокращение физических величин должны соответствовать Международной системе единиц «Си». Кроме них можно использовать лишь единицы, допускаемые к применению наравне с единицами Си.

10. К статье должен быть приложен реферат в двух экземплярах, составленный по форме ВИНТИ.

11. Рукописи, не отвечающие настоящим правилам, редакцией не принимаются.

12. В журнале статьи публикуются в порядке поступления в редакцию. В случае возвращения автору статьи для доработки текста датой представления считается день получения редакцией окончательного текста. В одном номере журнала может быть опубликовано лишь одна статья автора.

13. Редакция посыпает автору одну корректуру статьи. В авторской корректуре исправлению подлежат только ошибки типографии, никакие дополнения или изменения первоначального текста не допускаются.

Редакция бесплатно выдает авторам 12 отдельных оттисков статьи.

666/6



Цена 90 коп.

Индекс 76203